



Pêches et Océans
Canada

Fisheries and Oceans
Canada

Sciences des écosystèmes
et des océans

Ecosystems and
Oceans Science

Secrétariat canadien de consultation scientifique (SCCS)

Document de recherche 2019/037

Région du Québec

Résultats préliminaires du relevé multidisciplinaire de poissons de fond et de crevette d'août 2018 dans l'estuaire et le nord du golfe du Saint-Laurent

Hugo Bourdages, Claude Brassard, Mathieu Desgagnés, Peter Galbraith,
Johanne Gauthier, Claude Nozères, Pierre-Marc Scallon-Chouinard
et Caroline Senay

Pêches et Océans Canada
Institut Maurice-Lamontagne
850, route de la Mer
Mont-Joli (Québec) G5H 3Z4

Avant-propos

La présente série documente les fondements scientifiques des évaluations des ressources et des écosystèmes aquatiques du Canada. Elle traite des problèmes courants selon les échéanciers dictés. Les documents qu'elle contient ne doivent pas être considérés comme des énoncés définitifs sur les sujets traités, mais plutôt comme des rapports d'étape sur les études en cours.

Publié par :

Pêches et Océans Canada
Secrétariat canadien de consultation scientifique
200, rue Kent
Ottawa (Ontario) K1A 0E6

[http://www.dfo-mpo.gc.ca/csas-sccs/
csas-sccs@dfo-mpo.gc.ca](http://www.dfo-mpo.gc.ca/csas-sccs/csas-sccs@dfo-mpo.gc.ca)



© Sa Majesté la Reine du chef du Canada, 2019
ISSN 2292-4272

La présente publication doit être citée comme suit :

Bourdages, H., Brassard, C., Desgagnés, M., Galbraith, P., Gauthier, J., Nozères, C., Scallon-Chouinard, P.-M. et Senay, C. 2019. Résultats préliminaires du relevé multidisciplinaire de poissons de fond et de crevette d'août 2018 dans l'estuaire et le nord du golfe du Saint-Laurent. Secr. can. de consult. sci. du MPO, Doc. de rech. 2019/037. iv + 87 p.

Also available in English :

Bourdages, H., Brassard, C., Desgagnés, M., Galbraith, P., Gauthier, J., Nozères, C., Scallon-Chouinard, P.-M. and Senay, C. 2019. Preliminary results from the groundfish and shrimp multidisciplinary survey in August 2018 in the Estuary and northern Gulf of St. Lawrence. DFO Can. Sci. Advis. Sec. Res. Doc. 2019/037. iv + 87 p.

TABLE DES MATIÈRES

RÉSUMÉ	IV
INTRODUCTION	1
DESCRIPTION DU RELEVÉ	1
ANALYSE DES DONNÉES.....	3
RÉSULTATS.....	5
BIODIVERSITÉ.....	5
Poissons	5
Invertébrés	6
CONDITIONS OCÉANOGRAPHIQUES PHYSIQUES	6
REMERCIEMENTS	7
RÉFÉRENCES CITÉES.....	7
FIGURES.....	8
ANNEXES.....	74

RÉSUMÉ

Le ministère des Pêches et Océans Canada réalise annuellement un relevé multidisciplinaire dans l'estuaire et le nord du golfe du Saint-Laurent. Les objectifs de ce relevé sont multiples : évaluer la biodiversité des espèces présentes près du fond; estimer l'abondance des poissons de fond et des invertébrés; évaluer les conditions océanographiques physiques et biologiques (phytoplancton et zooplancton); monitorer l'écosystème pélagique; inventorier les mammifères et les oiseaux marins; et récolter des échantillons pour divers projets de recherche. En 2018, le relevé s'est déroulé du 2 août au 2 septembre, à bord du *NGCC Teleost*. Lors de cette mission, 168 traits de chalut ont été réussis, 109 profils verticaux de la colonne d'eau ont été effectués afin de caractériser les conditions océanographiques et 73 échantillons de zooplancton ont également été récoltés.

Ce rapport présente les résultats des captures des 168 traits de chalut. Au total, 93 taxons de poissons et 230 taxons d'invertébrés ont été identifiés lors de cette mission. Les perspectives historiques (taux de capture, répartition spatiale, fréquence de longueur) sont présentées pour 23 taxons. Ces données indépendantes de la pêche commerciale serviront à plusieurs évaluations de stocks, dont la morue (*Gadus morhua*), les sébastes (*Sebastes* spp.), le flétan du Groenland (*Reinhardtius hippoglossoides*), le flétan atlantique (*Hippoglossus hippoglossus*) et la crevette nordique (*Pandalus borealis*).

L'augmentation de la biomasse de sébaste acadien (*Sebastes fasciatus*) et atlantique (*Sebastes mentella*) est significative, à eux seuls, ils constituaient plus de 80 % des captures. Les biomasses de plusieurs autres espèces de poissons de fond sont en augmentation ou supérieures à leur moyenne historique dans le nord du golfe comme par exemple l'aiguillat noir (*Centroscyllium fabricii*), le flétan atlantique, le merlu argenté (*Merluccius bilinearis*), la merluche à longues nageoires (*Phycis chesteri*) et la plie grise (*Glyptocephalus cynoglossus*), alors que les biomasses de la crevette nordique et du flétan du Groenland sont en diminution.

L'analyse préliminaire des données de température de l'eau, mesurée en 2018, montre des températures légèrement au-dessus de la normale à 150 m et à 200 m de profondeur, alors que la température a encore augmenté à 300 m de profondeur. La température de l'eau de surface en août et de la couche intermédiaire froide étaient près des normales.

INTRODUCTION

Le ministère des Pêches et Océans Canada (MPO) réalise annuellement un relevé au chalut de fond dans l'estuaire et le nord du golfe du Saint-Laurent. Ce relevé est multi-espèces et indépendant de la pêche commerciale. Il sert au suivi de l'état de l'écosystème et il est réalisé selon des protocoles constants et standardisés. Ce relevé permet d'examiner, entre autres, les changements spatiaux et temporels de la distribution et de l'abondance relative des poissons ainsi que leurs assemblages. Il vise également à récolter des informations sur les paramètres biologiques des espèces commerciales.

Les principaux objectifs sont :

1. Évaluer l'abondance et la condition des populations de poissons de fond et de la crevette nordique;
2. Évaluer les conditions environnementales;
3. Inventorier la biodiversité;
4. Évaluer l'abondance du phytoplancton et du mésozooplancton;
5. Monitorer l'écosystème pélagique;
6. Inventorier les mammifères marins;
7. Inventorier les oiseaux marins;
8. Récolter des échantillons pour divers projets de recherche.

En 2018, le relevé s'est déroulé du 2 août au 2 septembre à bord du *NGCC Teleost* (mission IML-2018-041).

DESCRIPTION DU RELEVÉ

Le relevé couvre les eaux du chenal Laurentien et au nord de celui-ci, de l'estuaire maritime à l'ouest jusqu'aux détroits de Belle-Isle et de Cabot à l'est de la zone, soit les divisions 4R, 4S et la partie septentrionale de 4T de l'Organisation des Pêches de l'Atlantique Nord-Ouest (OPANO) (Figure 1). Depuis 2008, la couverture de la division 4T a été accrue dans la partie amont de l'estuaire maritime afin d'échantillonner les profondeurs comprises entre 37 et 183 m. La superficie de la zone d'étude est de 118 587 km².

Ce relevé suit un plan d'échantillonnage aléatoire stratifié. Cette technique consiste à subdiviser la zone d'étude en strates homogènes. La zone d'étude est divisée en 54 strates et le découpage de celles-ci a été fait en se basant sur la profondeur, les divisions de l'OPANO et le type de substrat (Figure 2). Pour ce relevé, une allocation initiale de 200 stations de chalutage est répartie proportionnellement à la surface des strates, avec un minimum de deux stations par strate. Les positions des traits sont déterminées aléatoirement à l'intérieur de chacune des strates. Depuis 2014, une nouvelle condition a été ajoutée au tirage aléatoire soit de respecter une distance minimale de 10 km entre les stations d'une même strate.

L'engin de pêche utilisé sur le *NGCC Teleost* est un chalut à crevettes (4 faces) *Campelen 1800* muni d'un faux-bourrelet (« bicycle ») de type *Rockhopper* (McCallum et Walsh 2002). La rallonge et le cul du chalut sont munis d'une doublure de nylon sans nœud dont l'ouverture de maille est de 12,7 mm. La durée de chalutage pour un trait standard de pêche est de 15 minutes, calculée à partir du contact du chalut avec le fond déterminé à l'aide du système hydroacoustique *Scanmar*TM. La vitesse de chalutage est fixée à 3 nœuds. Pour chacun des traits, les informations sur la géométrie du chalut en opération (ouvertures horizontales des portes et des ailes, ouverture verticale du chalut, profondeur) sont enregistrées à l'aide de sondes hydroacoustiques *Scanmar*TM fixées à l'engin de pêche.

En 2018, 168 stations de pêche ont été exécutées avec succès, soit 53 dans 4R, 75 dans 4S et 40 dans 4T (Annexe 1). La couverture de la zone d'étude a été très bonne, seulement trois strates n'ont pas été échantillonnées avec un minimum de deux stations (Figure 3, Annexe 1).

À chacun des traits de pêche, la capture a été triée et pesée par taxon et des données biologiques ont été récoltées sur un sous-échantillon. Pour les poissons, les crabes, les encornets et les plumes de mer, la taille et le poids sont colligés par individu. De plus, pour certaines espèces, le sexe, la maturité des gonades et les poids de certains organes (estomac, foie, gonades) sont aussi évalués. Les rayons mous de la nageoire anale sont dénombrés pour les sébastes afin de différencier les deux espèces présentes et des otolithes sont conservés pour la morue, le flétan atlantique et la plie grise afin de déterminer l'âge des poissons. Un échantillon d'environ 2 kg de crevettes est trié et pesé par espèce et par stade de maturité pour la crevette nordique. Les crevettes sont mesurées individuellement. Les autres invertébrés sont pesés et dénombrés par taxon (pas de mesure individuelle), puis photographiés. Les photographies sont archivées dans un photo-catalogue avec des mots-clés (identification taxonomique, métadonnées de la station, date, etc.).

Depuis 2001, les photographies numériques ont appuyé un effort accru pour l'identification des espèces. Ces efforts supplémentaires ciblent les poissons depuis 2004 (Dutil *et al.* 2009) et les invertébrés depuis 2005 (Nozères *et al.* 2014). Un guide d'identification des poissons marins de l'estuaire et du nord du golfe du Saint-Laurent (Nozères *et al.* 2010), un atlas des crevettes (Savard et Nozères 2012) et un guide pour les invertébrés (Nozères et Archambault 2014) sont utilisés lors de la mission permettant une identification de la plupart des taxons. Les codes des taxons et leurs noms suivent la liste de Miller et Chabot (2014), avec des mises à jour annuelles selon le registre mondial des espèces marines ([WoRMS](#)).

Des échantillons additionnels ont été rapportés pour divers projets scientifiques tels que :

1. ADN environnementale (ADNe);
2. Échantillons de hareng et de capelan pour déterminer la maturité;
3. Estomacs de plusieurs espèces de poissons afin de décrire leur régime alimentaire;
4. Identification des stades de maturité de la grosse poule de mer et échantillonnage pour une étude génétique;
5. Capsules de raie pour les identifier à l'espèce et localiser les sites de pontes;
6. Embryons et juvéniles d'aiguillat noir et capsules de raies afin d'étudier leur morphologie évolutive ainsi que leur processus de chondrification et de minéralisation;
7. Raie tachetée pour identification de la population;
8. Stade de maturité des petits poissons démersaux;
9. Proies des mammifères marins (plusieurs espèces de poissons et crevette nordique) afin de suivre l'évolution des signatures isotopiques d'espèces clés de l'écosystème du Saint-Laurent;
10. Échantillons de sébaste et de flétan atlantique pour l'analyse génétique des populations de l'atlantique;
11. Suivi de la croissance des sébastes de la cohorte 2011;
12. Petits sébastes (< 11 cm) pour l'identification génétique de l'espèce (*S. fasciatus* ou *S. mentella*) et de la population des nouvelles cohortes observées dans le golfe;
13. Proies potentielles du sébaste afin de déterminer la signature de base (profil lipidique) et servir de points de référence comme marqueurs trophiques afin de déterminer à moyen-long terme la contribution de ces différentes proies au régime alimentaire;
14. Échantillonnage de sébaste dans le cadre d'un projet collaboratif du Retour des poissons de fond (Ressources Aquatiques Québec);
15. Otolithes de sébaste pour étudier la croissance en fonction de la variabilité spatiale dans l'alimentation;

-
16. Échantillons de gonade de sébaste pour déterminer le stade de maturité;
 17. Plusieurs espèces de poissons et d'invertébrés pour l'identification de ces espèces à partir d'analyses morphométriques et génétiques;
 18. Échantillons de calmar pour étudier son rôle trophique au sein de l'écosystème;
 19. Certaines espèces de crevette pour identification taxonomique;
 20. Échantillonnage de plumes de mer;
 21. Éponges pour identification génétique;
 22. Espèces envahissantes (tuniciers) afin de confirmer leur identification en génétique et en microscopie;
 23. Boîtes de crevettes et de capelans pour les demandes à des fins aquacoles pour la salle des bassins de l'IML.

Des données océanographiques, comme la température, la conductivité (salinité), la turbidité, l'oxygène dissous, la luminosité et la fluorescence ont été récoltées. Lors du relevé, 90 profils verticaux CTD de la colonne d'eau ont été faits à des stations de pêche. De plus, 19 profils additionnels ont été réalisés à des stations échantillonnées exclusivement pour le Programme de monitoring de la zone Atlantique ([PMZA](#)). Les différents appareils, CTD (*SeaBird 911Plus™*), sonde à oxygène dissous (*SBE 43*), photomètre (*Biospherical*) et fluorimètre (*Eco-FLNTU Wetlabs*) sont couplés à la rosette de bouteilles *Niskin*. Pour chacun des profils obtenus avec la rosette, des échantillons d'eau ont également été prélevés à différentes profondeurs pour en déterminer la salinité, le pH, la concentration en oxygène dissous (titration Winkler), la teneur en sels nutritifs (nitrite, nitrate, phosphate et silicate) et en chlorophylle. De plus, un appareil CTD *SBE 19Plus™* (données de température et salinité), couplé à une sonde à oxygène dissous (*SBE 63*), a également été installé sur le dos du chalut, permettant ainsi de recueillir des données océanographiques pour les 168 traits de chalut.

Dans le but d'étudier la répartition et la biomasse du zooplancton pour l'ensemble du territoire couvert par le relevé, un volet du programme d'échantillonnage a consisté à récolter à 73 stations des organismes à l'aide d'un filet à zooplancton (202 µm) tiré à la verticale, du fond vers la surface.

Tout au long de la mission, des données hydroacoustiques ont été enregistrées en continu pour toute la colonne d'eau à l'aide d'un échosondeur *SIMRAD™ EK60* monofaisceau à quatre fréquences à spectre étroit (38, 70, 120 et 200 kHz). Ces informations serviront à développer une base de données tridimensionnelle afin de cartographier l'écosystème pélagique.

Un inventaire des mammifères et des oiseaux marins dans la zone d'étude a été fait par deux observateurs postés à l'avant de la timonerie lorsque les conditions le permettaient.

ANALYSE DES DONNÉES

Les données d'abondance et de biomasse recueillies sur les espèces capturées en 2018 ont été intégrées à la série des relevés annuels estivaux initiée en 1990. Cette série fusionnée a été développée dans le cadre d'une étude comparative entre les deux tandems navire-engin (1990-2005 : *NGCC Alfred Needler* – chalut *URI 81/114'* ; 2004-2018 : *NGCC Teleost* – chalut *Campelen 1800*) afin d'en quantifier la différence de capturabilité et d'établir les facteurs de conversion pour une vingtaine d'espèces capturées (Bourdages *et al.* 2007). Cette étude a ainsi permis d'ajuster les captures du *Needler* en prises équivalentes du *Teleost*.

Étant donné qu'au cours des ans, certaines strates n'ont pas été échantillonnées avec un minimum de deux traits de pêche réussis (Annexe 1), les indices du taux de capture, en nombre et en poids, ont été estimés pour ces strates à l'aide d'un modèle multiplicatif. La valeur prédite par le modèle, pour les strates couvertes par moins de deux traits, est calculée à partir des

données de l'année en cours et des trois années précédentes. Ainsi, les indicateurs présentés pour la série sont représentatifs d'une superficie standard totale de 116 115 km², soit la somme de la superficie des strates échantillonnées depuis 1990. Les strates qui ont été ajoutées en 2008 ne sont pas intégrées aux indices. Des points de référence ont également été ajoutés aux graphiques des taux de capture. La ligne pleine correspond à la moyenne des taux de capture annuelle, calculée pour la période 1990-2017 (moyenne à long terme). Les deux lignes pointillées représentent la moyenne à long terme plus ou moins un demi écart-type, soit respectivement les limites de référence supérieure et inférieure.

La distinction des deux espèces de sébaste, *S. fasciatus* et *S. mentella*, est basée sur des analyses du décompte des rayons mous de la nageoire anale et, si nécessaire, sur la profondeur de capture des individus (H. Bourdages, MPO, Mont-Joli, comm. pers.).

Les distributions de fréquence de longueur sont présentées sous deux formats. Une première figure illustre les distributions pour les deux dernières années de la série ainsi que la distribution moyenne de la période 1990 à 2017 (distribution moyenne à long terme). Les valeurs de fréquence sont exprimées en nombre moyen d'individus capturés par trait de chalut par incrément d'un centimètre, sauf pour la crevette nordique (0,5 mm) et le flétan atlantique (3 cm). Une deuxième figure représente les distributions des fréquences de longueur en nombre moyen par trait de chacune des années de la série de 1990 à 2018.

La répartition géographique des taux de captures (PUE), présentée en poids par trait de 15 minutes pour toutes les espèces (sauf pour les plumes de mer : nb/trait de 15 minutes), a été colligée pour des périodes de quatre ou cinq ans. L'interpolation des PUE a été réalisée sur une grille couvrant la zone d'étude en utilisant une pondération inversement proportionnelle à la distance (R version 2.13.0, librairie Rgeos ; R Development Core Team 2011). Les isolignes ont ensuite été tracées pour quatre niveaux de taux de capture qui correspondent approximativement aux 20e, 40e, 60e et 80e percentiles des valeurs non-nulles. La distribution des taux de capture pour le relevé de 2018 est également présentée dans une carte de type « bulle ».

Les résultats sommaires des indices d'abondance et de biomasse, des fréquences de taille et des cartes de distribution des taux de capture pour une vingtaine de taxons sont présentés aux figures 4 à 56. Ces résultats sont préliminaires et pourraient varier sensiblement suite à des activités complémentaires de validation et d'analyses en laboratoire.

Le poids moyen par trait pour 57 taxons de poissons et 99 taxons d'invertébrés sont présentés aux figures 57 et 58. Sur ces figures, un code de couleurs est utilisé pour représenter la valeur de l'anomalie, qui correspond à la différence entre la PUE d'une année donnée et la moyenne de la PUE de la série chronologique pour chaque taxon divisée par l'écart-type de cette moyenne.

Les captures par trait pour les taxons de poissons des années précédentes sont disponibles sur l'Observatoire global du Saint-Laurent ([OGSL](#)).

Finalement, l'Annexe 2 présente la liste de tous les taxons, vertébrés et invertébrés, capturés dans les 168 traits de chalut réussis lors du relevé de 2018. Parmi les informations présentées, il y a : 1) l'occurrence, soit le nombre de traits où le taxon a été répertorié, et 2) la prise totale, en poids et en nombre, pour l'ensemble du relevé. Le nombre de spécimens mesurés par taxon, de même que certaines statistiques descriptives relatives à la longueur, sont également décrits à l'Annexe 3.

RÉSULTATS

Avertissement : Ce relevé utilisant un chalut du fond est conçu pour échantillonner les espèces benthiques et démersales. Cependant, les captures peuvent inclure des espèces pélagiques et des espèces associées à des habitats côtiers ou rocheux qui sont plus difficiles à chaluter. Ces taxons, bien que retrouvés dans les captures, présentent une faible capturabilité au chalut de fond. Les résultats pour ces taxons doivent donc être interprétés avec prudence.

BIODIVERSITÉ

Au total, 93 taxons de poissons et 230 taxons d'invertébrés ont été identifiés en 2018. Plus de 80 % des captures, en biomasse, étaient constituées de sébastes.

Poissons

L'abondance et la biomasse de l'**aiguillat noir** (*Centroscyllium fabricii*) sont supérieures à la moyenne depuis sept ans.

Le **capelan** (*Mallotus villosus*) était principalement distribué dans l'estuaire et le long de la Côte-Nord lors du relevé 2018.

Depuis cinq ans, l'abondance et la biomasse de **flétan atlantique** (*Hippoglossus hippoglossus*) demeurent à des niveaux parmi les plus élevés de la série.

En 2018, l'abondance et la biomasse de **flétan du Groenland** (*Reinhardtius hippoglossoides*) sont comparables à celles de 2017 et sont sous la moyenne de la série. Les distributions de fréquence de taille indiquent que l'abondance de la cohorte de 2017 (mode à 16 cm) est supérieure à la moyenne de la série alors que l'abondance des poissons de plus de 40 cm est inférieure à la moyenne de la série.

La **grosse poule de mer** (*Cyclopterus lumpus*) est une capture peu abondante mais régulière de ce relevé. L'abondance et la biomasse sont supérieures à la moyenne de la série depuis 5 ans.

Depuis 2007, le **merlu argenté** (*Merluccius bilinearis*) est plus fréquent dans le nord du golfe.

L'abondance et la biomasse de la **merluche à longues nageoires** (*Phycis chesteri*) sont en augmentation et se situent au-dessus de la moyenne en 2018. Cette augmentation est en partie attribuable à une abondance supérieure à la moyenne des individus ayant une taille modale de 25 cm.

L'abondance et la biomasse de la **merluche blanche** (*Urophycis tenuis*) ont diminué en 2018 et sont comparables à la moyenne historique.

Les indices d'abondance et de la biomasse de la **morue** (*Gadus morhua*) ont légèrement augmenté en 2018 et sont comparables à la moyenne historique. La morue est toujours bien présente dans 4S, le long de la Côte-Nord et autour de l'île Anticosti.

La **plie canadienne** (*Hippoglossoides platessoides*) est très fréquente dans les captures et son abondance est stable.

La **plie grise** (*Glyptocephalus cynoglossus*) est très fréquente dans les captures. Les fortes cohortes de 2007 et de 2009 contribuent à l'augmentation de la biomasse; ces poissons ont maintenant une taille supérieure à 30 cm.

La **raie épineuse** (*Amblyraja radiata*) et la **raie lisse** (*Malacoraja senta*) sont très fréquentes dans les captures. L'abondance de la raie épineuse est stable alors que celle de la raie lisse est en diminution.

L'abondance et la biomasse de **sébaste acadien** (*Sebastes fasciatus*) sont au-dessus de la moyenne historique.

Les trois fortes cohortes (2011, 2012 et 2013) de **sébaste atlantique** (*Sebastes mentella*) contribuent à l'augmentation de l'abondance et de la biomasse depuis 2013. La cohorte de 2011, soit celle qui est la plus abondante, a maintenant une taille modale de 22 cm. Ces jeunes sébastes sont répartis dans l'ensemble des chenaux du nord du golfe du Saint-Laurent.

Invertébrés

On observe une tendance à la diminution de la biomasse de la majorité des espèces de **crevettes** retrouvées dans le nord du golfe du Saint-Laurent.

L'abondance et la biomasse de la **crevette nordique** (*Pandalus borealis*) sont en diminution depuis 2003 pour atteindre les valeurs les plus faibles de la série historique en 2018.

L'**encornet nordique** (*Illex illecebrosus*), une espèce pélagique saisonnière du sud, était présent dans plus 50 % des traits en 2017 et 2018. Cette forte présence d'encornet n'avait pas été observée depuis plusieurs années.

Quatre espèces de **plumes de mer**, un type de corail mou, sont présentes dans le nord du golfe du Saint-Laurent. Les grandes plumes de mer (*Anthoptilum grandiflorum*, *Halipteris finmarchica*, *Pennatula grandis*) sont distribuées dans les profondeurs du chenal Laurentien alors que la petite plume aiguë (*Pennatula aculeata*) est plus répandue.

CONDITIONS OCÉANOGRAPHIQUES PHYSIQUES

L'analyse préliminaire des données de température de l'eau, mesurée en 2018 (Figures 59 et 60), montre des températures légèrement au-dessus de la normale à 150 m et à 200 m de profondeur. La température des eaux a encore augmenté à 300 m de profondeur établissant un nouveau record pour cette série qui débute en 1915. En comparaison des conditions observées en août 2017, les eaux à 300 m se sont réchauffées d'environ 0,1 °C de l'estuaire jusqu'au centre du golfe. La couche intermédiaire froide était plus chaude en 2018 dans tout le golfe à l'exception de la zone de l'estuaire.

Les températures de l'air au-dessus du golfe étaient sous la normale d'avril à juin 2018, puis au-dessus de la normale en juillet et août, ce qui a donné lieu à des températures de surface de l'eau sous la normale pour la moyenne de mai-août (- 0,6 écart-type par rapport à la climatologie 1985-2010) et au-dessus de la normale pour juillet-août (+ 0,6 écart-type).

Suite à un hiver avec des températures de l'air en moyenne au-dessus de la normale à cause d'un mois de mars chaud, la température minimale de la couche intermédiaire froide (CIF) estivale estimée uniquement à partir des données du relevé du mois d'août était aussi au-dessus de la normale (de + 1,2 écart-type ; Figure 60). L'exception régionale est l'estuaire où la CIF était plus volumineuse (+ 0,7 écart-type) et son minimum de température plus froid (0,1 °C ; -0,4 écart-type) que la normale (Figure 59).

La circulation estuarienne qui transporte les eaux profondes, sous la couche intermédiaire froide, vers les têtes des chenaux a fait propager vers l'amont les eaux de plus en plus chaudes qui étaient présentes depuis plusieurs années dans le détroit de Cabot, centre du golfe et chenal Esquiman. Les températures des eaux profondes, en août, ont par conséquent augmenté depuis 2017 sous 250 m dans toutes les régions sauf dans le détroit de Cabot (Figure 59).

En considérant toutes les données prises à différents mois de l'année, les quatre régions qui recourent le chenal Laurentien, soit l'estuaire, le nord-ouest du golfe, le centre de golfe et le

détroit de Cabot, connaissent toutes un record de température à 300 m (5,63 °C; 6,0 °C; 6,5 °C; 6,8 °C). Moyennée sur l'ensemble du golfe, la température de l'eau à 300 m a atteint un nouveau record de 6,38 °C depuis 1915, soit 0,11 °C de plus qu'en 2017 (Figure 60).

REMERCIEMENTS

Nous remercions les deux équipages du *NGCC Teleost* et désirons souligner l'excellent travail réalisé par les membres de l'équipe scientifique qui, en 2018, était composée de Camille Aubé, Hugues Benoit, Denis Bernier, Hugo Bourdages, Claude Brassard, Rachel Brien-Lavergne, Sarah Brown-Vuillemin, Geneviève Côté, Nicolas Coulombe, Mathieu Desgagnés, Rémi Desmarais, Mylène Dufour, Jérôme Gagnon, Johanne Gauthier, Tanya Hansen, Laurie Isabel, Patrick Laniel, Camille Lavoie, Jean-François Lussier, Marie-Claude Marquis, Maria Angelica Martinez Silva, Claude Nozères, Anthony Ouellet, Jordan Ouellette-Plante, Éric Parent, Marie-Julie Roux, Pierre-Marc Scallon-Chouinard, Caroline Senay et Jean-Denis Thibeault.

Finalement, des remerciements sont aussi adressés à Denis Bernier et Hans-Frédéric Ellefsen pour la révision de ce document.

RÉFÉRENCES CITÉES

- Bourdages, H., Savard, L., Archambault, D. et Valois, S. 2007. Résultats des expériences de pêche comparative d'août 2004 et 2005 dans le nord du golfe du Saint-Laurent, entre le *NGCC Alfred Needler* et le *NGCC Teleost*. Rapp. tech. can. sci. halieut. aquat. 2750 : ix + 57 p.
- Dutil, J.-D., Nozères, C., Scallon-Chouinard, P.-M., Van Guelpen, L., Bernier, D., Proulx, S., Miller, R. et Savenkoff, C. 2009. Poissons connus et méconnus des fonds marins du Saint-Laurent. *Le naturaliste canadien* 133: 70-82.
- McCallum, B. et Walsh, S.J. 2002. An update on the performance of the Campelen 1800 during bottom trawl surveys in NAFO subareas 2 and 3 in 2001. NAFO SCR Doc. 02/36. 16 p.
- Miller, R. et Chabot, D. 2014. Liste des codes des plantes, invertébrés et vertébrés marins utilisés par la Région du Québec du MPO. Rapp. stat. can. sci. halieut. aquat. 1254 : iv + 115 p.
- Nozères, C., Archambault, D., Chouinard, P.-M., Gauthier, J., Miller, R., Parent, E., Schwab, P., Savard, L. et Dutil, J.-D. 2010. Guide d'identification des poissons marins et protocoles d'échantillonnage utilisés lors des relevés annuels de l'abondance du poisson de fond dans l'estuaire et le nord du golfe Saint-Laurent (2004-2009). Rapp. tech. can. sci. hal. aquat. 2866 : xi + 243 p.
- Nozères, C. et Archambault, D. 2014. Portfolio pour l'identification rapide d'invertébrés capturés au chalut dans l'estuaire et le nord du golfe du Saint-Laurent. Rapp. manus. can. sci. halieut. aquat. 3033 : iv + 30 p.
- Nozères C., Archambault, D. et Miller, R. 2014. Photo-catalogue d'invertébrés de l'estuaire et du nord du golfe du Saint-Laurent des relevés au chalut (2005-2013). Rapp. manus. can. sci. halieut. aquat. 3035 : iv + 222 p.
- R Development Core Team. 2011. [R: A language and environment for statistical computing](#). R Foundation for Statistical Computing. Vienna, Austria. (Accédé le 30 novembre 2017).
- Savard, L. et Nozères, C. 2012. Atlas des espèces de crevettes de l'estuaire et du nord du golfe du Saint-Laurent. Rapp. tech. can. sci. halieut. aquat. 3007: vi + 67 p.

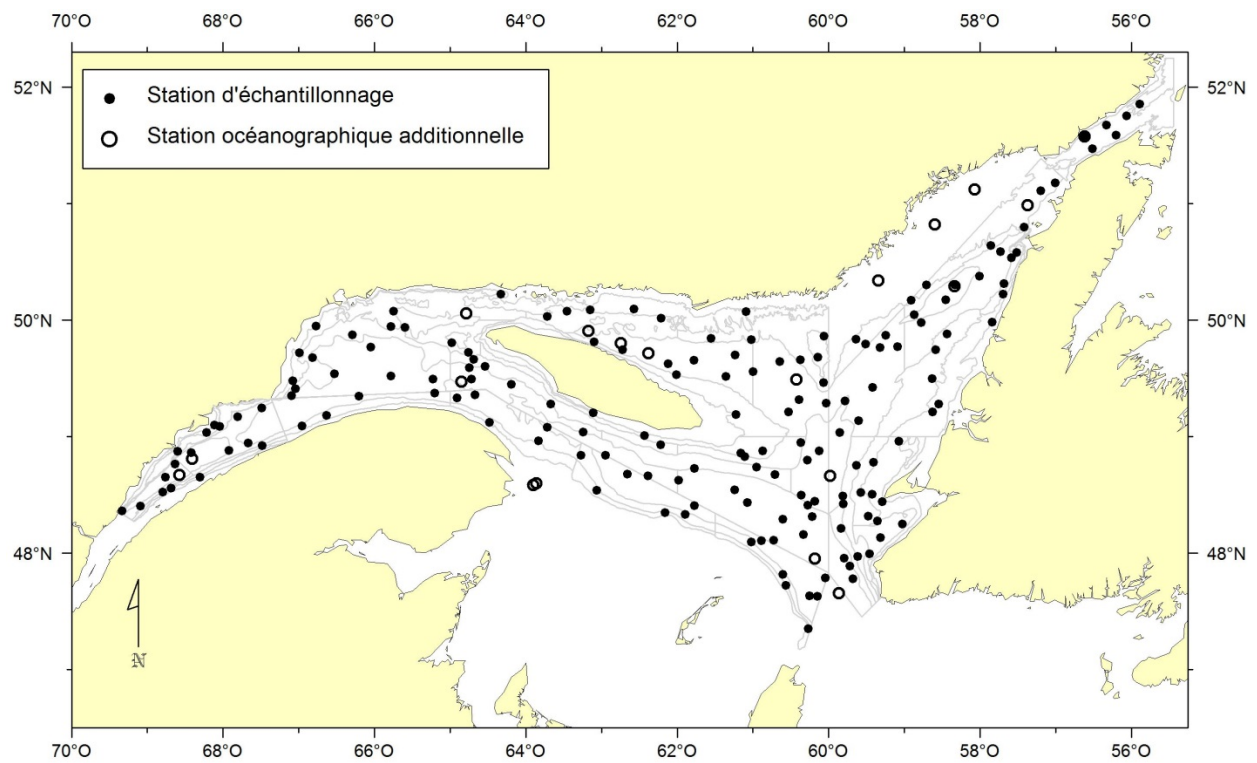


Figure 3. Positions des stations d'échantillonnage réussies (chalutage et océanographie) et des stations océanographiques additionnelles pour le relevé de 2018.

Aiguillat noir

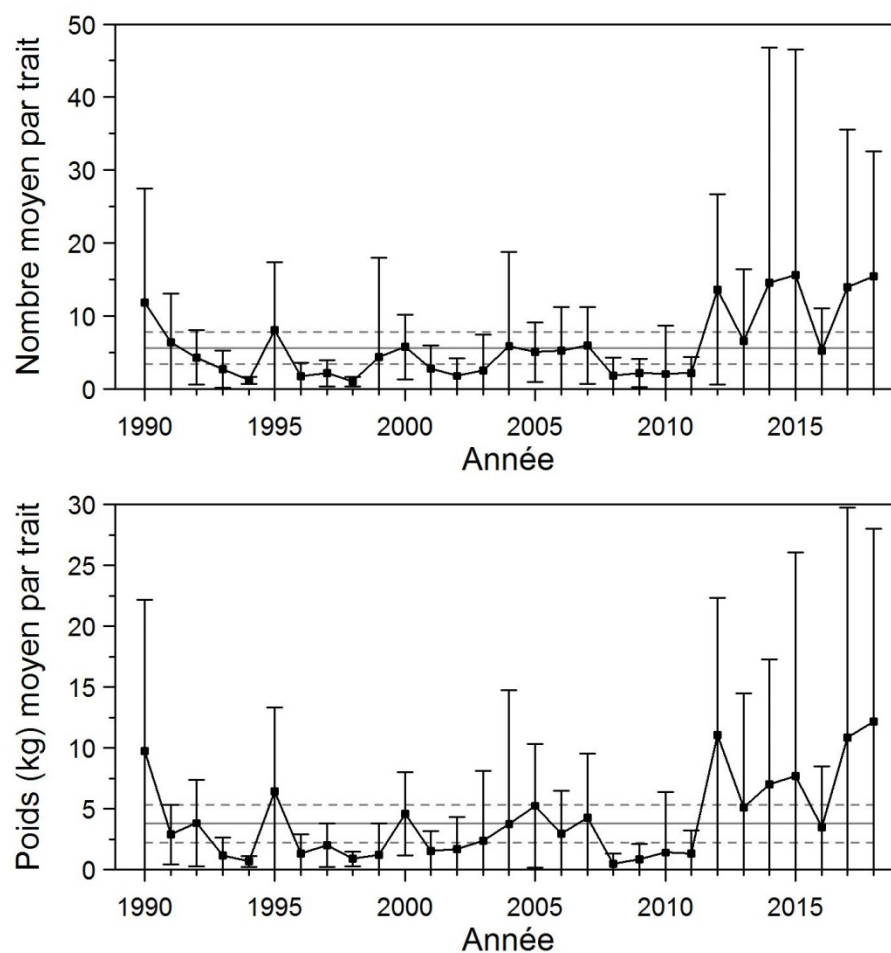


Figure 4. Nombres moyens et poids moyens par trait de 15 minutes observés lors du relevé pour l'aiguillat noir dans 4RST. Les barres d'erreur indiquent l'intervalle de confiance à 95 % et les lignes horizontales indiquent la moyenne de la période 1990-2017 (ligne pleine) et les limites de référence (voir texte) supérieure et inférieure (lignes pointillées).

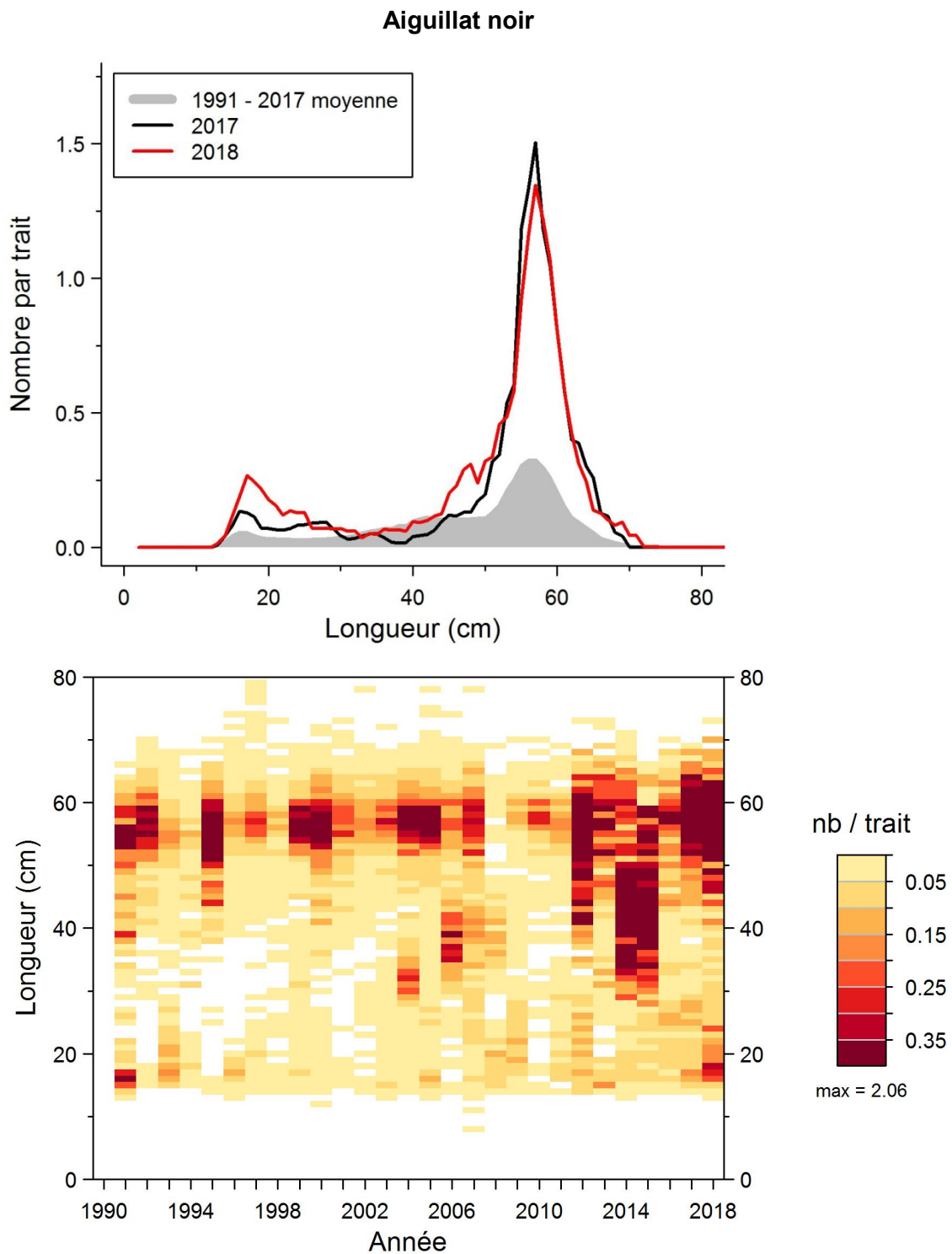


Figure 5. Distributions des fréquences de longueur (nombre moyen par trait de 15 minutes) observées lors du relevé pour l'aiguillat noir dans 4RST.

Aiguillat noir

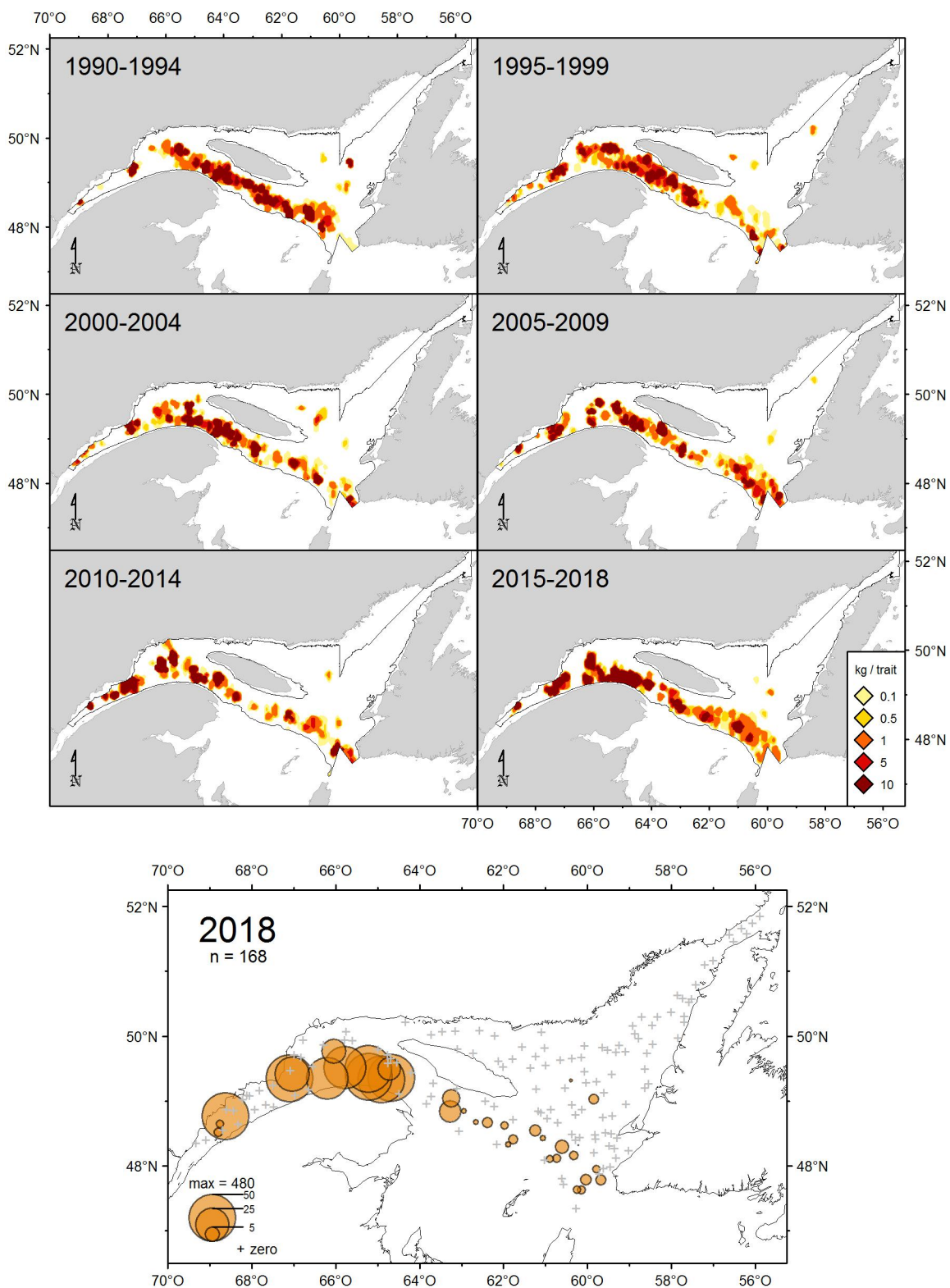


Figure 6. Distribution des taux de capture (kg/trait de 15 minutes) d'aiguillat noir.

Capelan

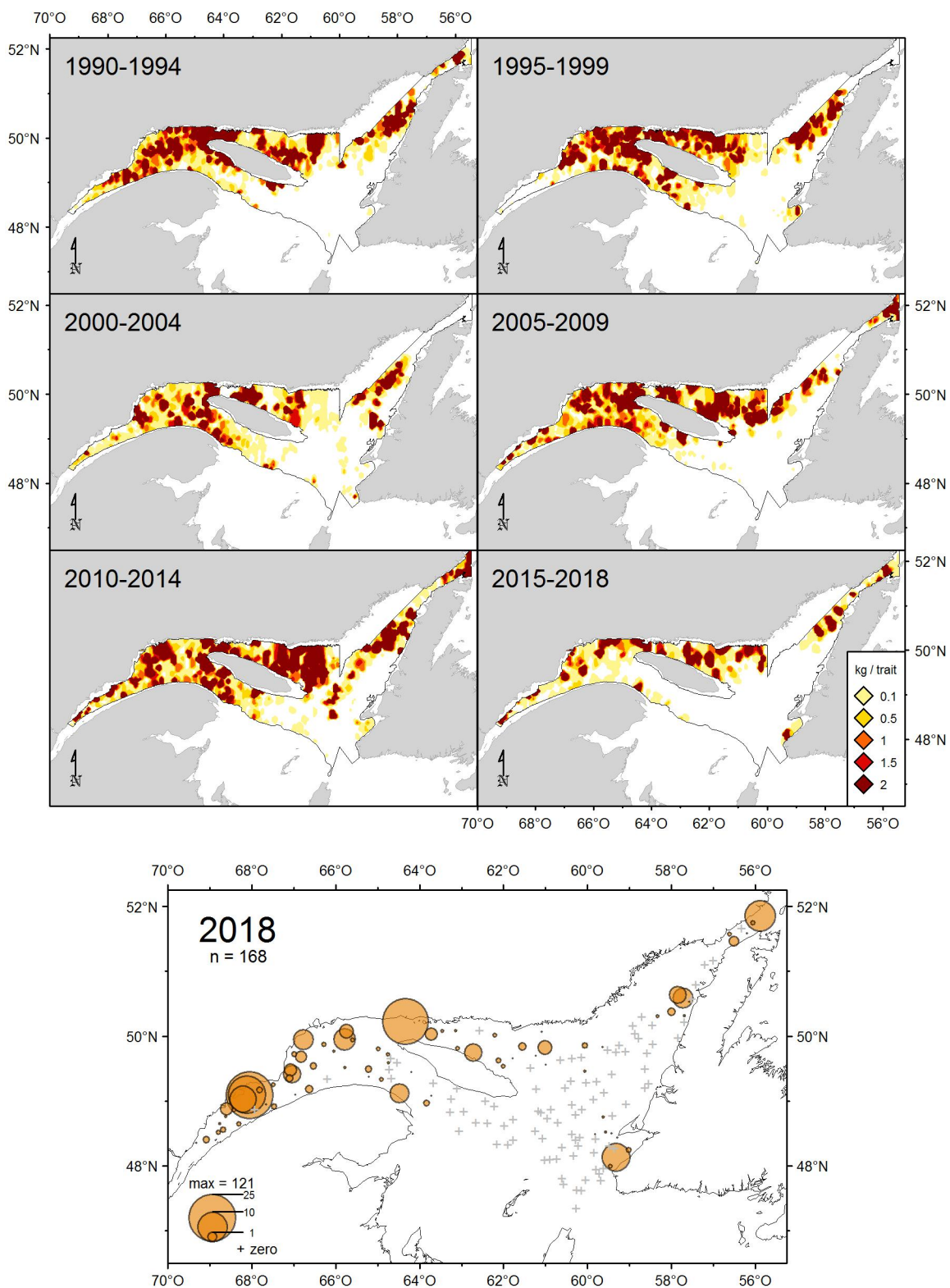


Figure 7. Distribution des taux de capture (kg/trait de 15 minutes) de capelan.

Crevette nordique

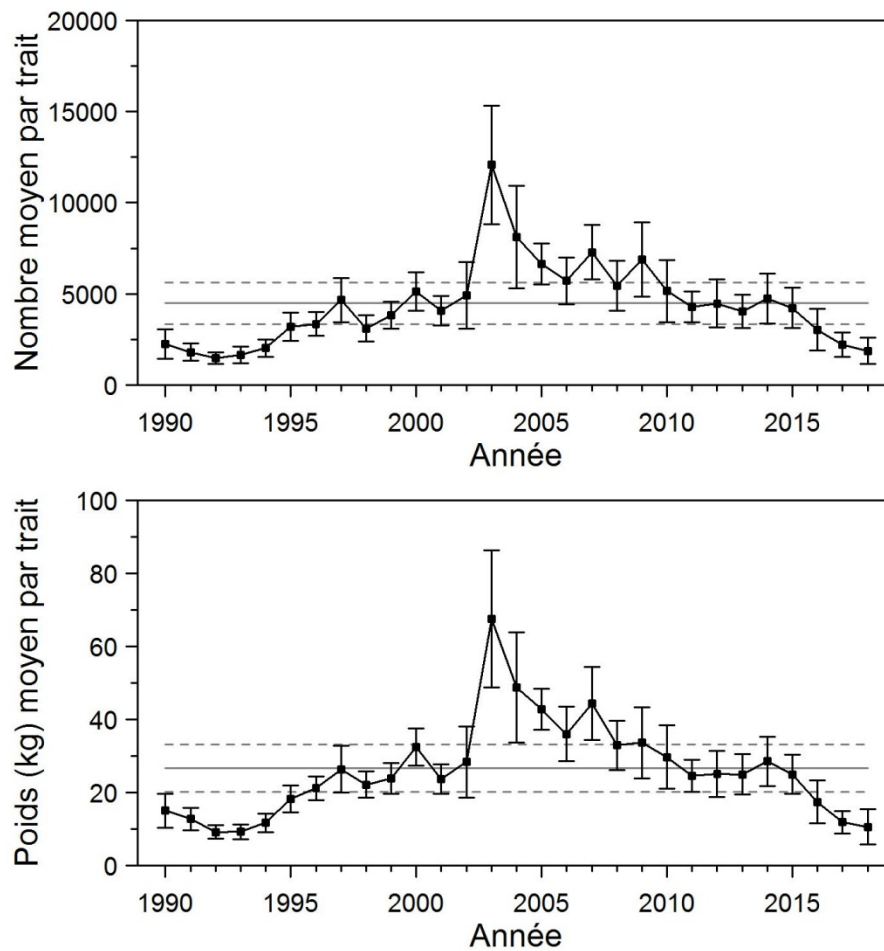


Figure 8. Nombres moyens et poids moyens par trait de 15 minutes observés lors du relevé pour la crevette nordique dans 4RST. Les barres d'erreur indiquent l'intervalle de confiance à 95 % et les lignes horizontales indiquent la moyenne de la période 1990-2017 (ligne pleine) et les limites de référence (voir texte) supérieure et inférieure (lignes pointillées).

Crevette nordique

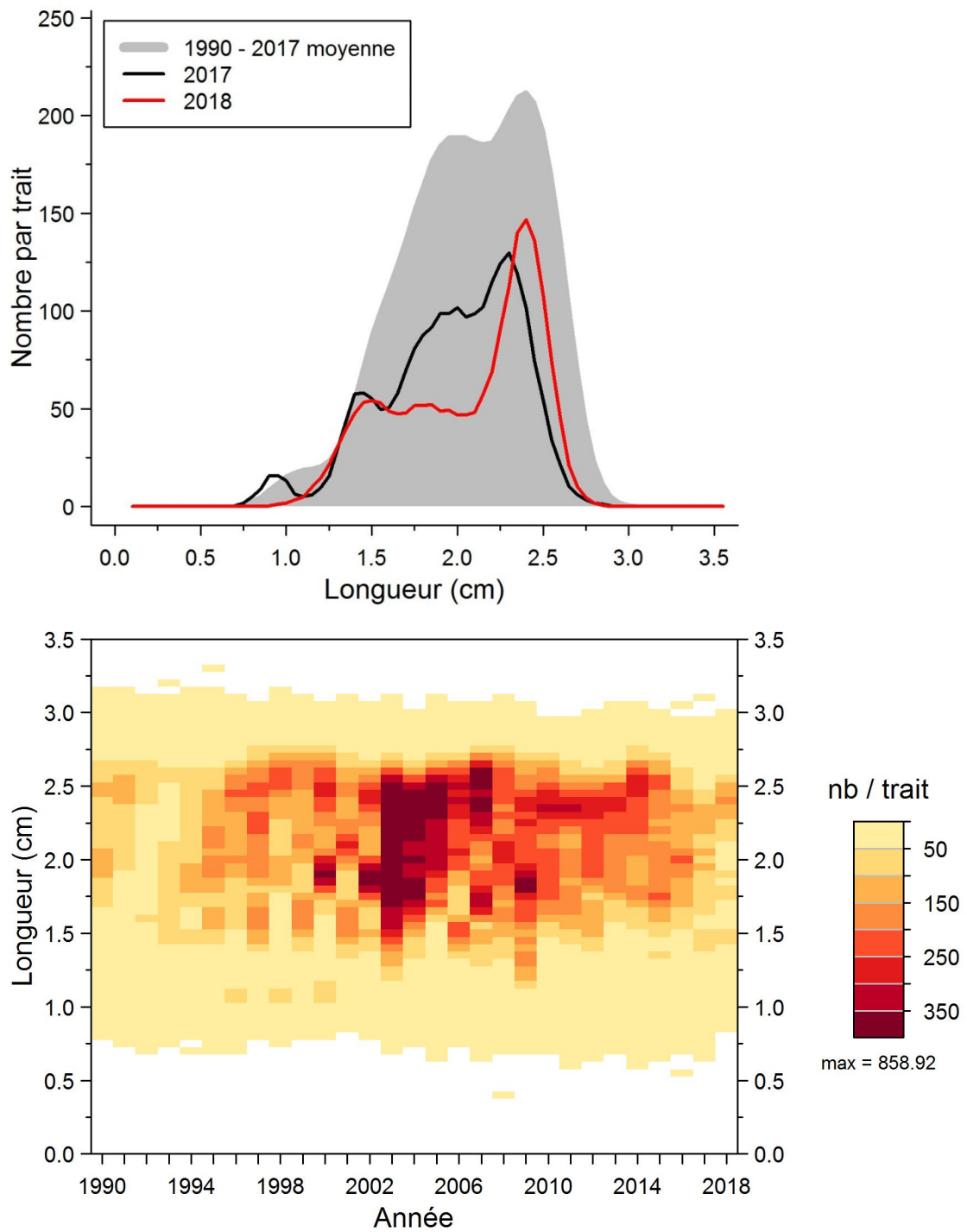


Figure 9. Distributions des fréquences de longueur de la carapace (nombre moyen par trait de 15 minutes) observées lors du relevé pour la crevette nordique dans 4RST.

Crevette nordique

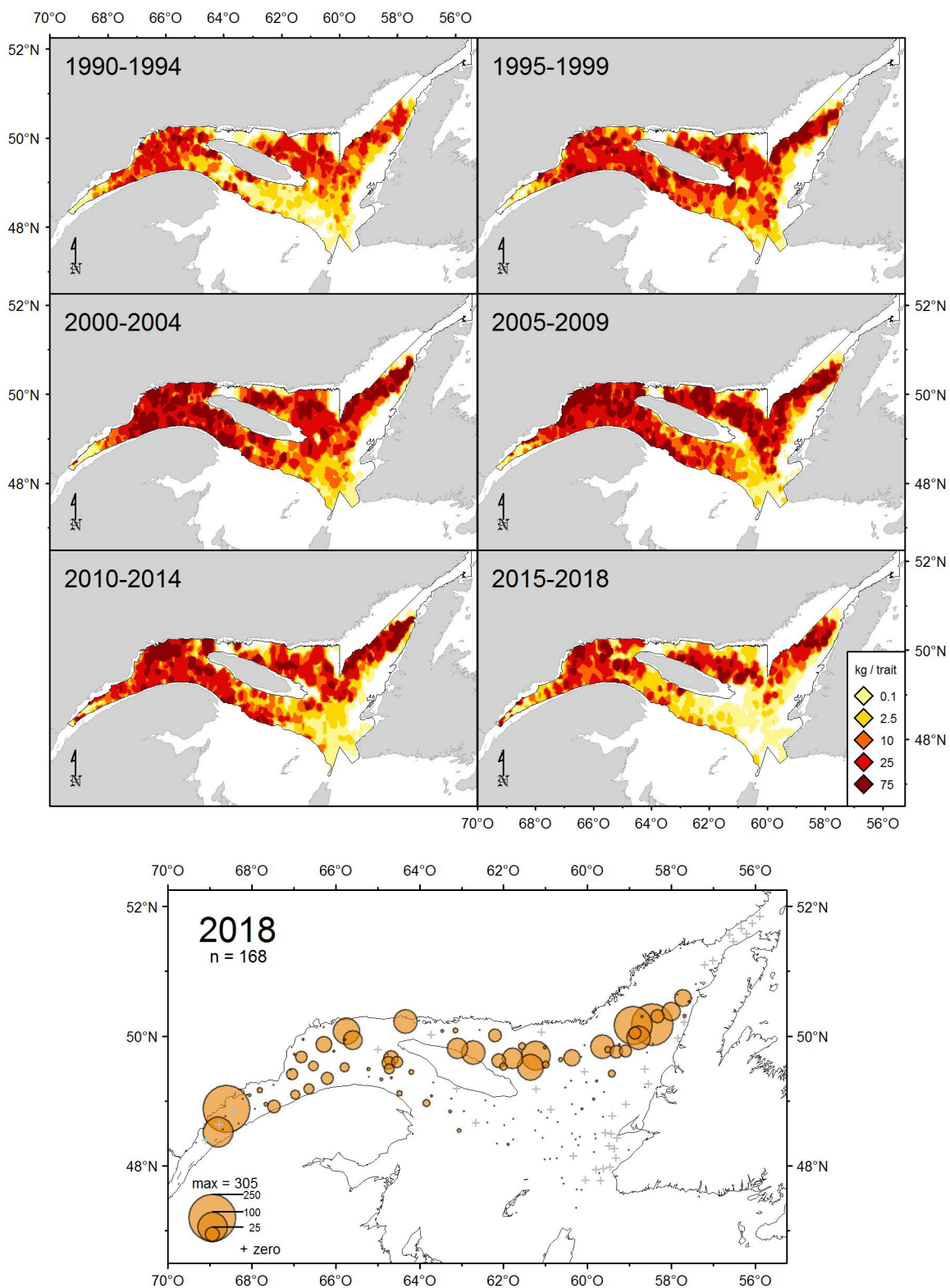


Figure 10. Distribution des taux de capture (kg/trait de 15 minutes) de crevette nordique.

Flétan atlantique

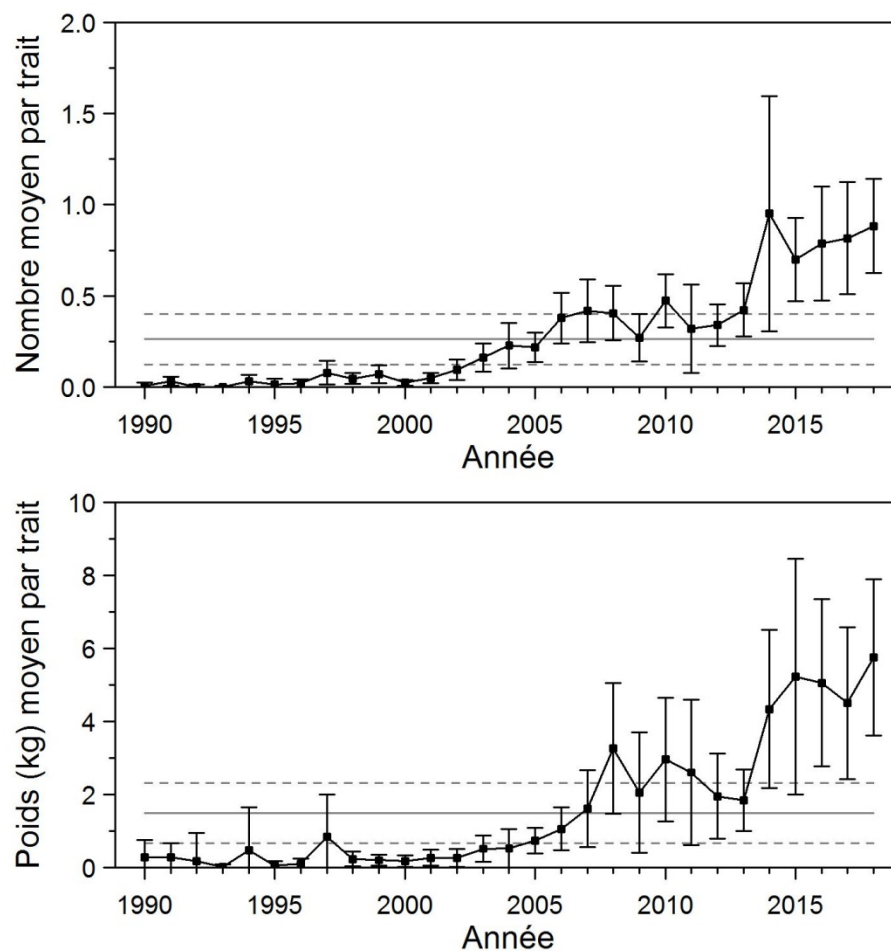


Figure 11. Nombres moyens et poids moyens par trait de 15 minutes observés lors du relevé pour le flétan atlantique dans 4RST. Les barres d'erreur indiquent l'intervalle de confiance à 95 % et les lignes horizontales indiquent la moyenne de la période 1990-2017 (ligne pleine) et les limites de référence (voir texte) supérieure et inférieure (lignes pointillées).

Flétan atlantique

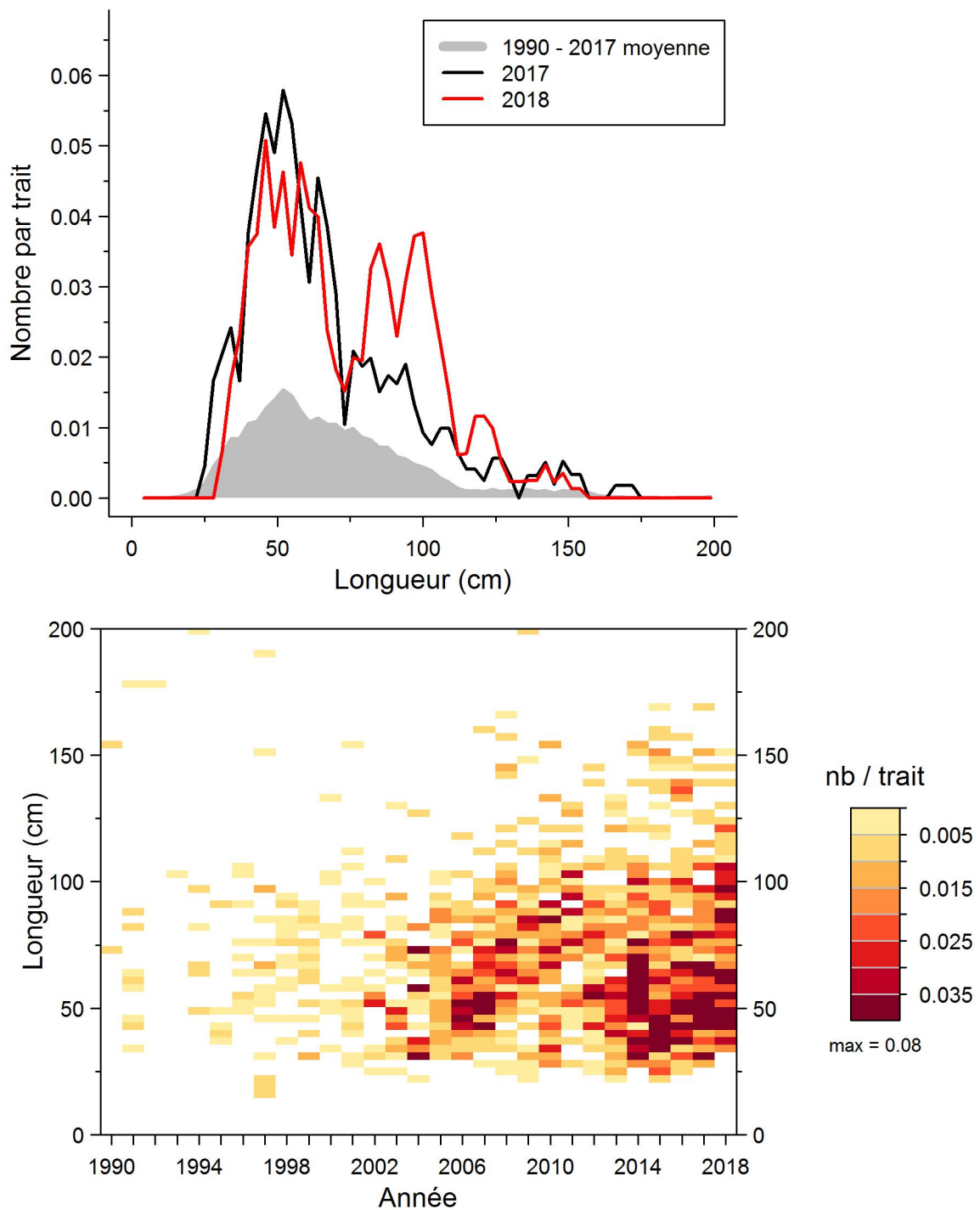


Figure 12. Distributions des fréquences de longueur (nombre moyen par trait de 15 minutes) observées lors du relevé pour le flétan atlantique dans 4RST.

Flétan atlantique

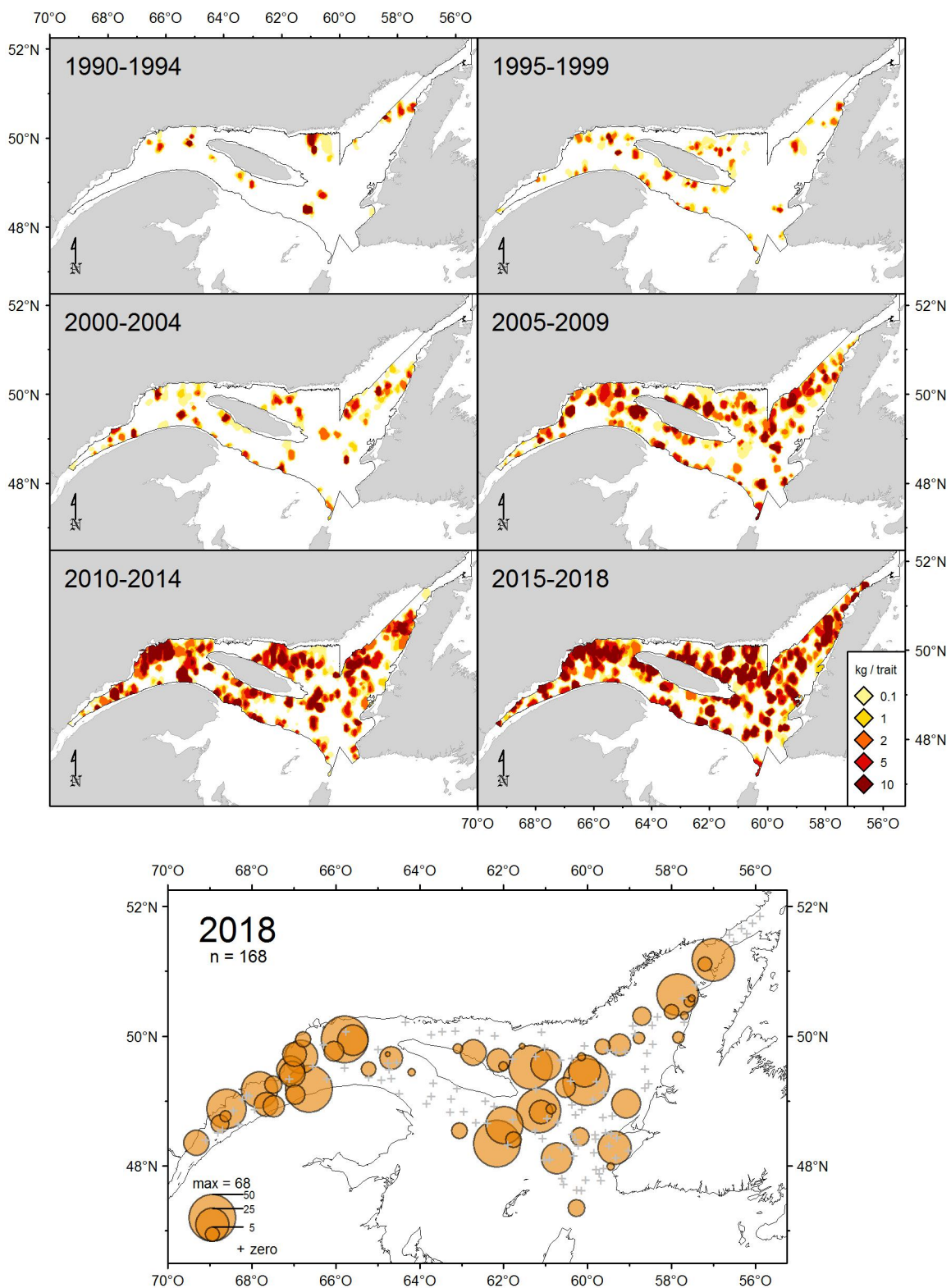


Figure 13. Distribution des taux de capture (kg/trait de 15 minutes) de flétan atlantique.

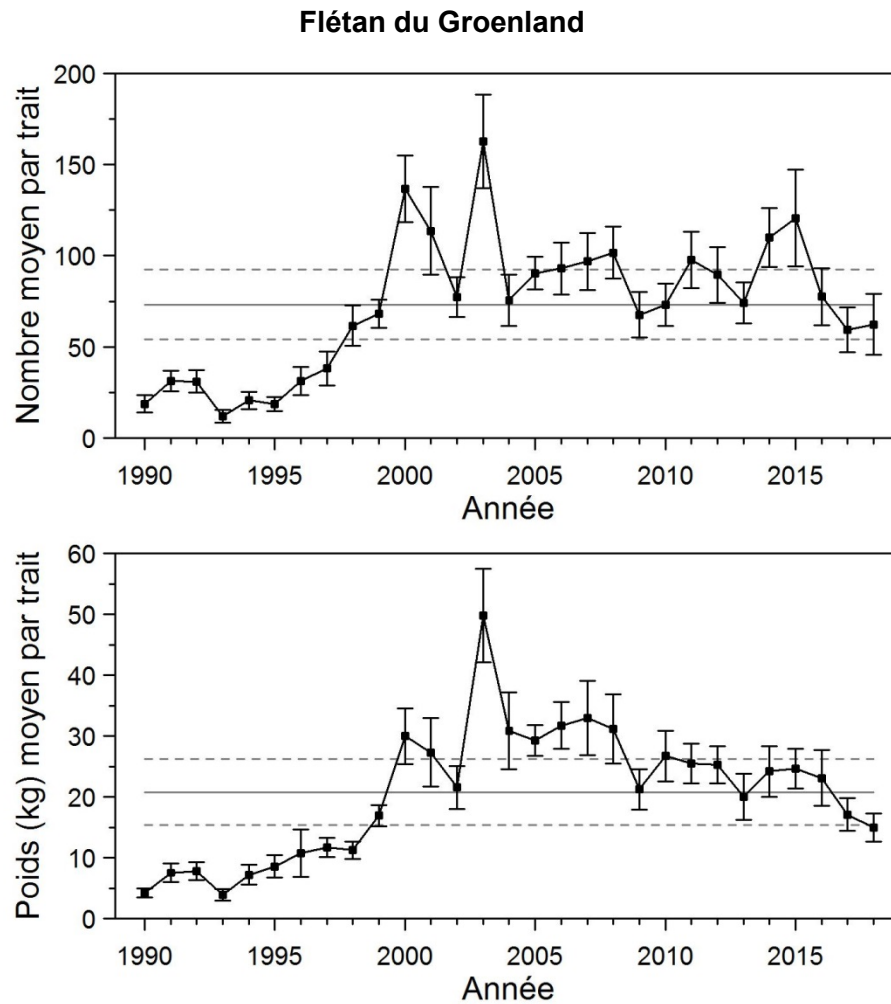


Figure 14. Nombres moyens et poids moyens par trait de 15 minutes observés lors du relevé pour le flétan du Groenland dans 4RST. Les barres d'erreur indiquent l'intervalle de confiance à 95 % et les lignes horizontales indiquent la moyenne de la période 1990-2017 (ligne pleine) et les limites de référence (voir texte) supérieure et inférieure (lignes pointillées).

Flétan du Groenland

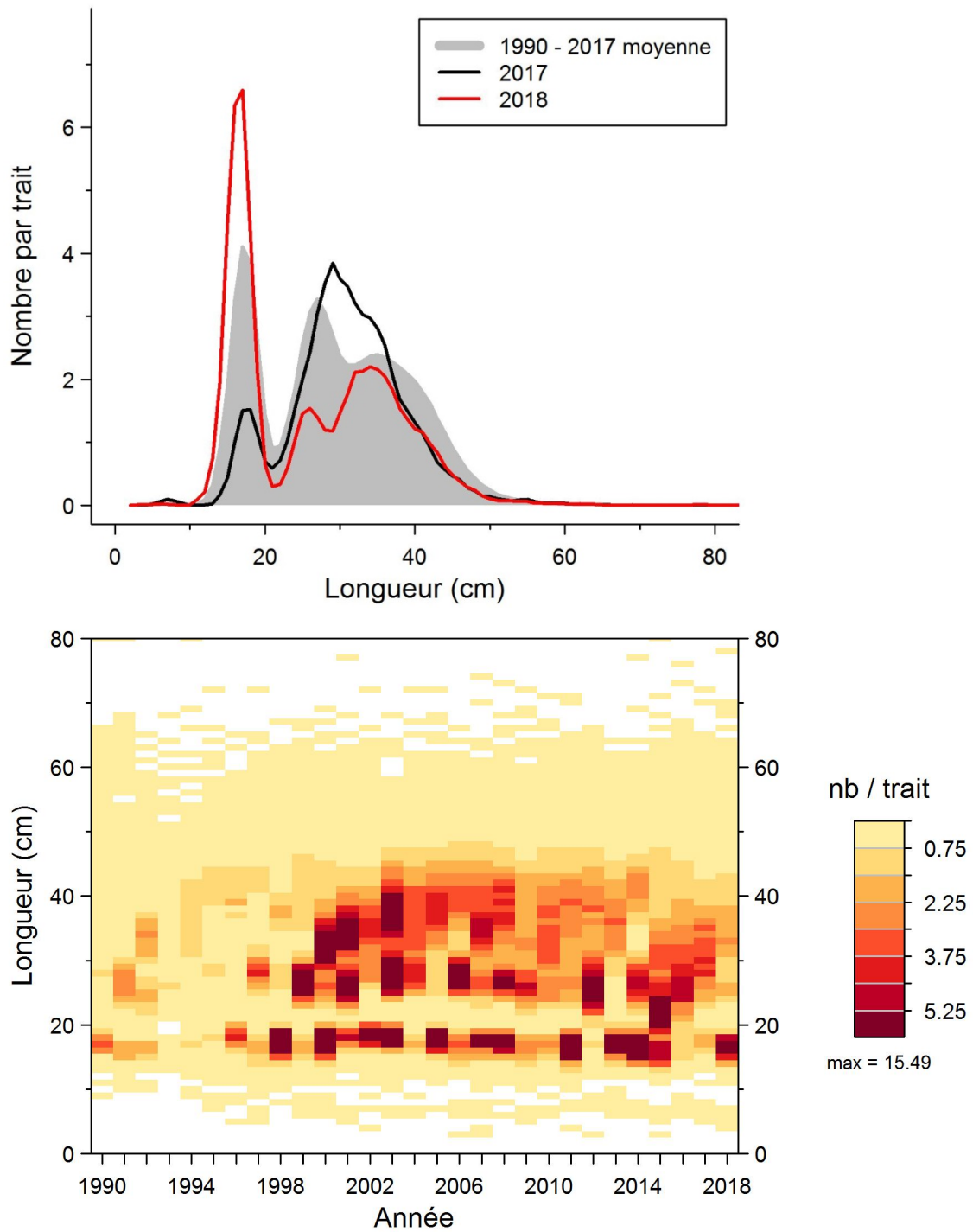


Figure 15. Distributions des fréquences de longueur (nombre moyen par trait de 15 minutes) observées lors du relevé pour le flétan du Groenland dans 4RST.

Flétan du Groenland

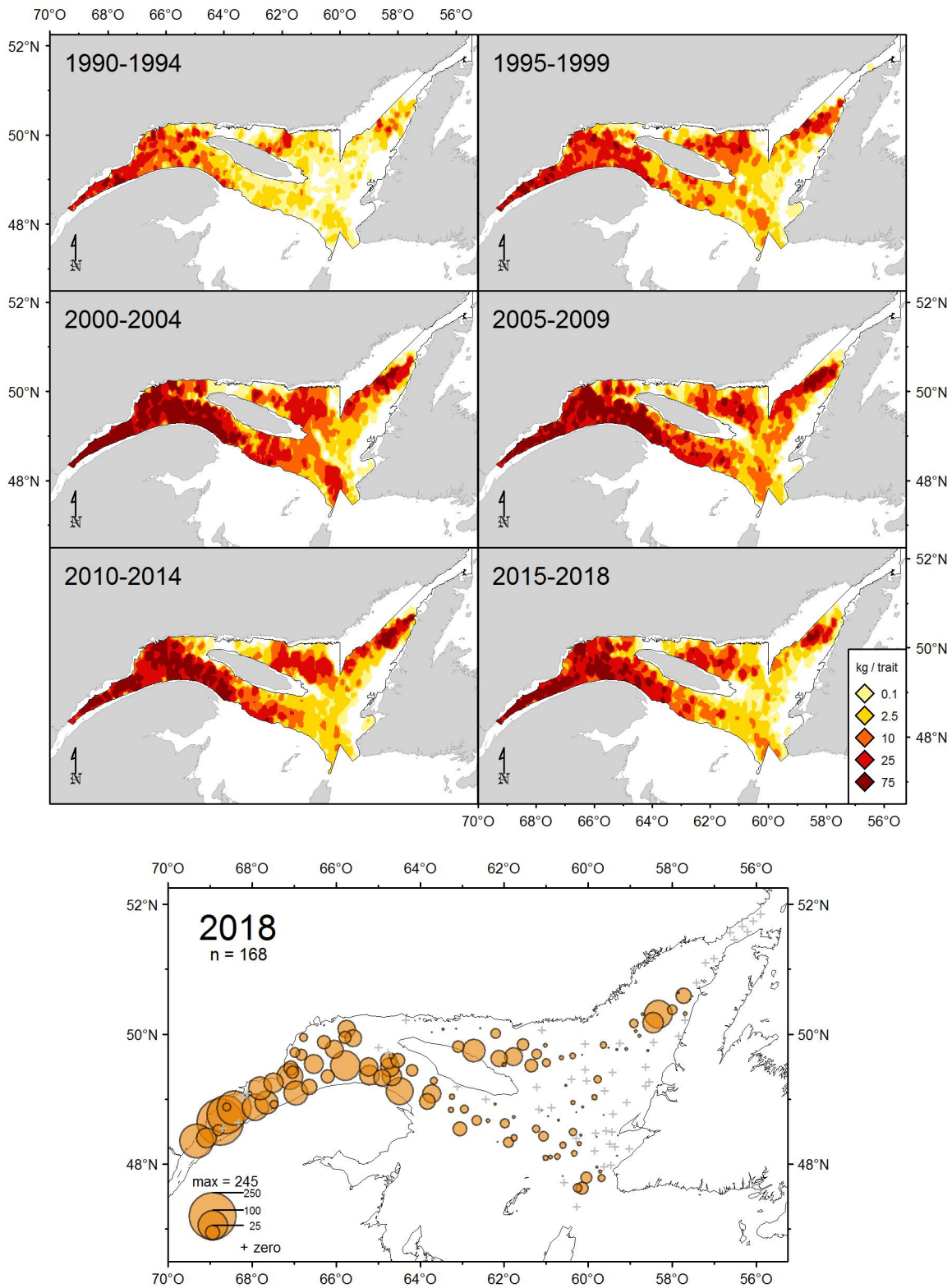


Figure 16. Distribution des taux de capture (kg/trait de 15 minutes) de flétan du Groenland.

Grosse poule de mer

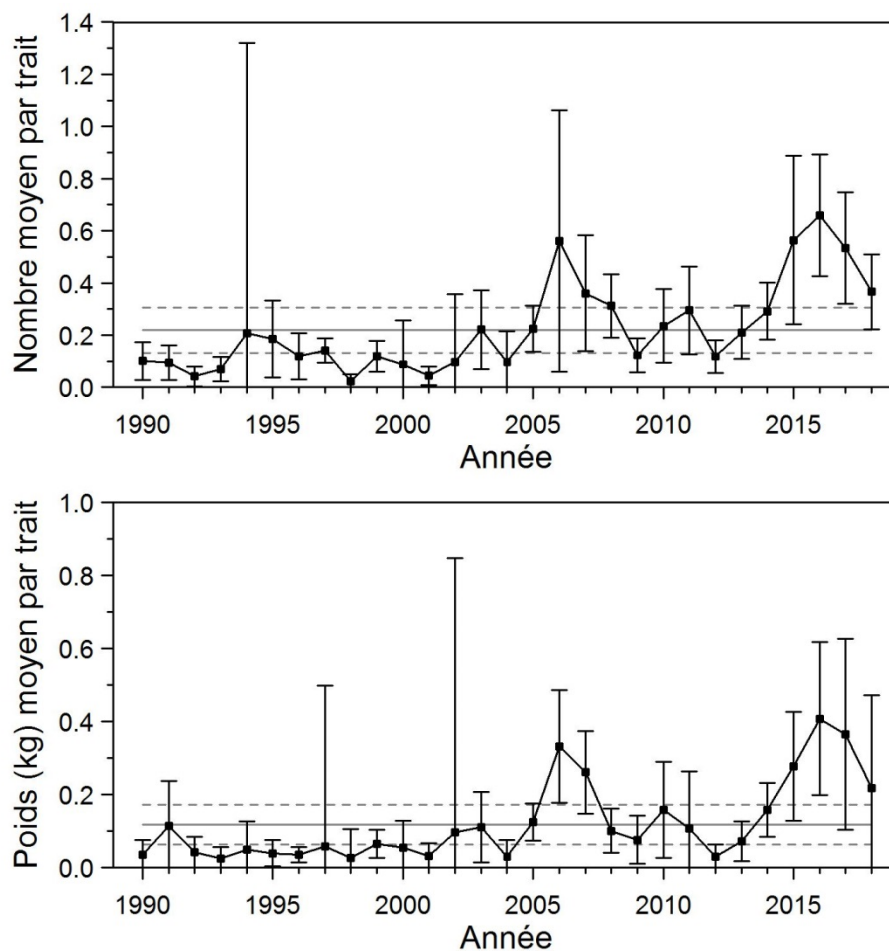


Figure 17. Nombres moyens et poids moyens par trait de 15 minutes observés lors du relevé pour la grosse poule de mer dans 4RST. Les barres d'erreur indiquent l'intervalle de confiance à 95 % et les lignes horizontales indiquent la moyenne de la période 1990-2017 (ligne pleine) et les limites de référence (voir texte) supérieure et inférieure (lignes pointillées).

Grosse poule de mer

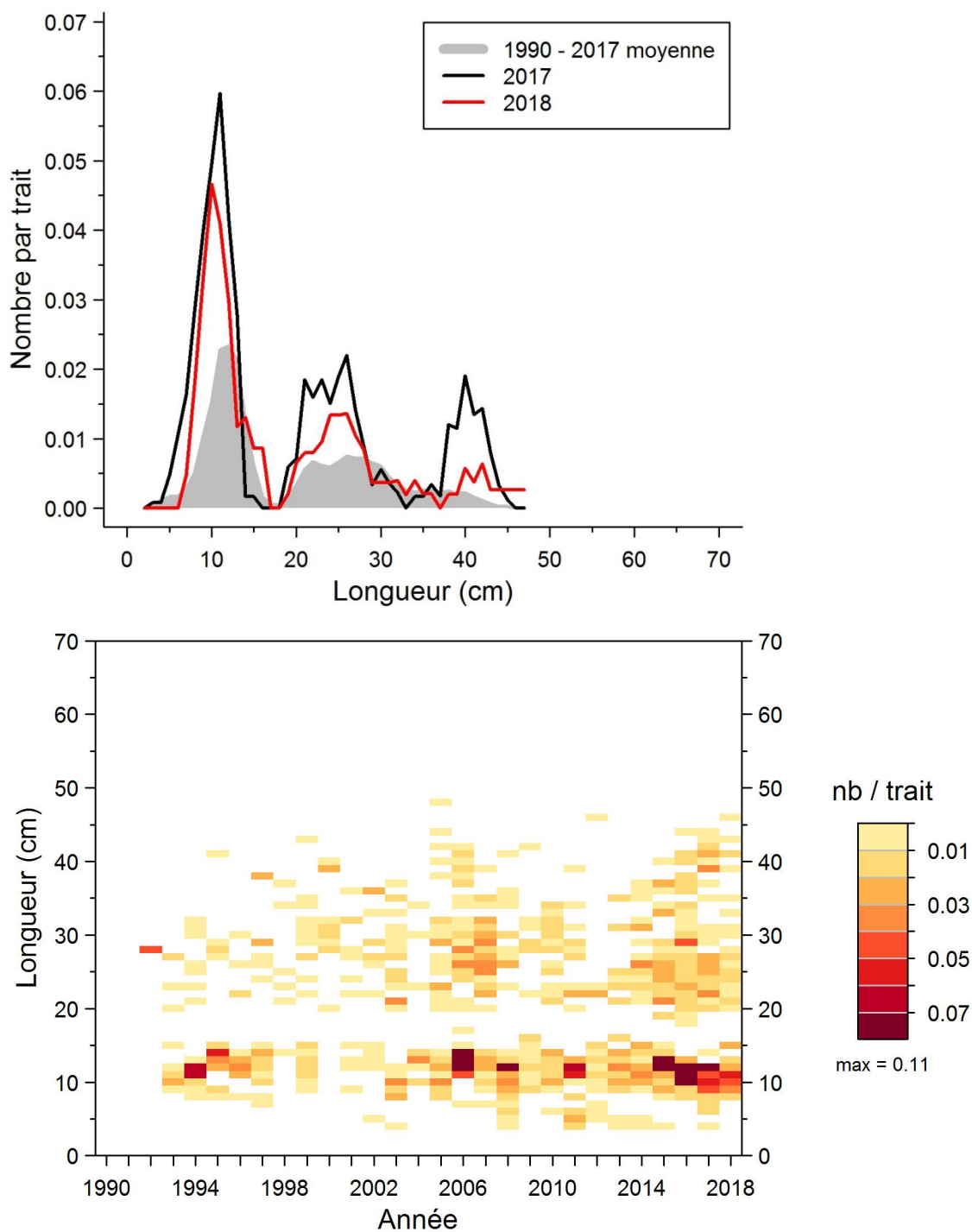


Figure 18. Distributions des fréquences de longueur (nombre moyen par trait de 15 minutes) observées lors du relevé pour la grosse poule de mer dans 4RST.

Grosse poule de mer

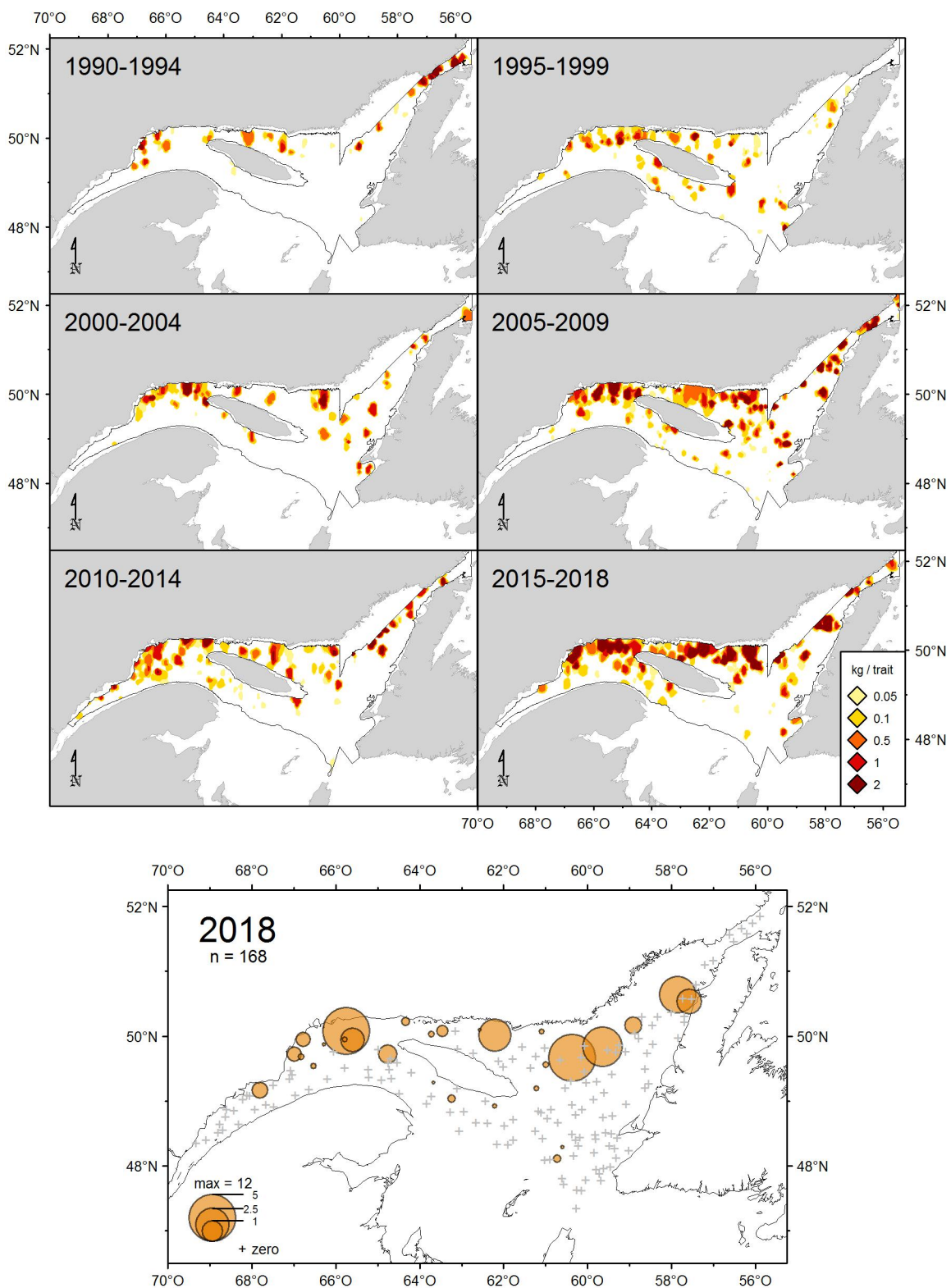


Figure 19. Distribution des taux de capture (kg/trait de 15 minutes) de grosse poule de mer.

Hareng

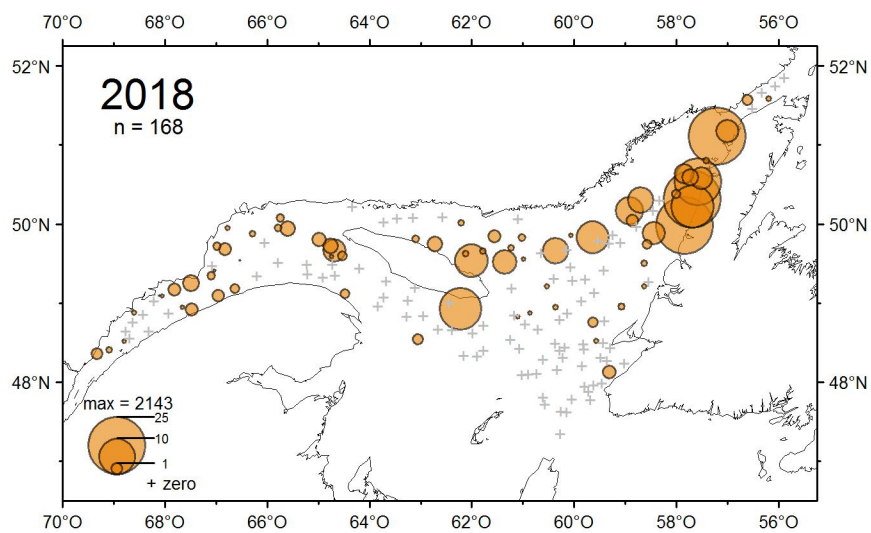
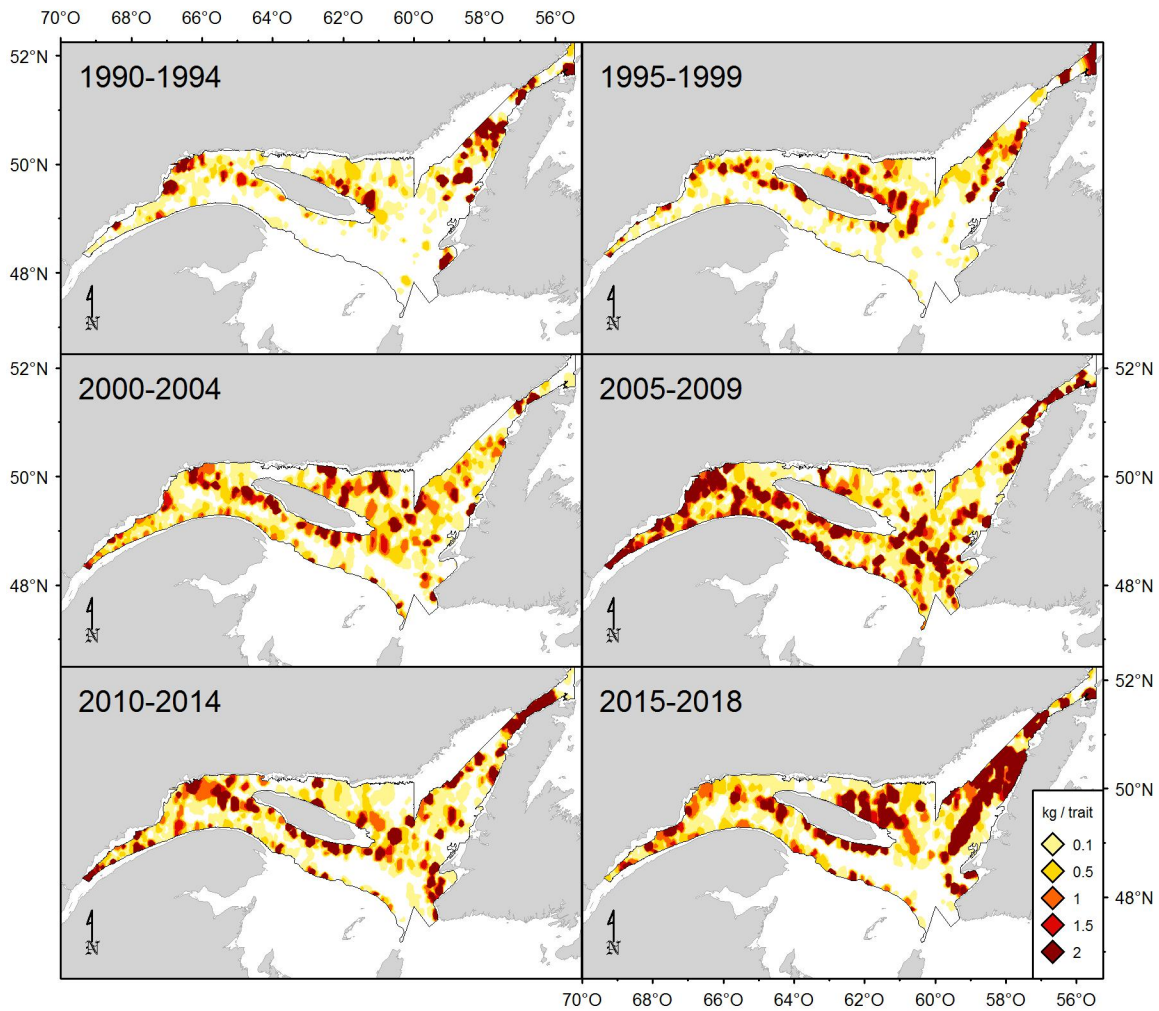


Figure 20. Distribution des taux de capture (kg/trait de 15 minutes) de hareng.

Loup atlantique

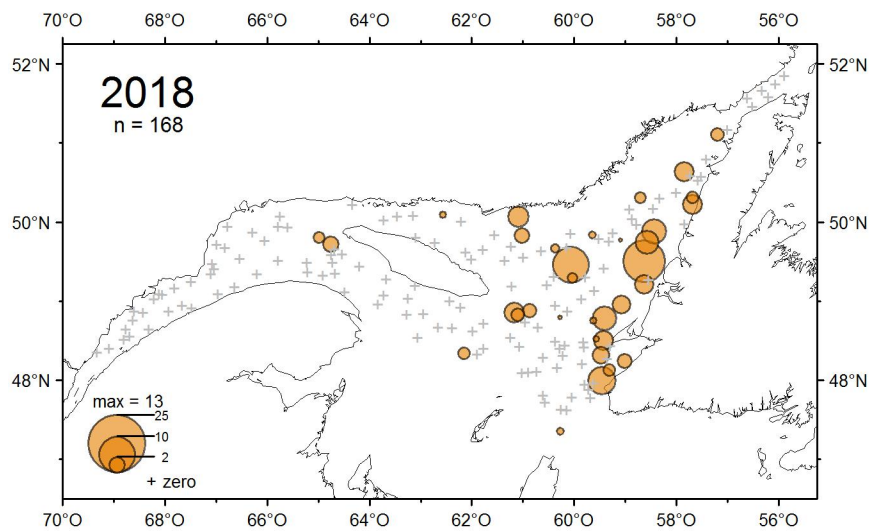
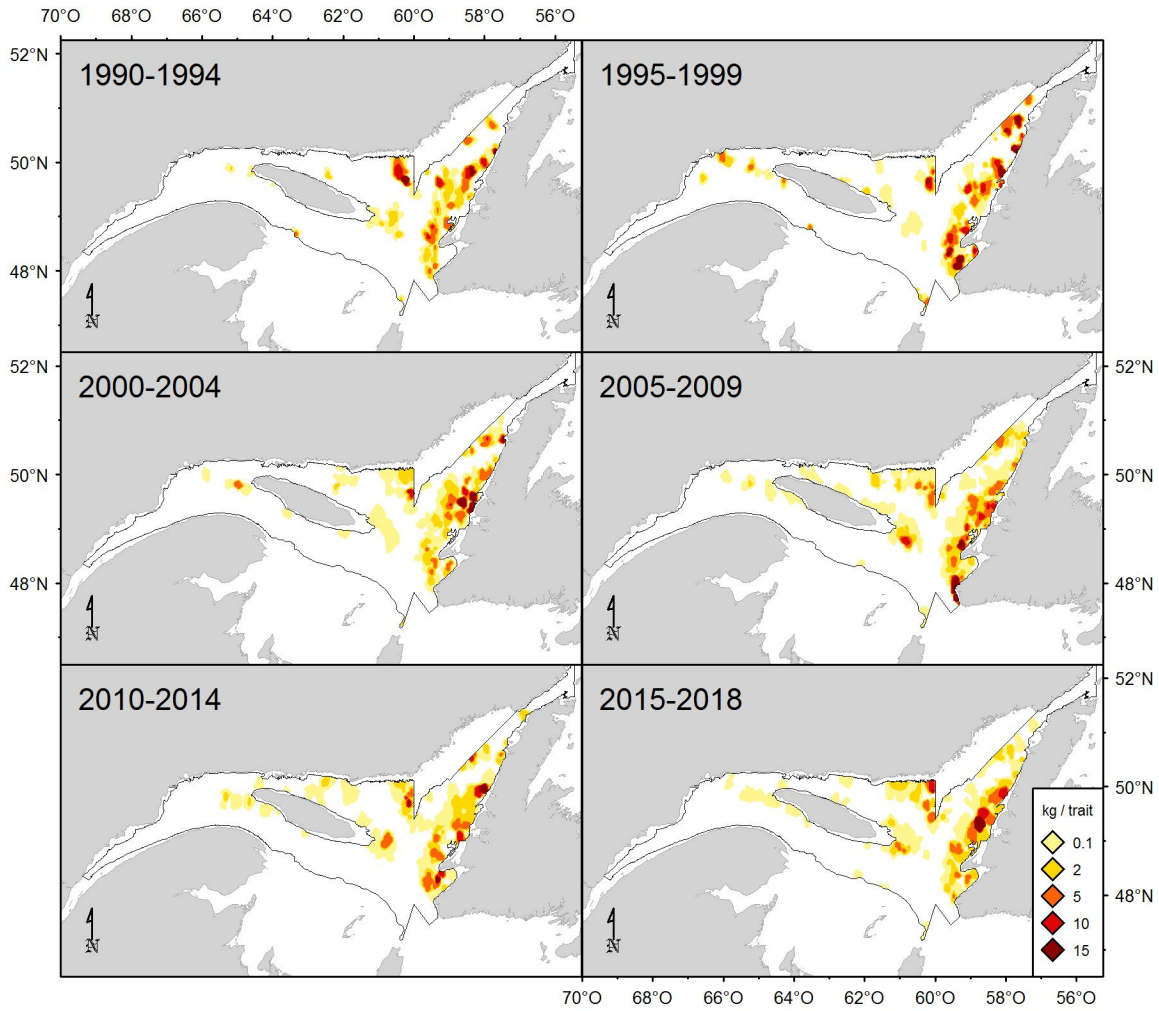


Figure 21. Distribution des taux de capture (kg/trait de 15 minutes) du loup atlantique.

Loup tacheté

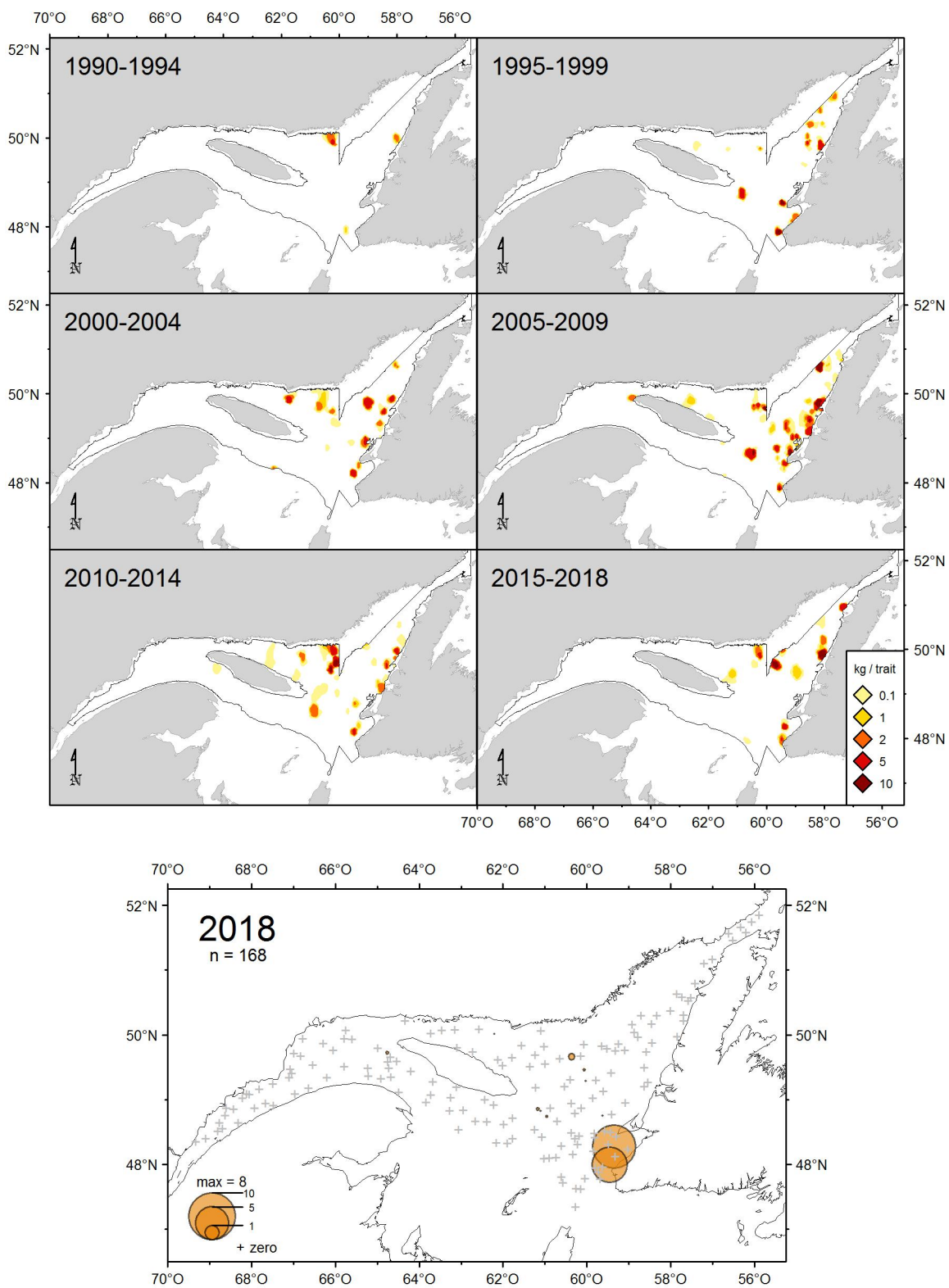


Figure 22. Distribution des taux de capture (kg/trait de 15 minutes) du loup tacheté.

Merlu argenté

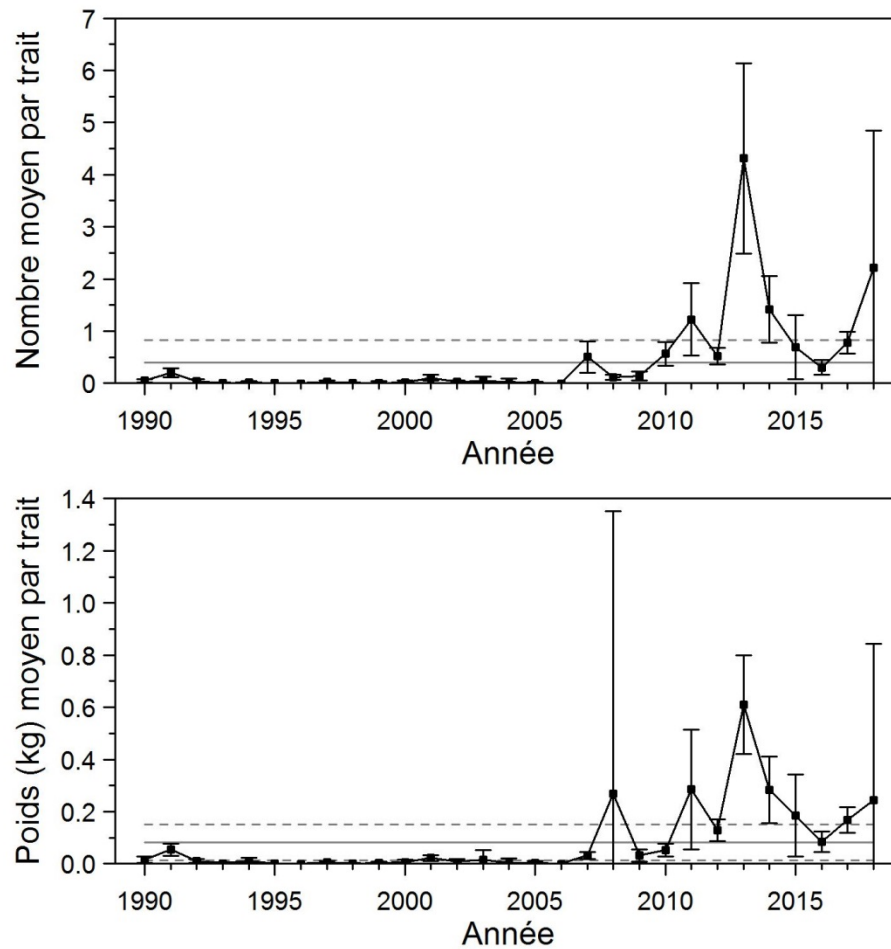


Figure 23. Nombres moyens et poids moyens par trait de 15 minutes observés lors du relevé pour le merlu argenté dans 4RST. Les barres d'erreur indiquent l'intervalle de confiance à 95 % et les lignes horizontales indiquent la moyenne de la période 1990-2017 (ligne pleine) et les limites de référence (voir texte) supérieure et inférieure (lignes pointillées).

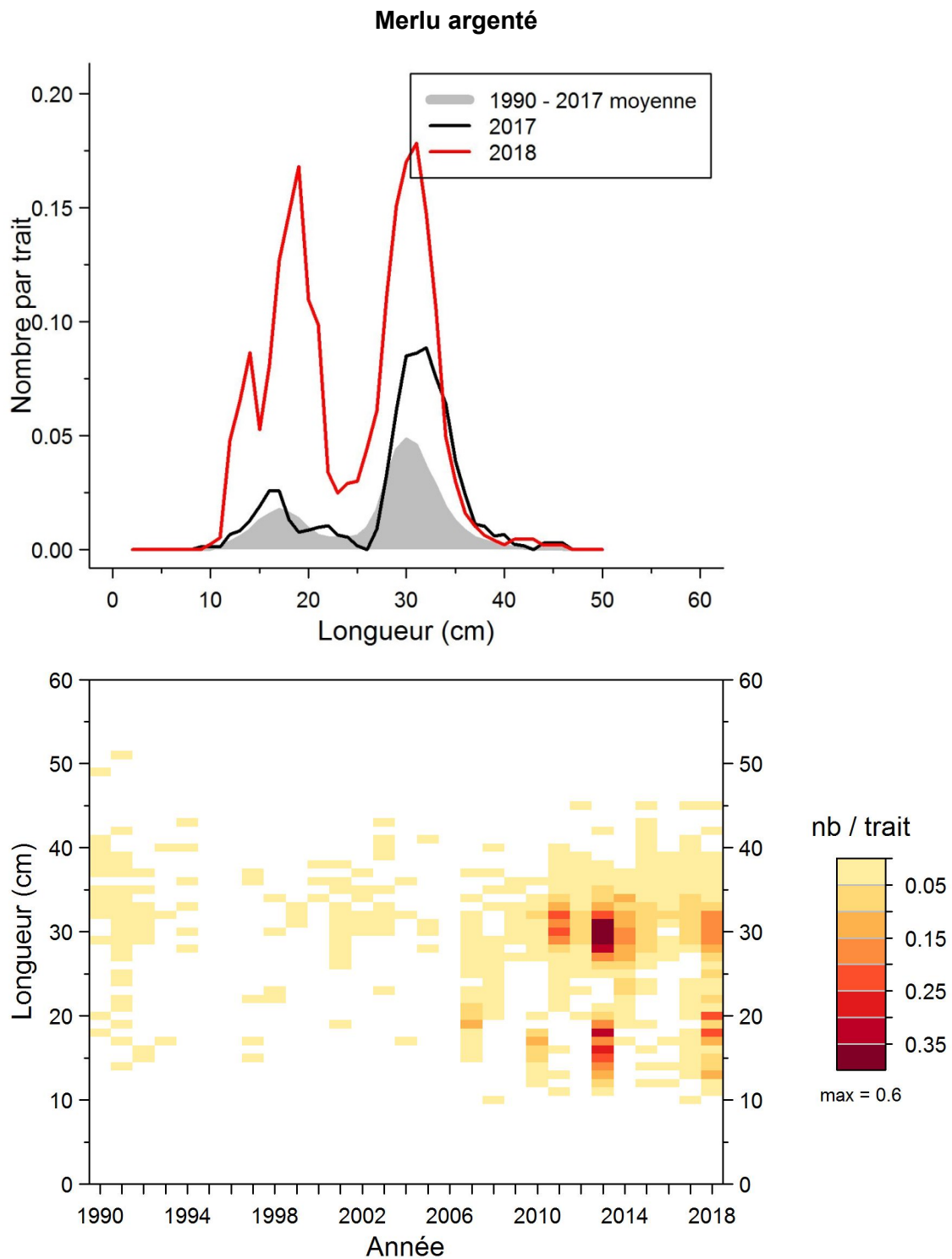


Figure 24. Distributions des fréquences de longueur (nombre moyen par trait de 15 minutes) observées lors du relevé pour le merlu argenté dans 4RST.

Merlu argenté

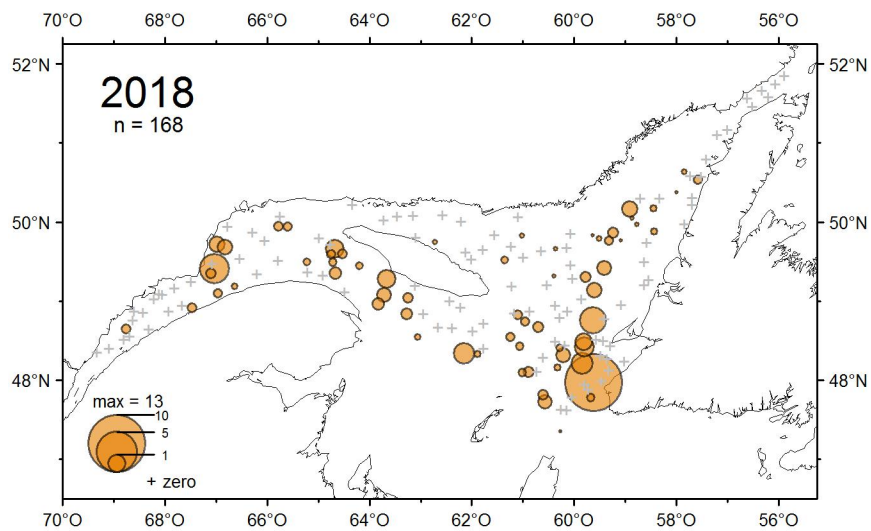
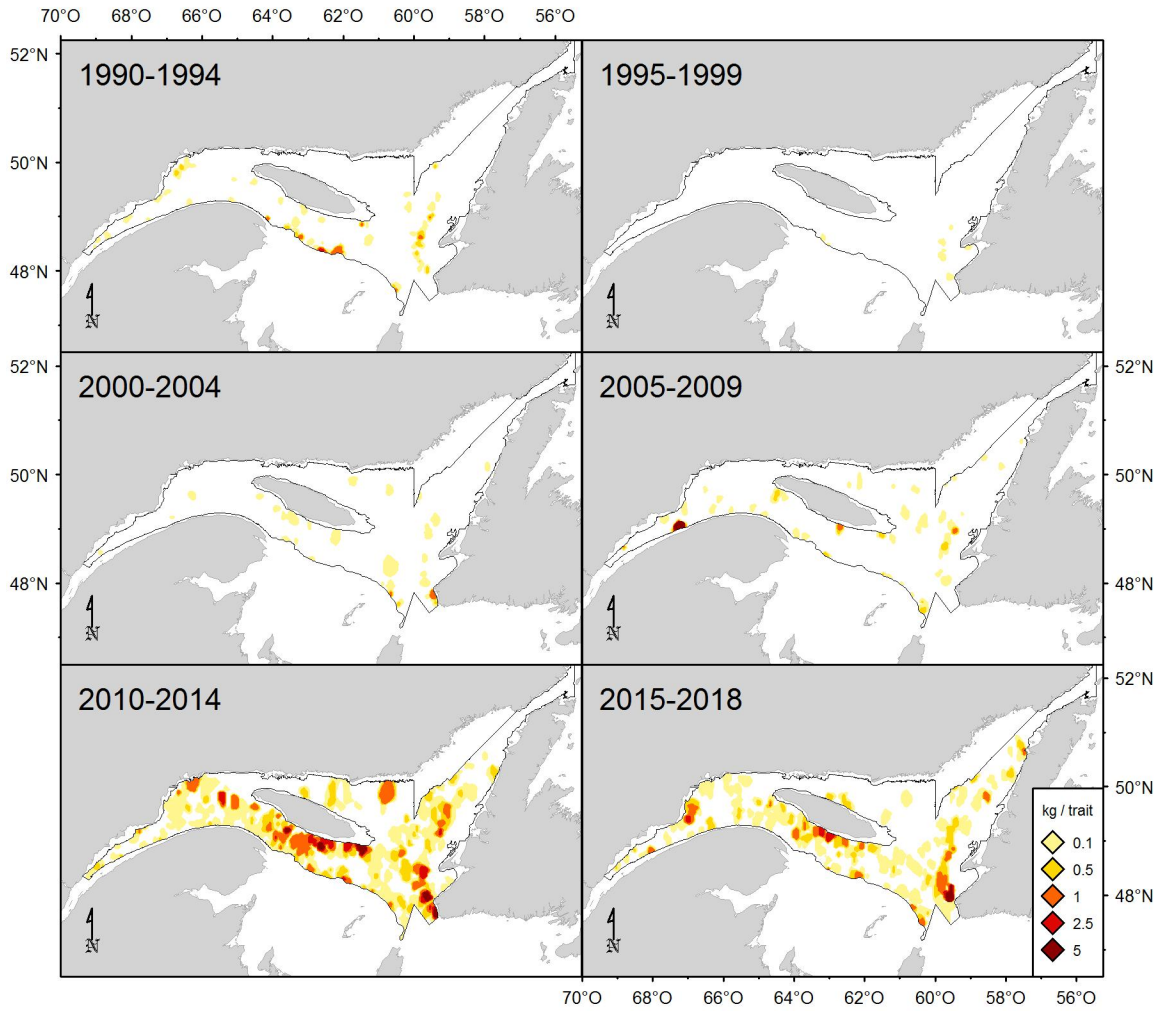


Figure 25. Distribution des taux de capture (kg/trait de 15 minutes) du merlu argenté.

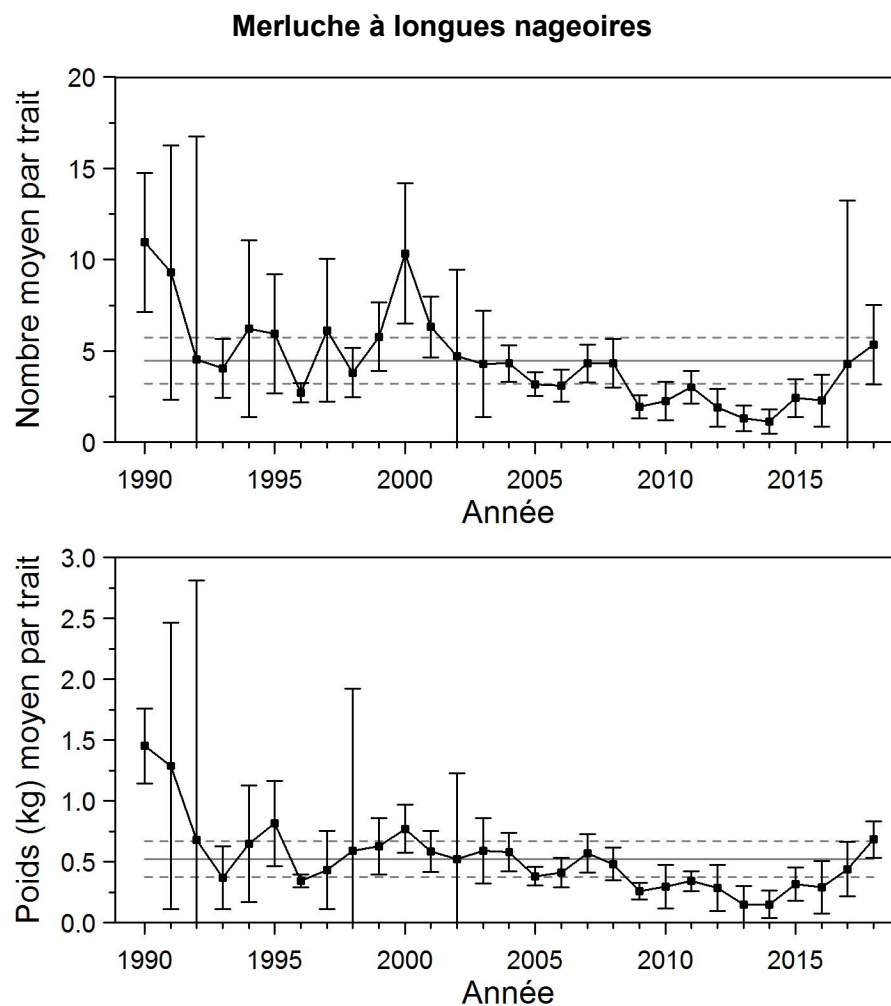


Figure 26. Nombres moyens et poids moyens par trait de 15 minutes observés lors du relevé pour la merluche à longues nageoires dans 4RST. Les barres d'erreur indiquent l'intervalle de confiance à 95 % et les lignes horizontales indiquent la moyenne de la période 1990-2017 (ligne pleine) et les limites de référence (voir texte) supérieure et inférieure (lignes pointillées).

Merluche à longues nageoires

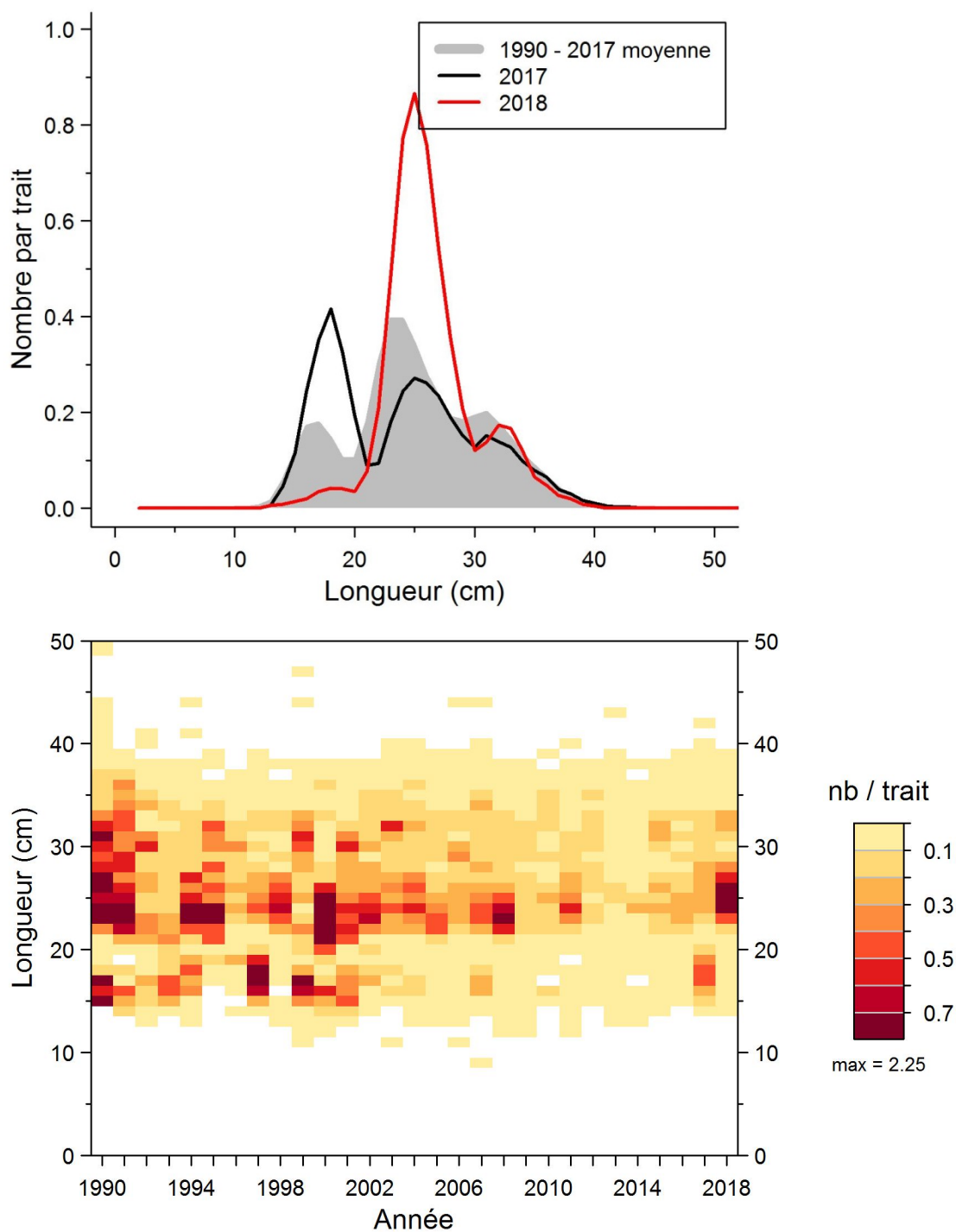


Figure 27. Distributions des fréquences de longueur (nombre moyen par trait de 15 minutes) observées lors du relevé pour la merluche à longues nageoires dans 4RST.

Merluche à longues nageoires

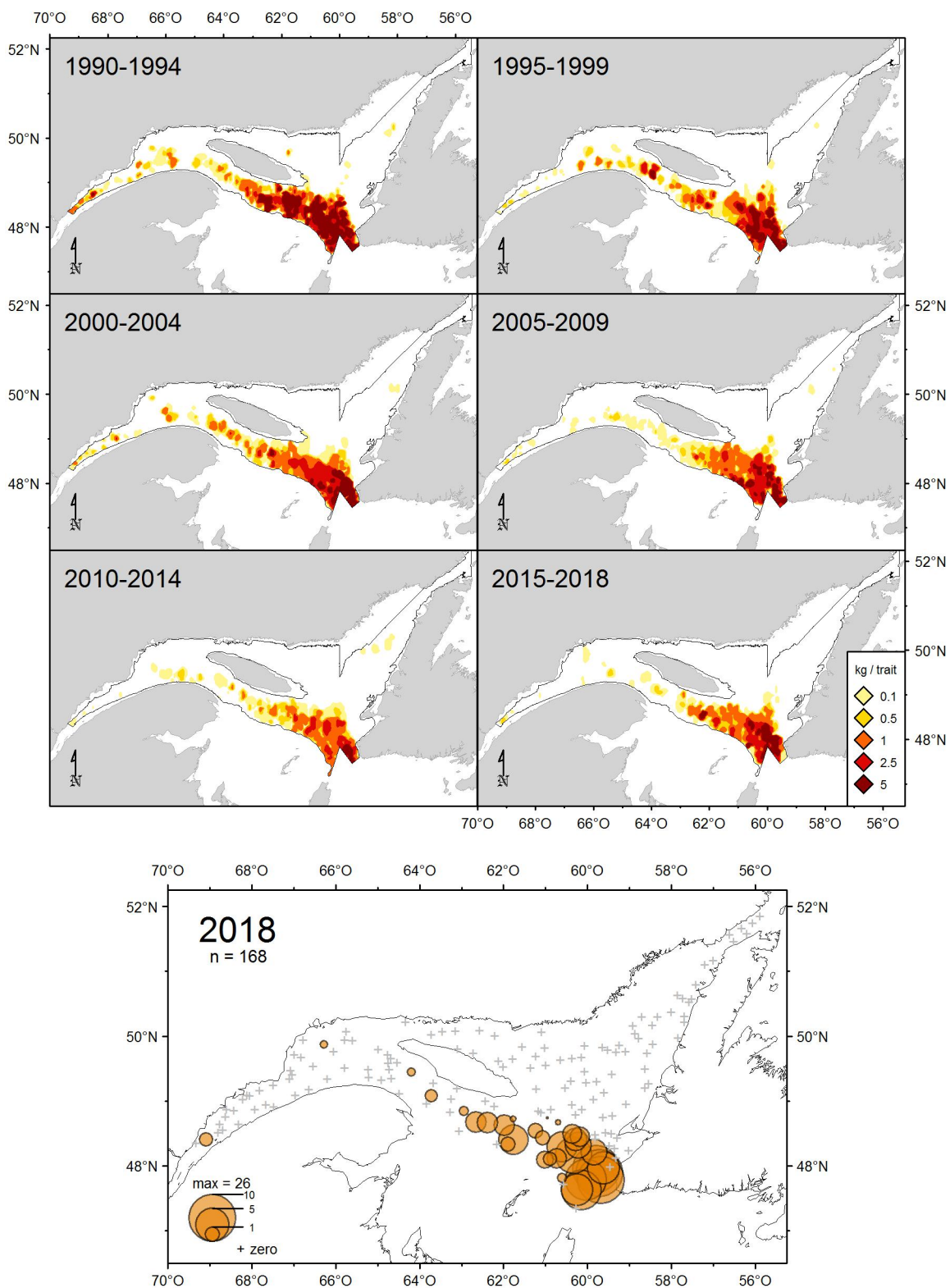


Figure 28. Distribution des taux de capture (kg/trait de 15 minutes) de merluche à longues nageoires.

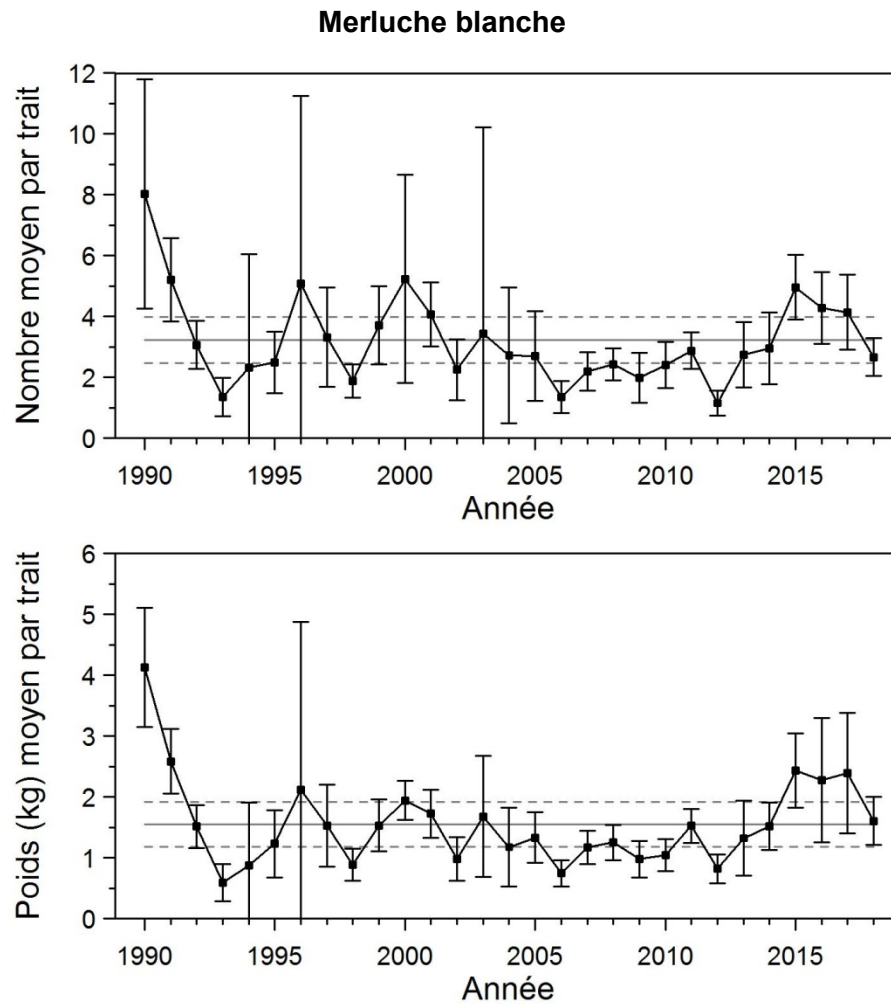


Figure 29. Nombres moyens et poids moyens par trait de 15 minutes observés lors du relevé pour la merluche blanche dans 4RST. Les barres d'erreur indiquent l'intervalle de confiance à 95 % et les lignes horizontales indiquent la moyenne de la période 1990-2017 (ligne pleine) et les limites de référence (voir texte) supérieure et inférieure (lignes pointillées).

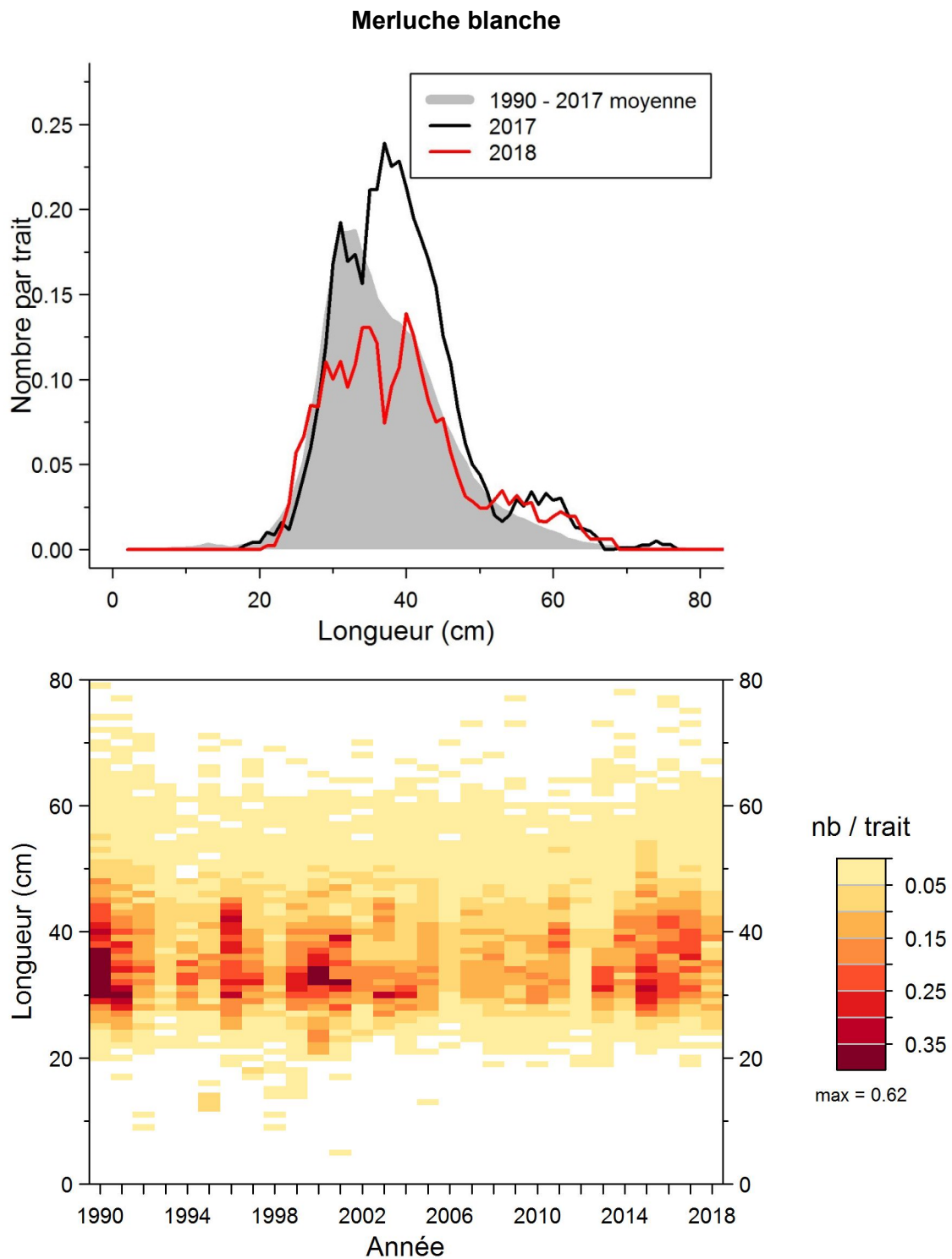


Figure 30. Distributions des fréquences de longueur (nombre moyen par trait de 15 minutes) observées lors du relevé pour la merluche blanche dans 4RST.

Merluche blanche

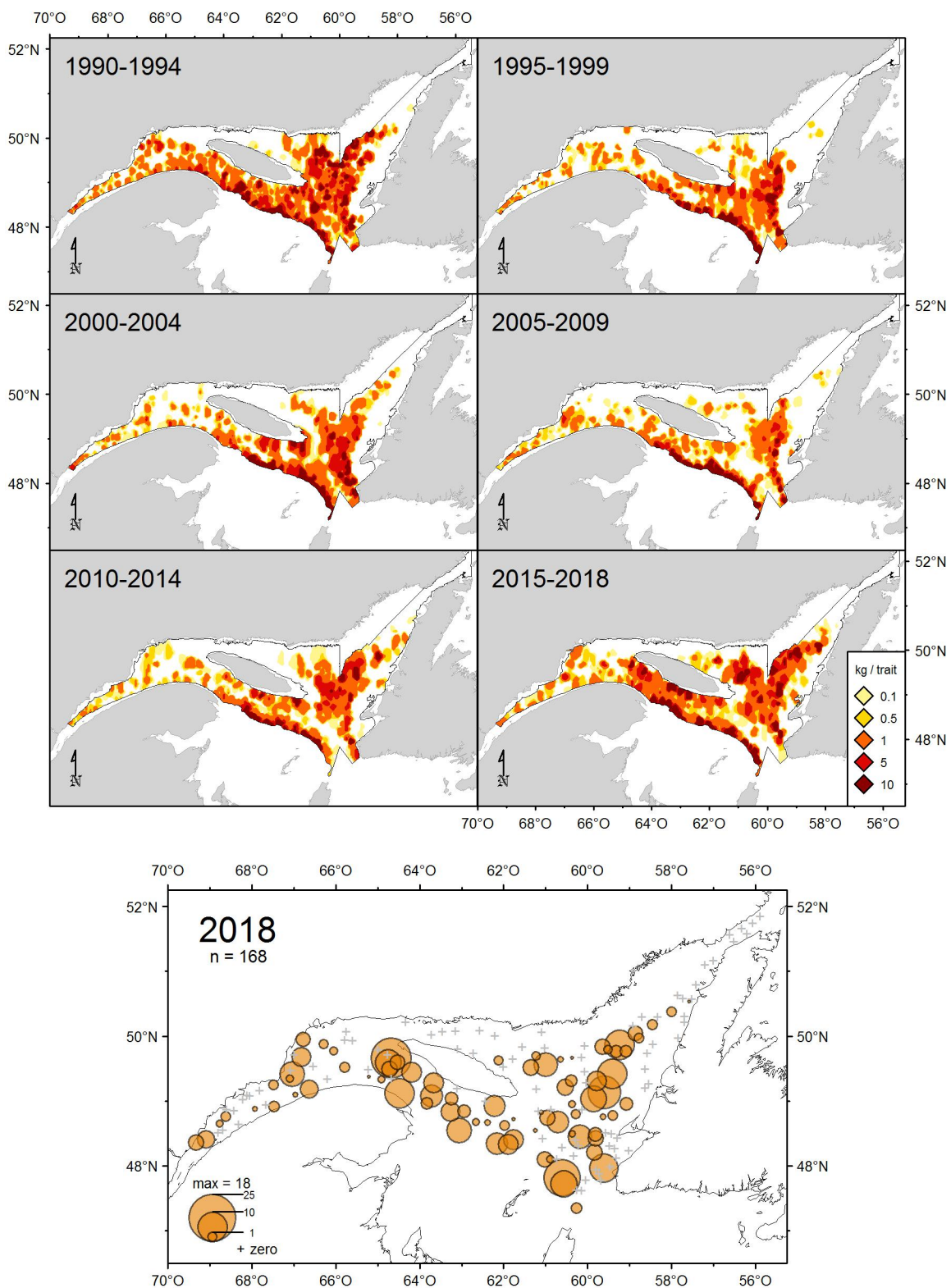


Figure 31. Distribution des taux de capture (kg/trait de 15 minutes) de merluche blanche.

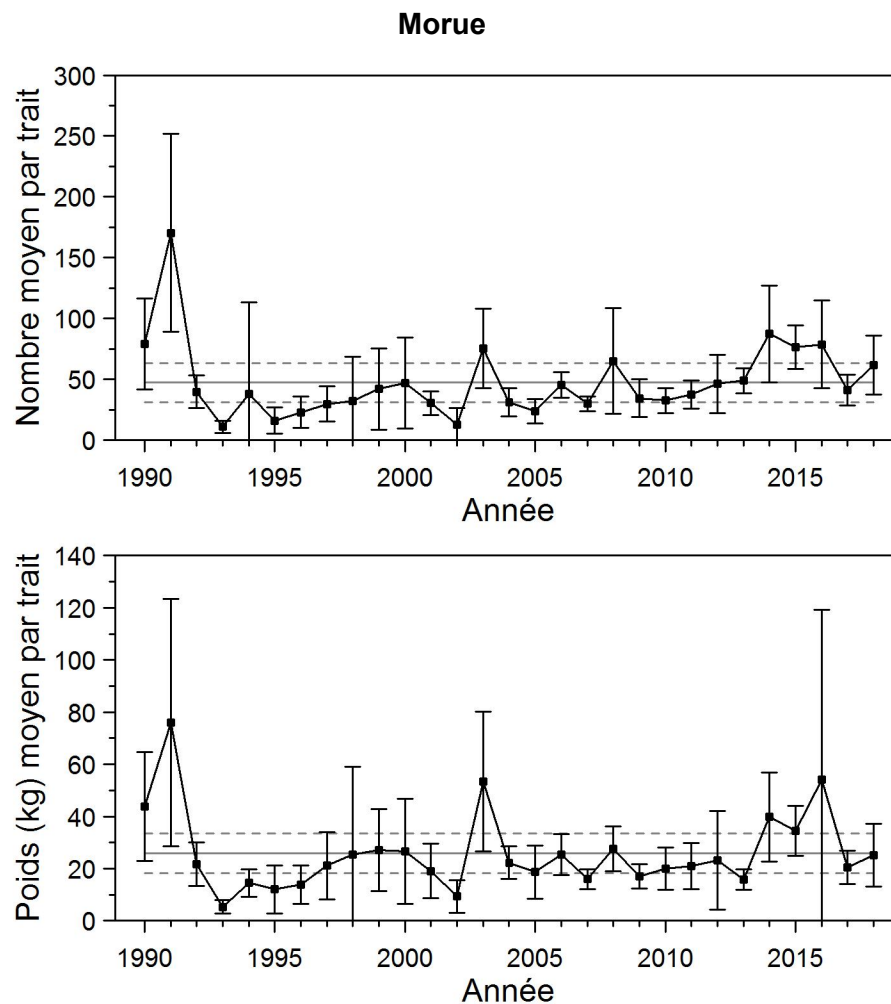


Figure 32. Nombres moyens et poids moyens par trait de 15 minutes observés lors du relevé pour la morue dans 4RS. Les barres d'erreur indiquent l'intervalle de confiance à 95 % et les lignes horizontales indiquent la moyenne de la période 1990-2017 (ligne pleine) et les limites de référence (voir texte) supérieure et inférieure (lignes pointillées).

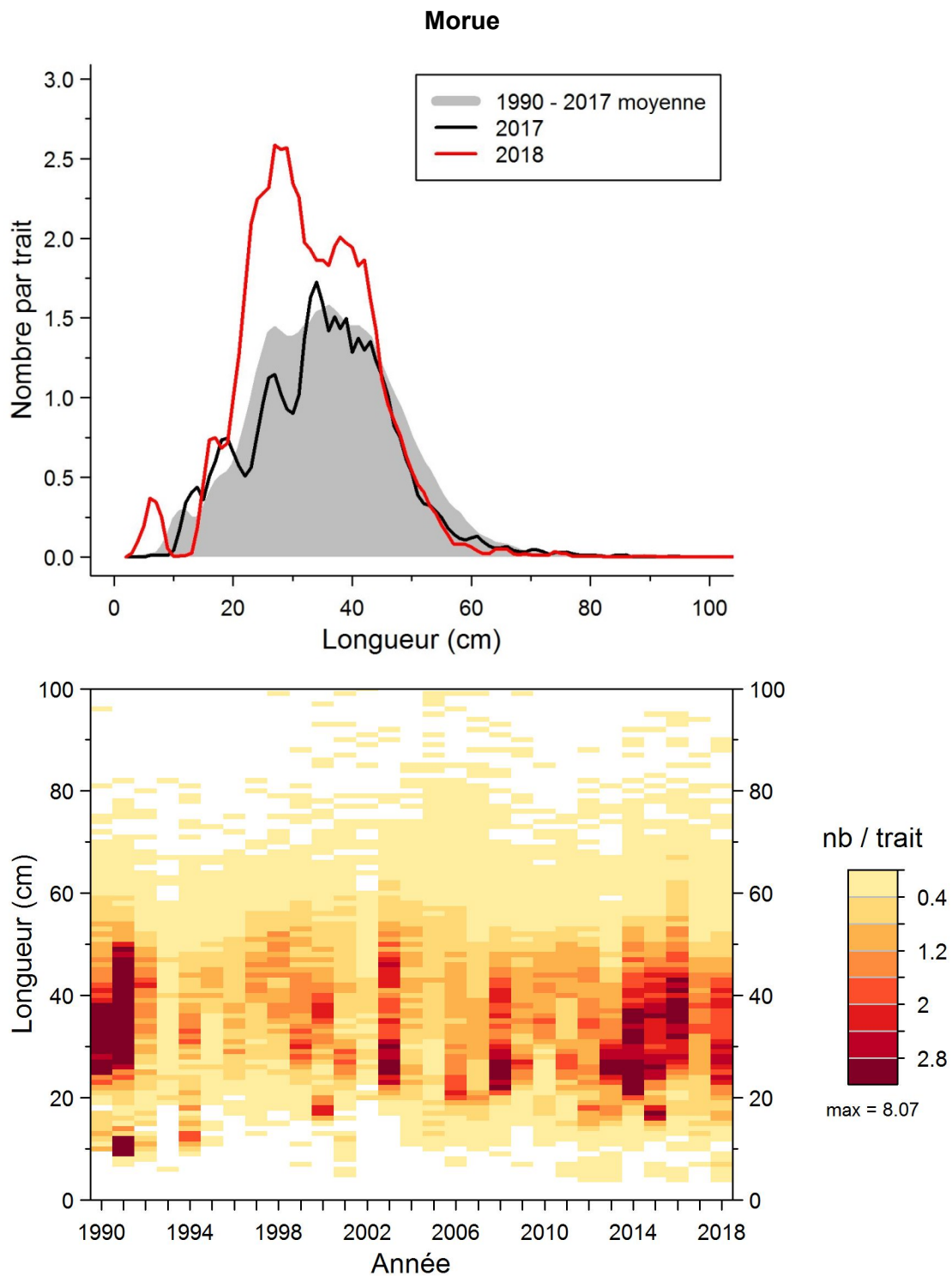


Figure 33. Distributions des fréquences de longueur (nombre moyen par trait de 15 minutes) observées lors du relevé pour la morue dans 4RS.

Morue

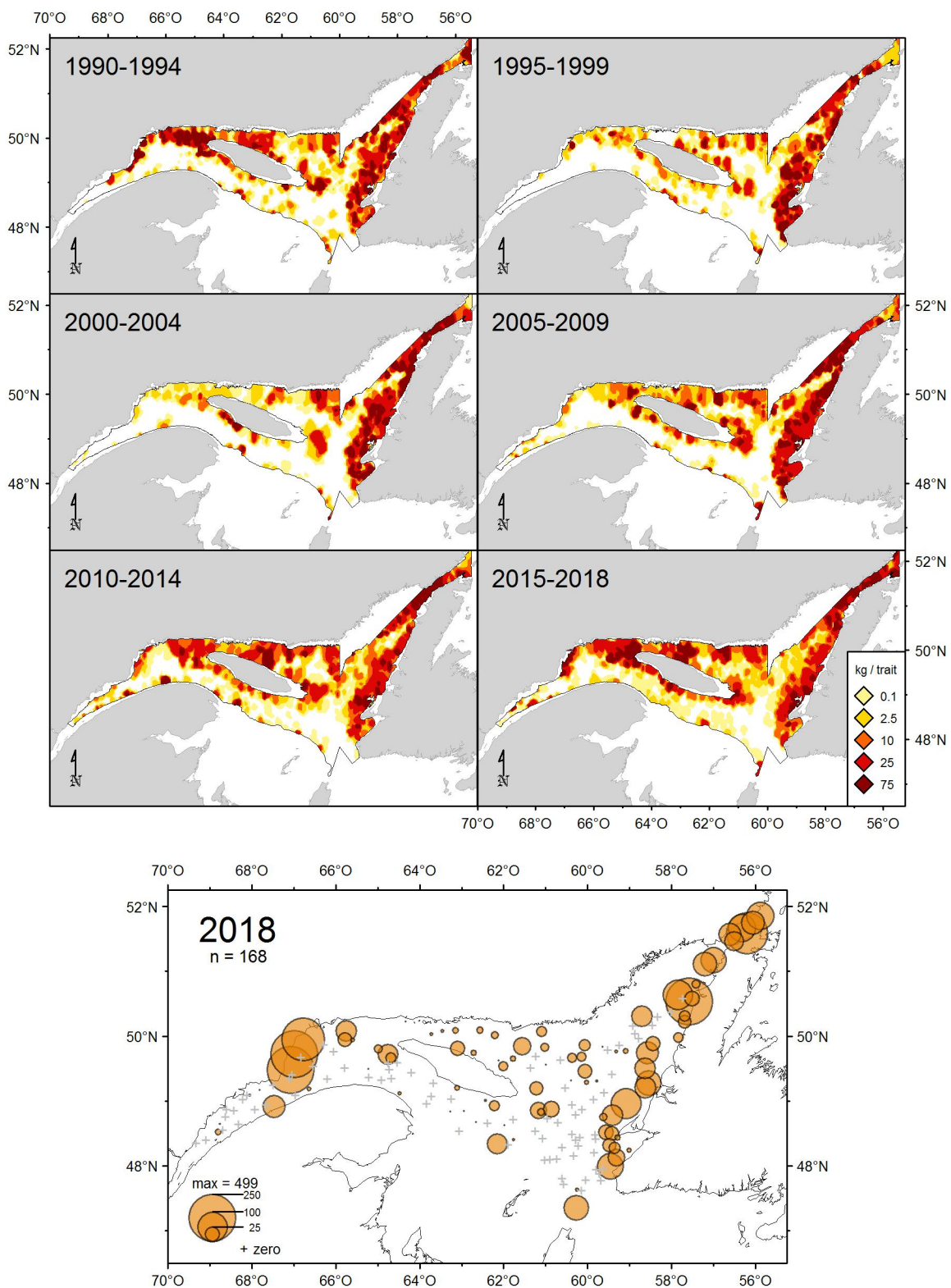


Figure 34. Distribution des taux de capture (kg/trait de 15 minutes) de morue.

Plie canadienne

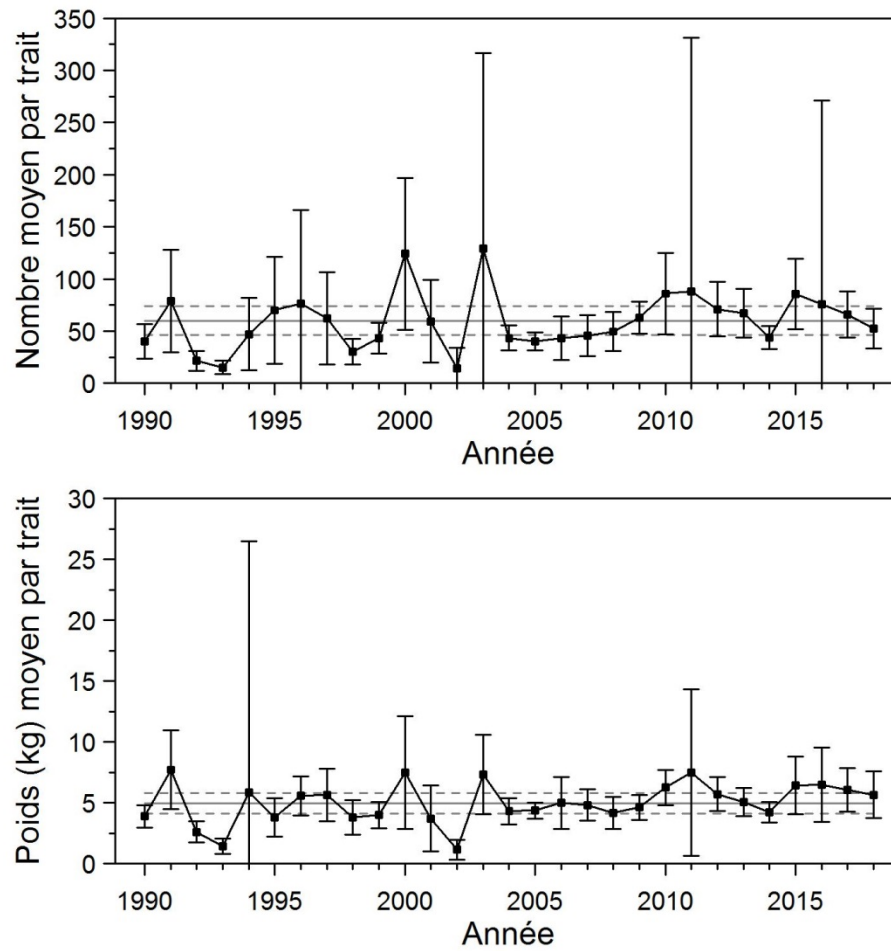


Figure 35. Nombres moyens et poids moyens par trait de 15 minutes observés lors du relevé pour la plie canadienne dans 4RST. Les barres d'erreur indiquent l'intervalle de confiance à 95 % et les lignes horizontales indiquent la moyenne de la période 1990-2017 (ligne pleine) et les limites de référence (voir texte) supérieure et inférieure (lignes pointillées).

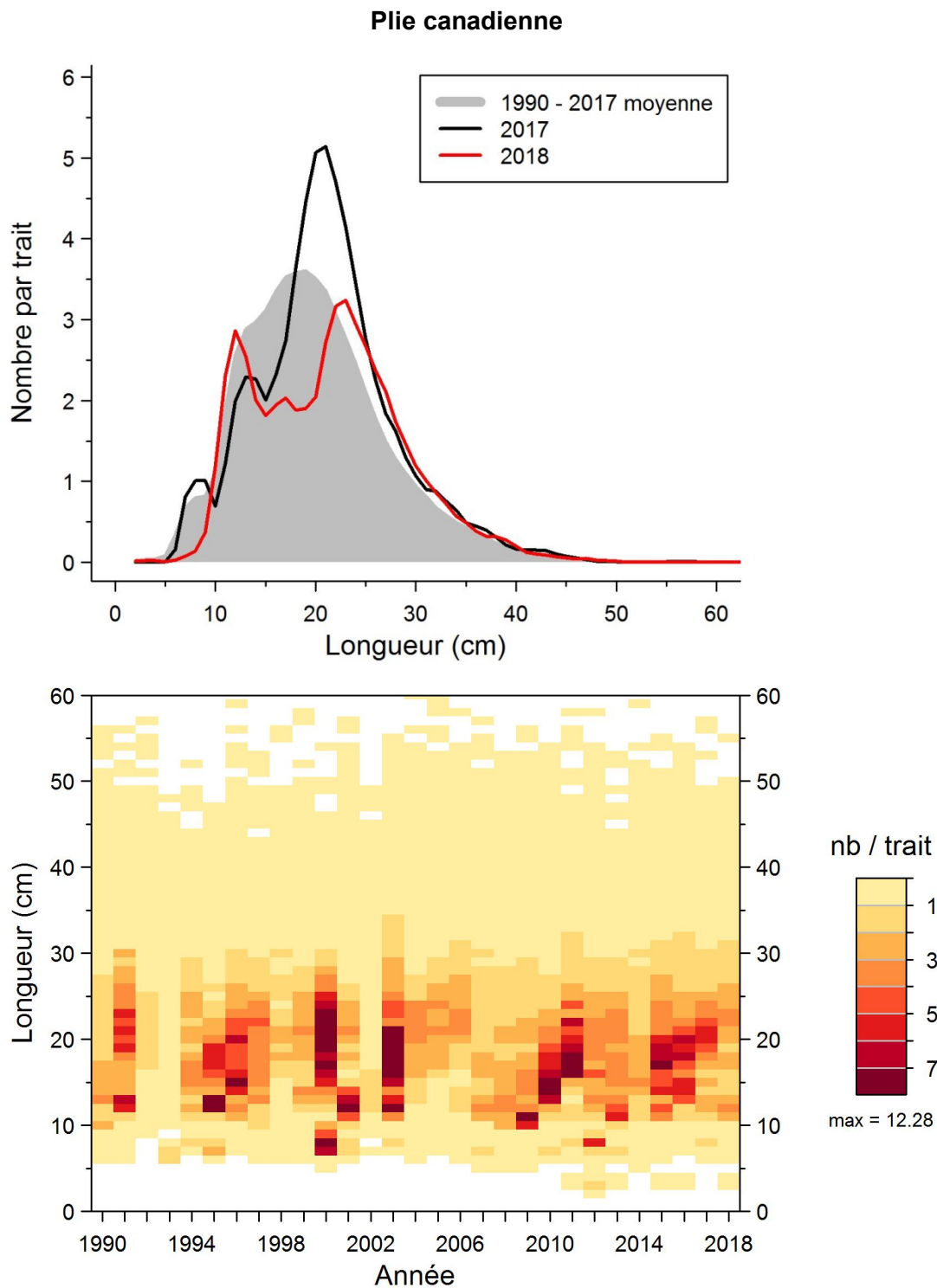


Figure 36. Distributions des fréquences de longueur (nombre moyen par trait de 15 minutes) observées lors du relevé pour la plie canadienne dans 4RST.

Plie canadienne

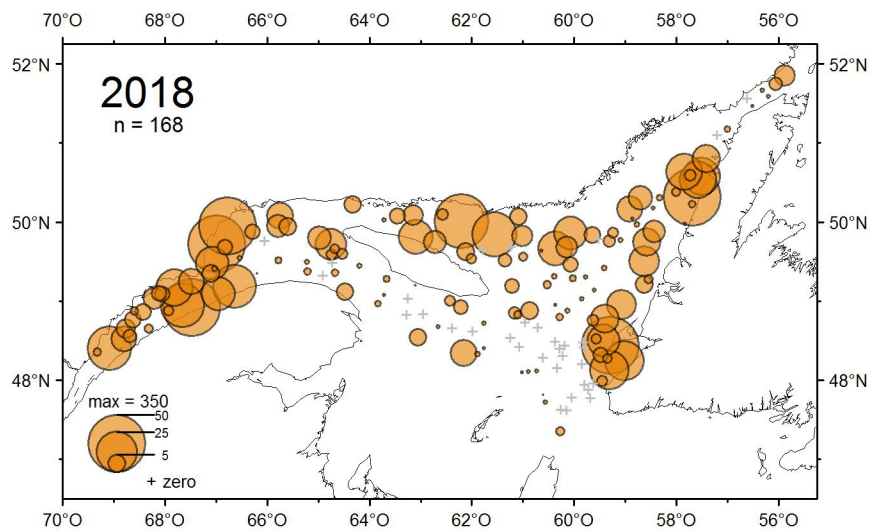
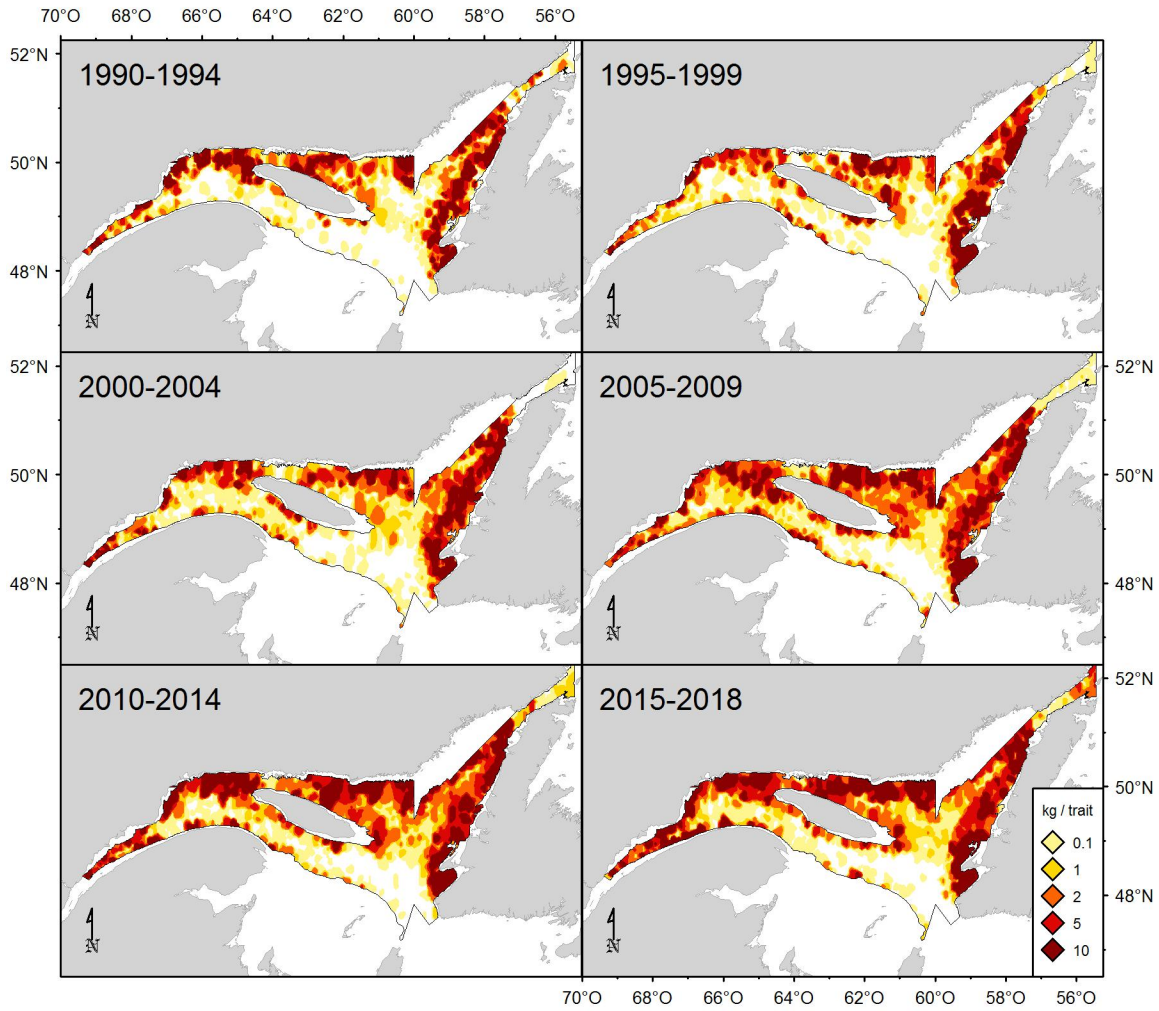


Figure 37. Distribution des taux de capture (kg/trait de 15 minutes) de plie canadienne.

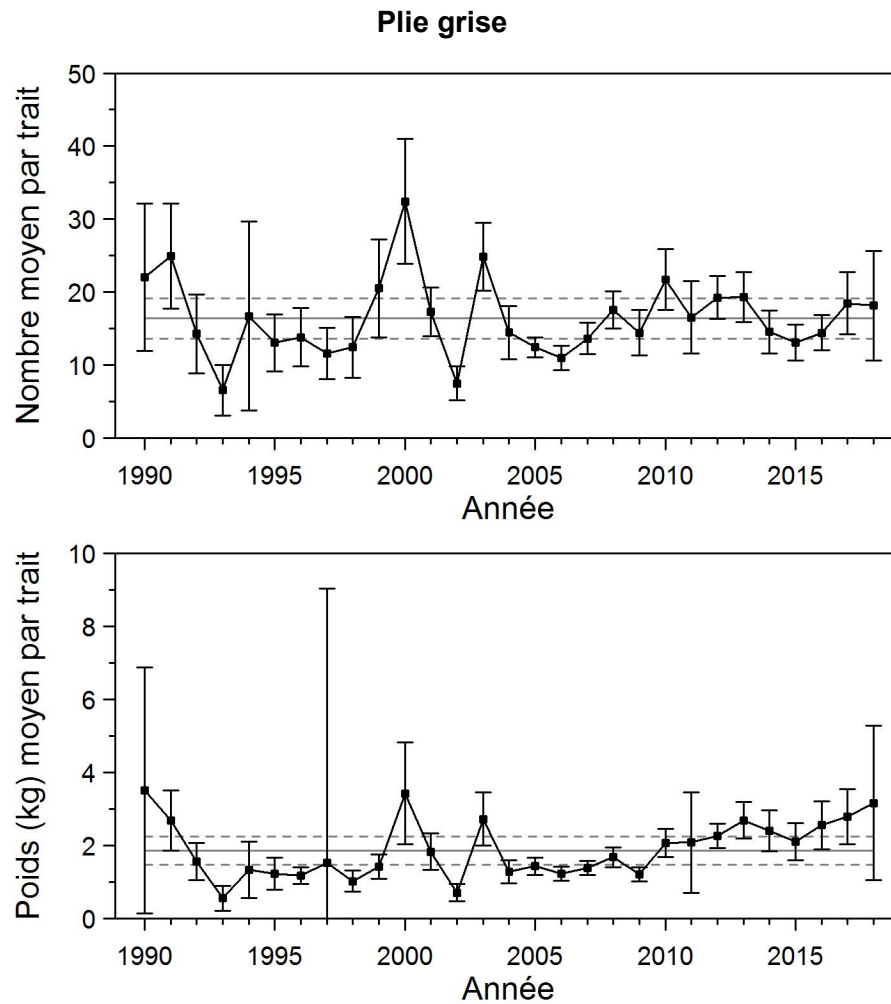
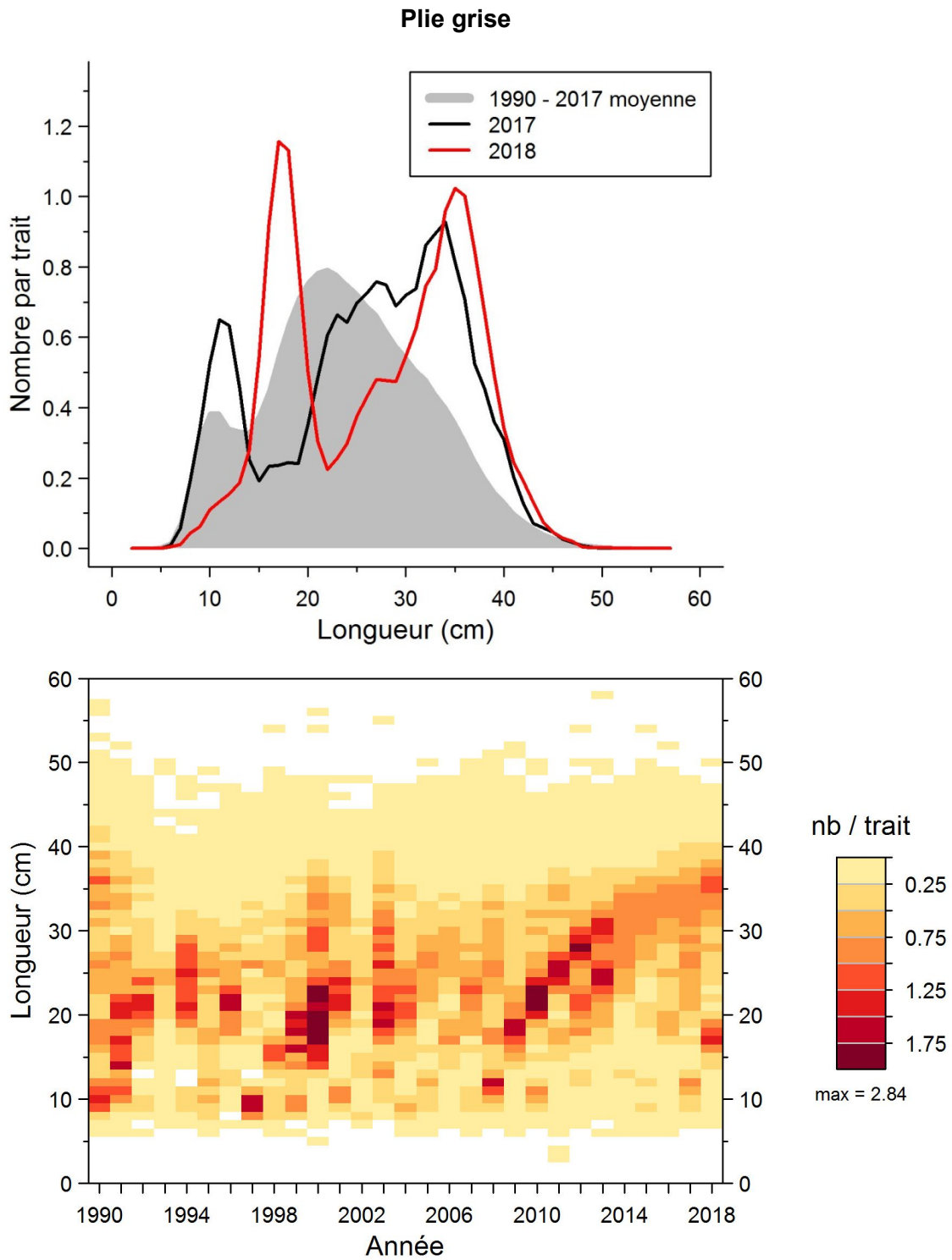


Figure 38. Nombres moyens et poids moyens par trait de 15 minutes observés lors du relevé pour la plie grise dans 4RST. Les barres d'erreur indiquent l'intervalle de confiance à 95 % et les lignes horizontales indiquent la moyenne de la période 1990-2017 (ligne pleine) et les limites de référence (voir texte) supérieure et inférieure (lignes pointillées).



Plie grise

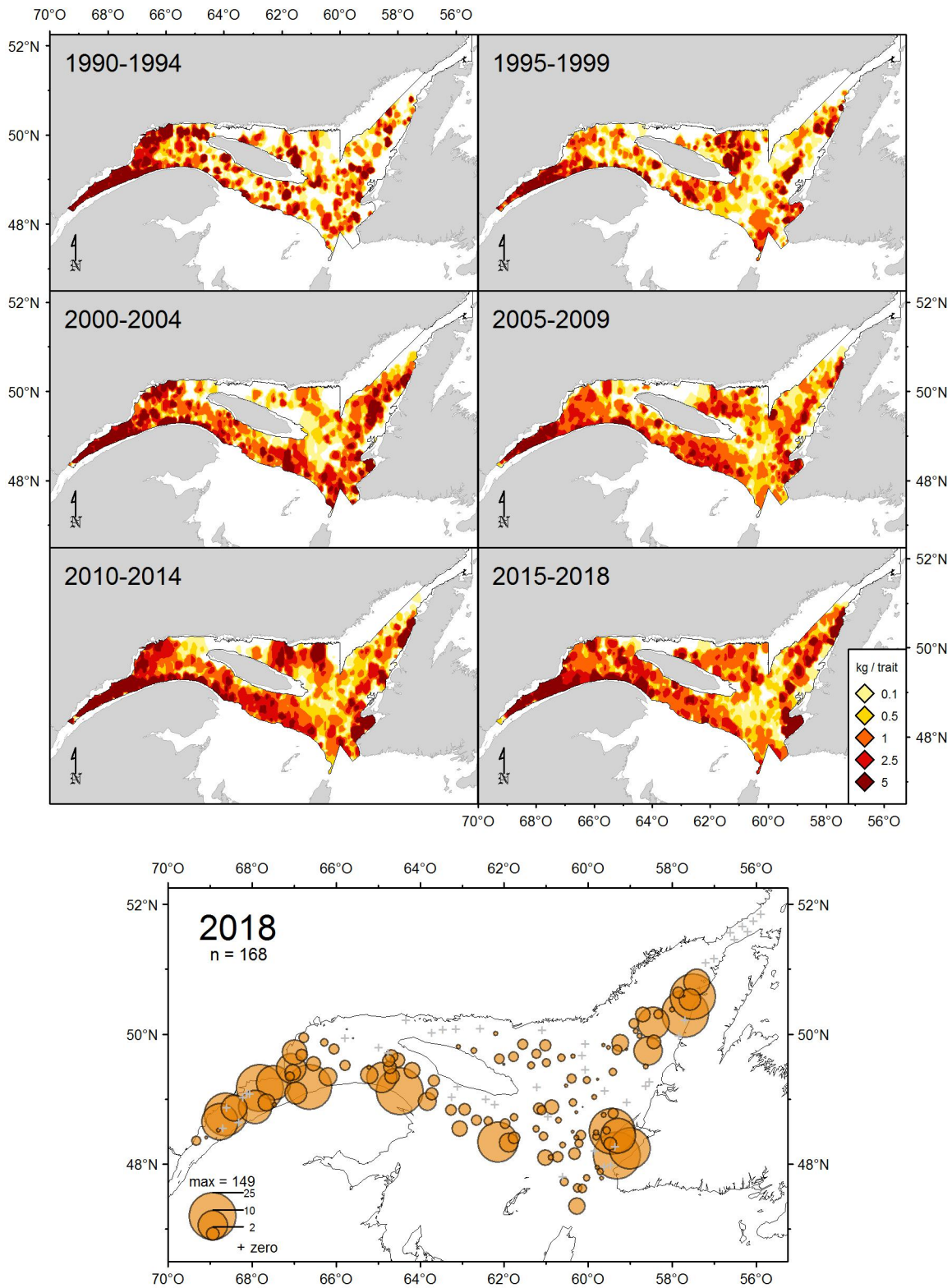


Figure 40. Distribution des taux de capture (kg/trait de 15 minutes) de plie grise.

Plume de mer (*Anthoptilum grandiflorum*)

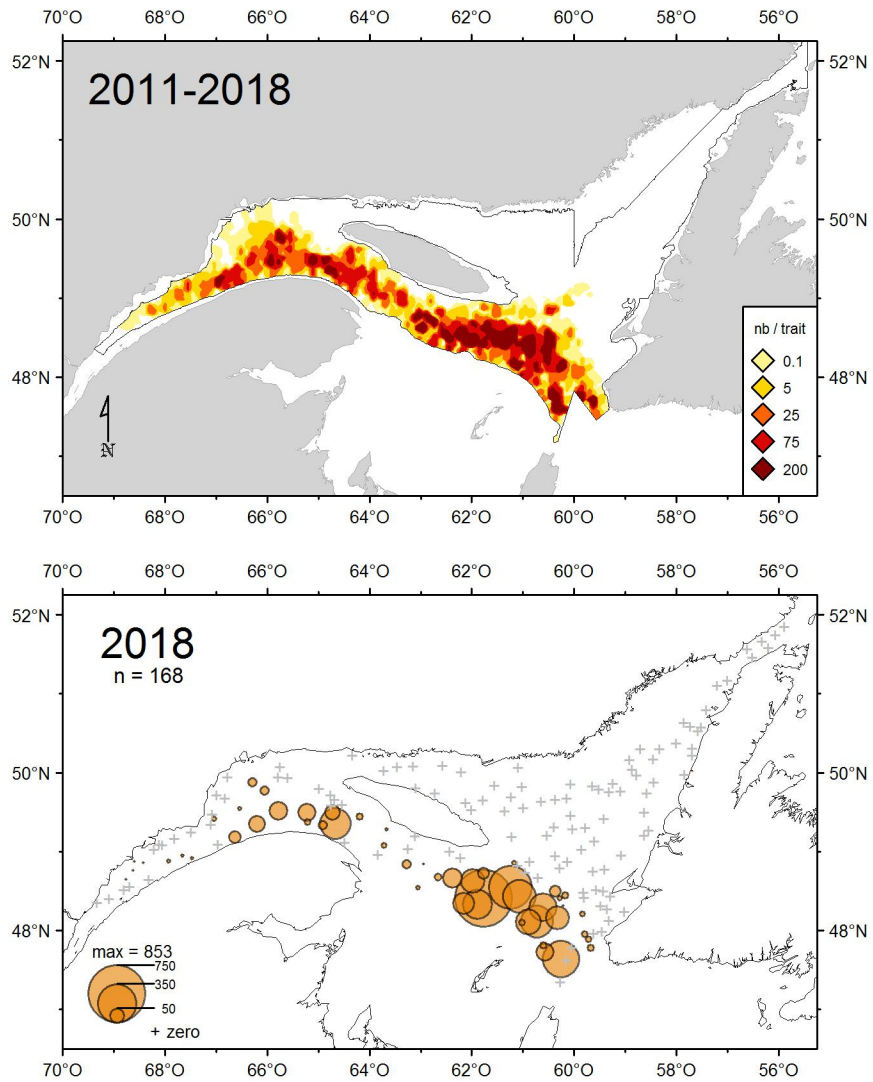


Figure 41. Distribution des taux de capture (nb/trait de 15 minutes) de la plume de mer *Anthoptilum grandiflorum*.

Plume de mer (*Halipteris finmarchica*)

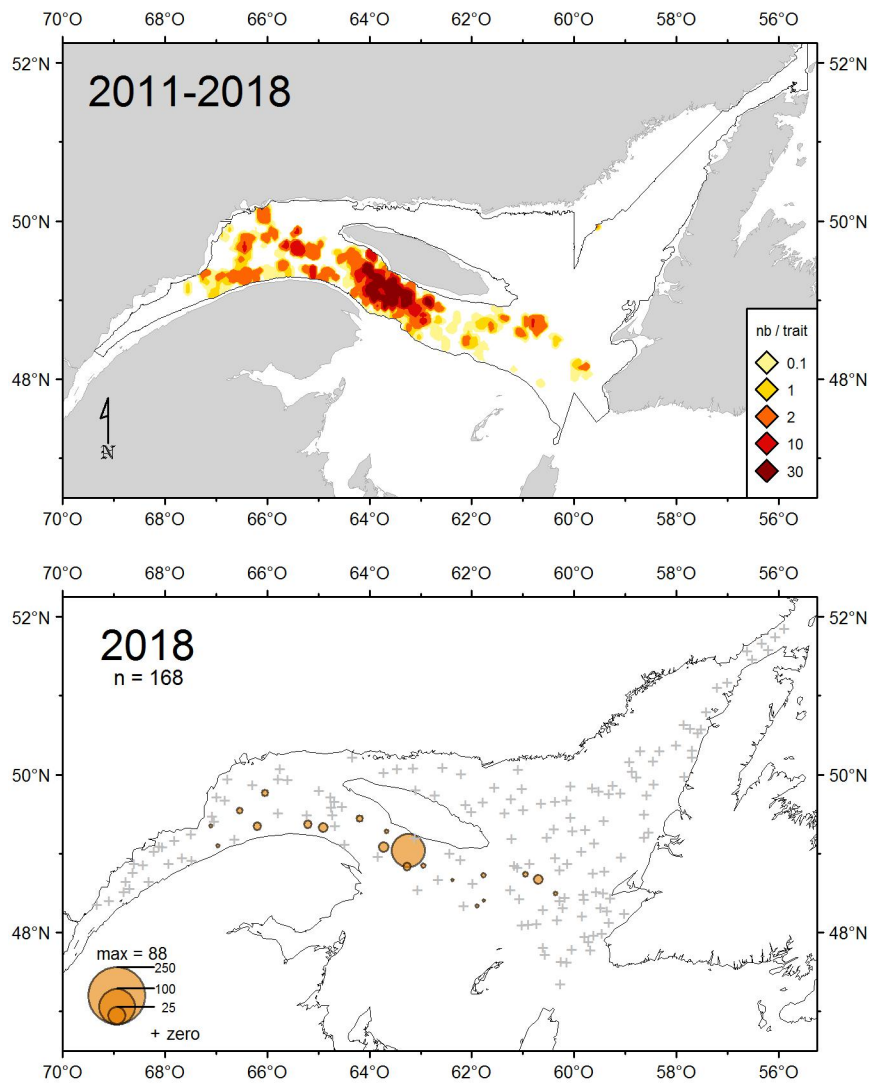


Figure 42. Distribution des taux de capture (nb/trait de 15 minutes) de la plume de mer *Halipteris finmarchica*.

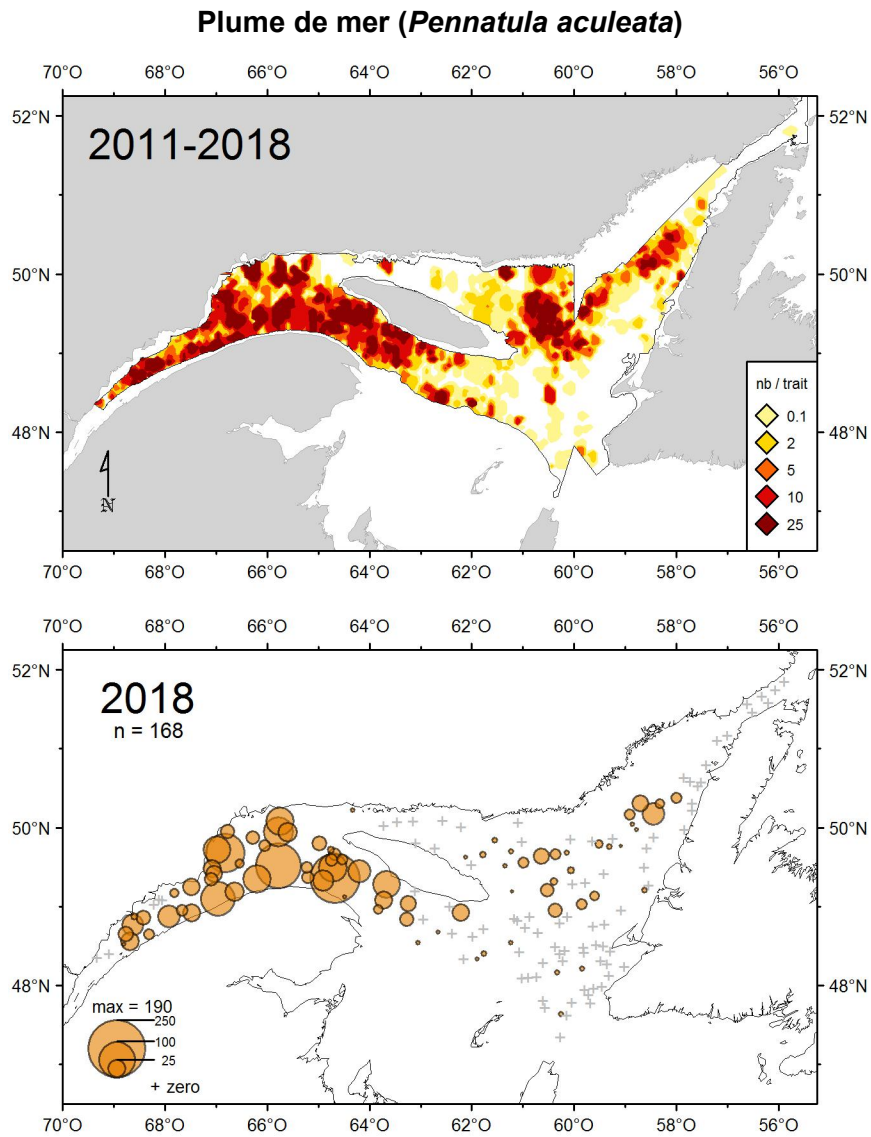


Figure 43. Distribution des taux de capture (nb/trait de 15 minutes) de la plume de mer *Pennatula aculeata*.

Plume de mer (*Pennatula grandis*)

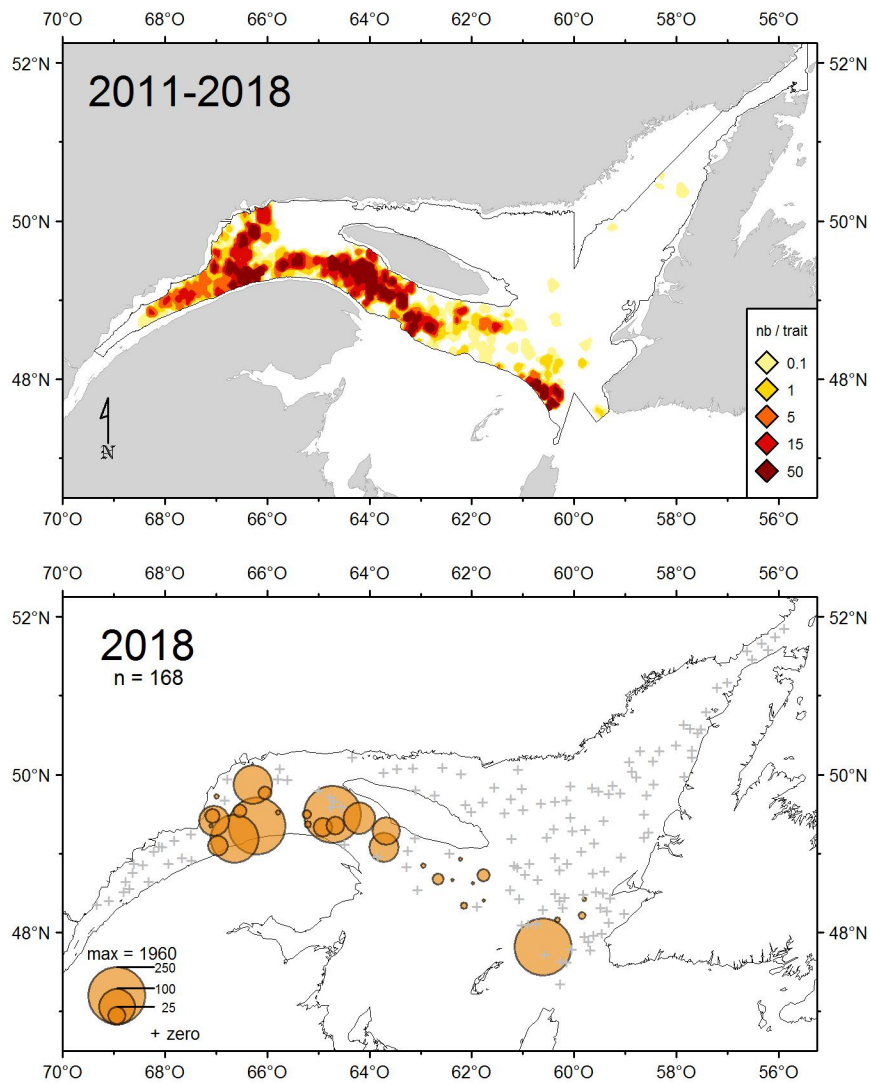


Figure 44. Distribution des taux de capture (nb/trait de 15 minutes) de la plume de mer *Pennatula grandis*.

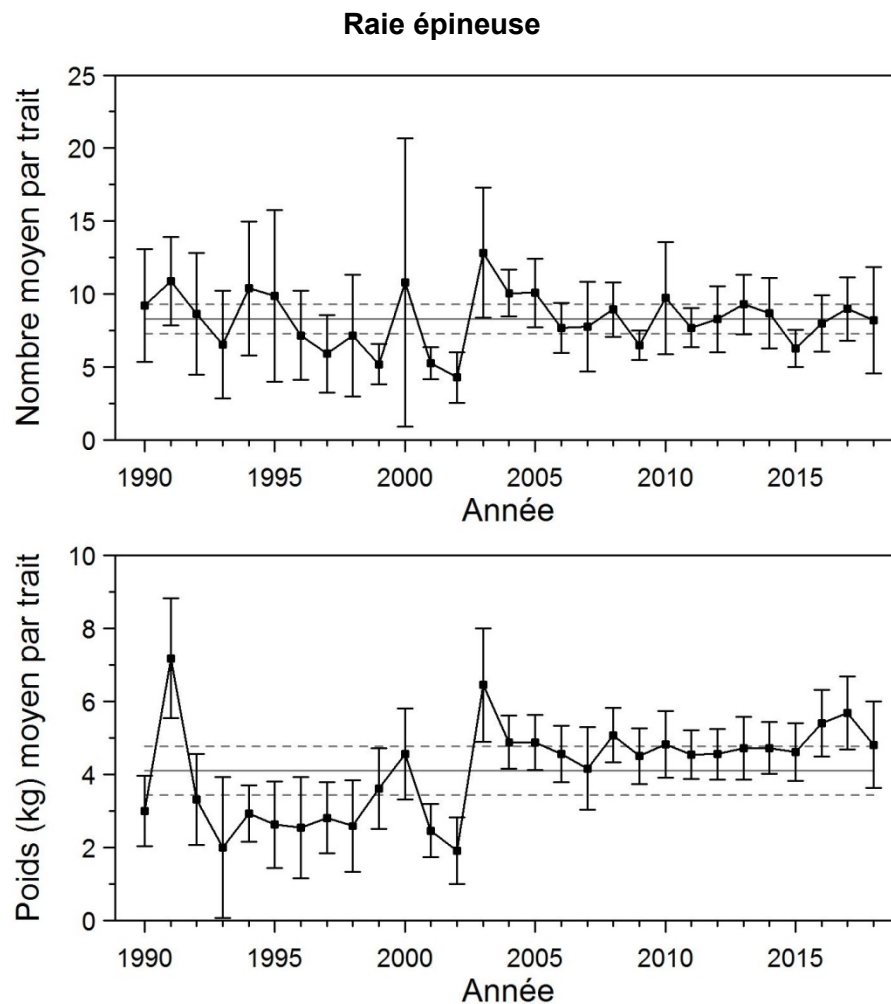


Figure 45. Nombres moyens et poids moyens par trait de 15 minutes observés lors du relevé pour la raie épineuse dans 4RST. Les barres d'erreur indiquent l'intervalle de confiance à 95 % et les lignes horizontales indiquent la moyenne de la période 1990-2017 (ligne pleine) et les limites de référence (voir texte) supérieure et inférieure (lignes pointillées).

Raie épineuse

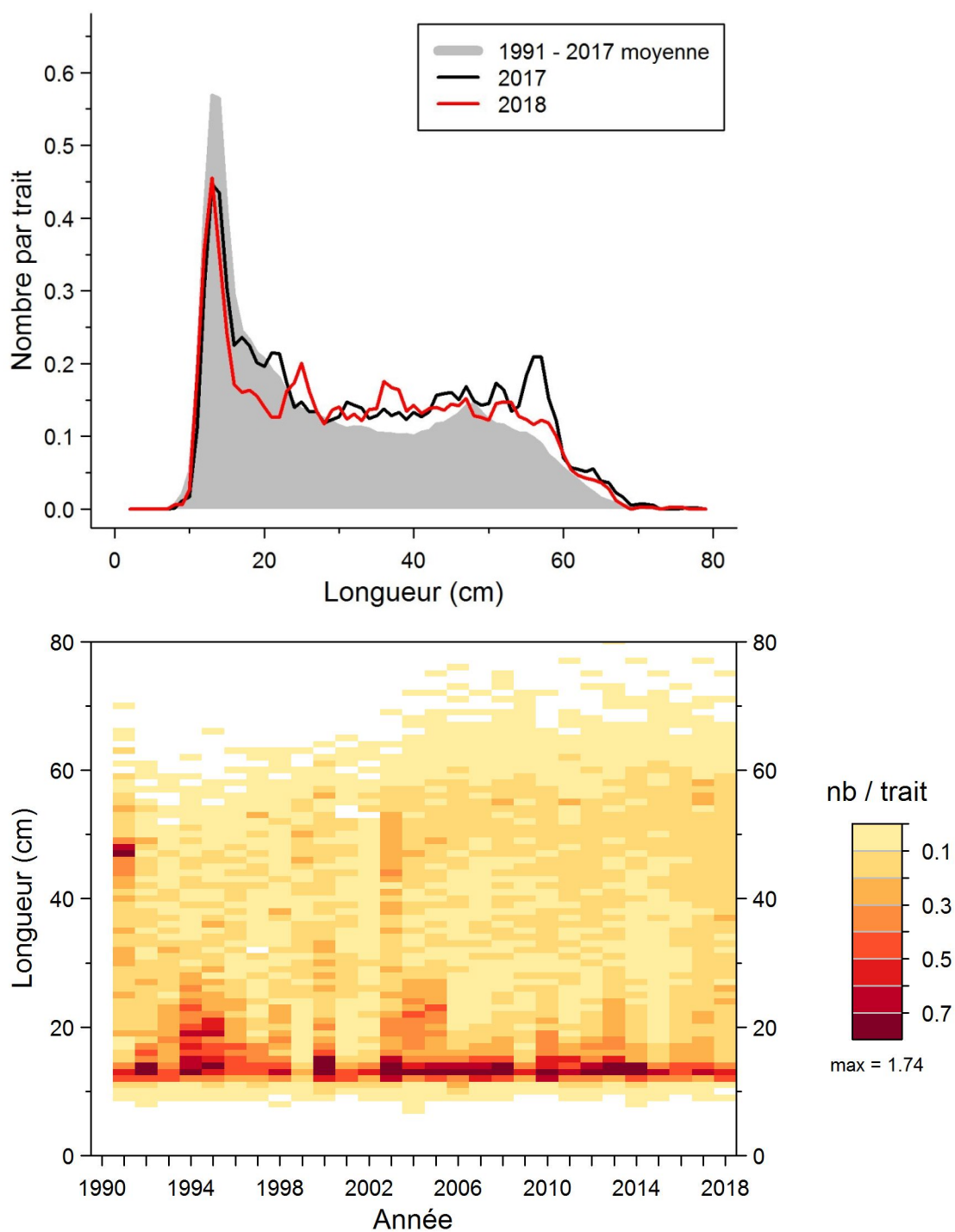


Figure 46. Distributions des fréquences de longueur (nombre moyen par trait de 15 minutes) observées lors du relevé pour la raie épineuse dans 4RST.

Raie épineuse

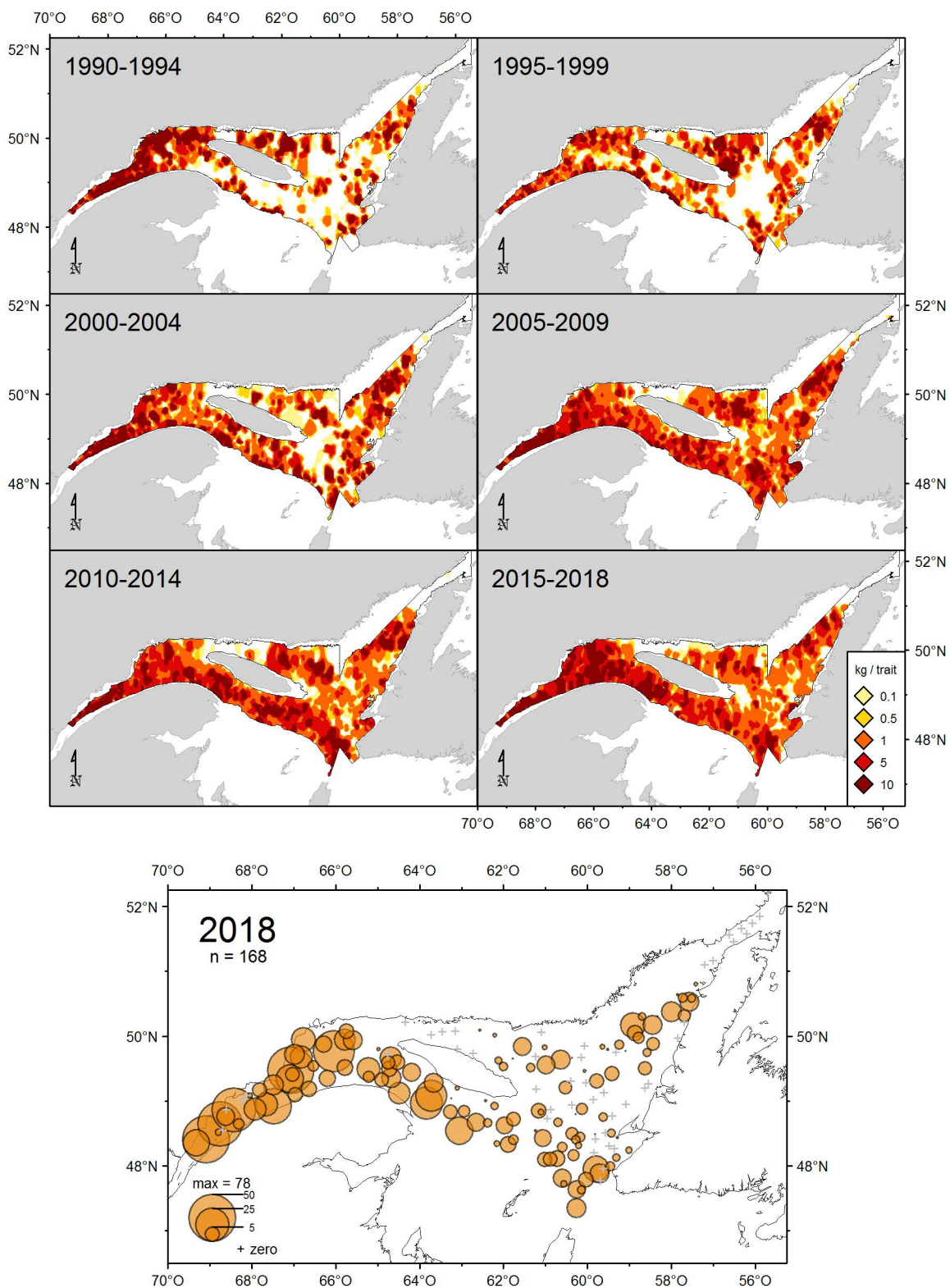


Figure 47. Distribution des taux de capture (kg/trait de 15 minutes) de raie épineuse.

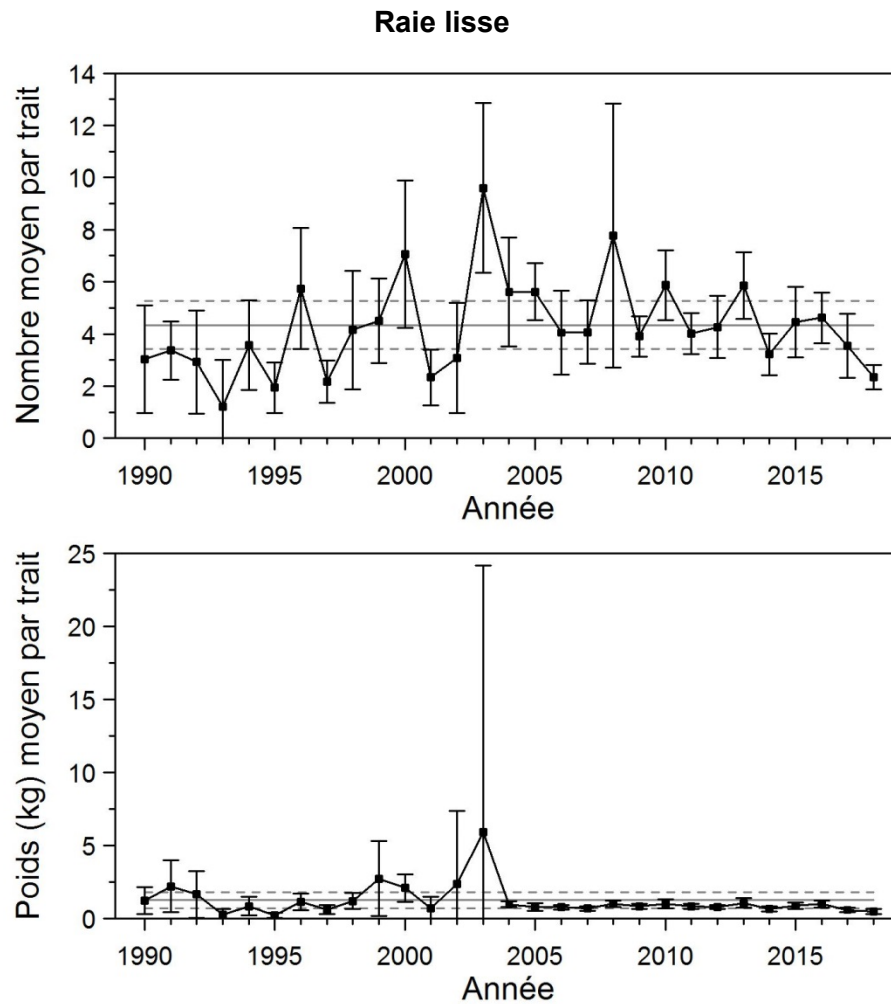


Figure 48. Nombres moyens et poids moyens par trait de 15 minutes observés lors du relevé pour la raie lisse dans 4RST. Les barres d'erreur indiquent l'intervalle de confiance à 95 % et les lignes horizontales indiquent la moyenne de la période 1990-2017 (ligne pleine) et les limites de référence (voir texte) supérieure et inférieure (lignes pointillées).

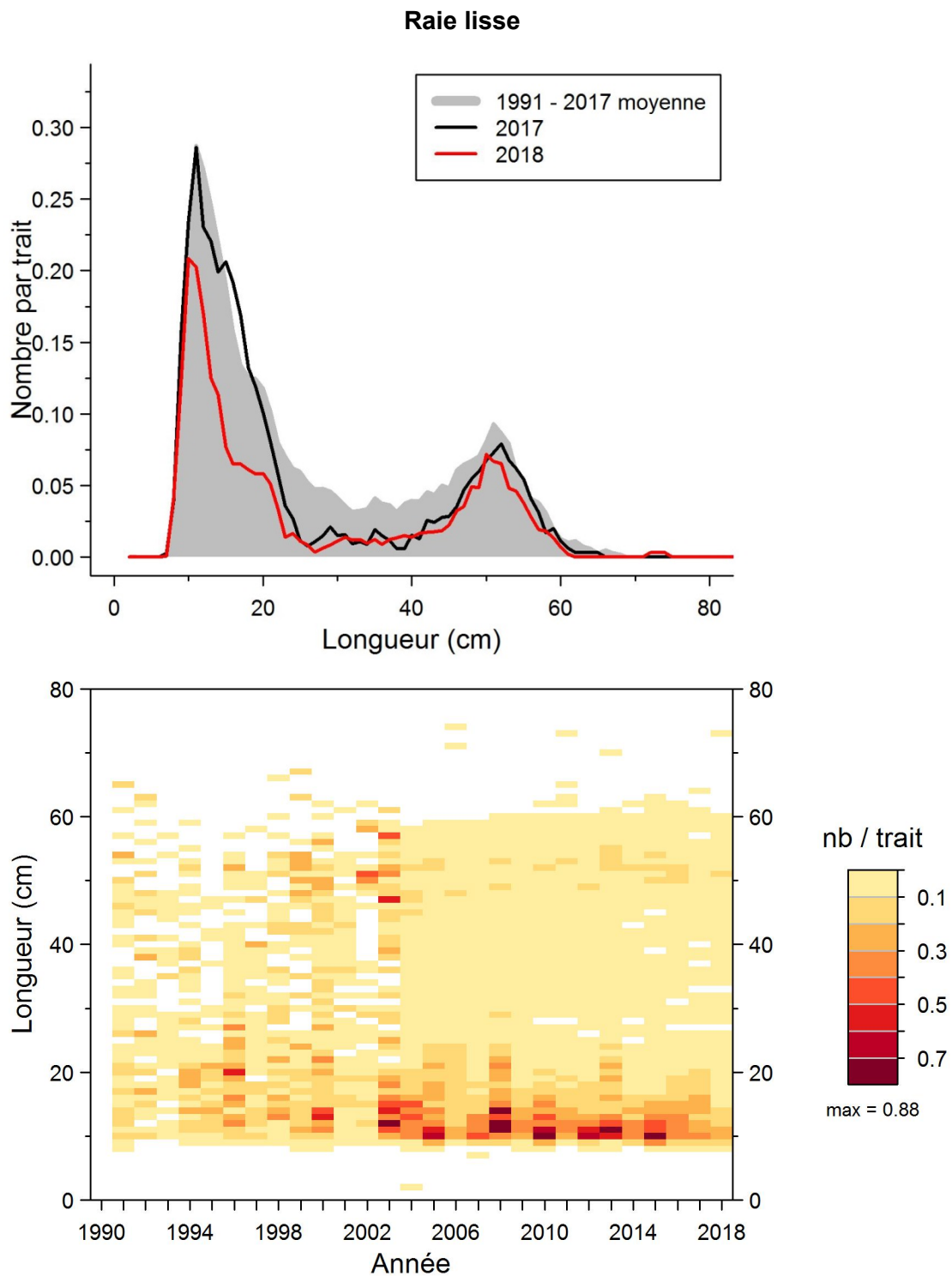


Figure 49. Distributions des fréquences de longueur (nombre moyen par trait de 15 minutes) observées lors du relevé pour la raie lisse dans 4RST.

Raie lisse

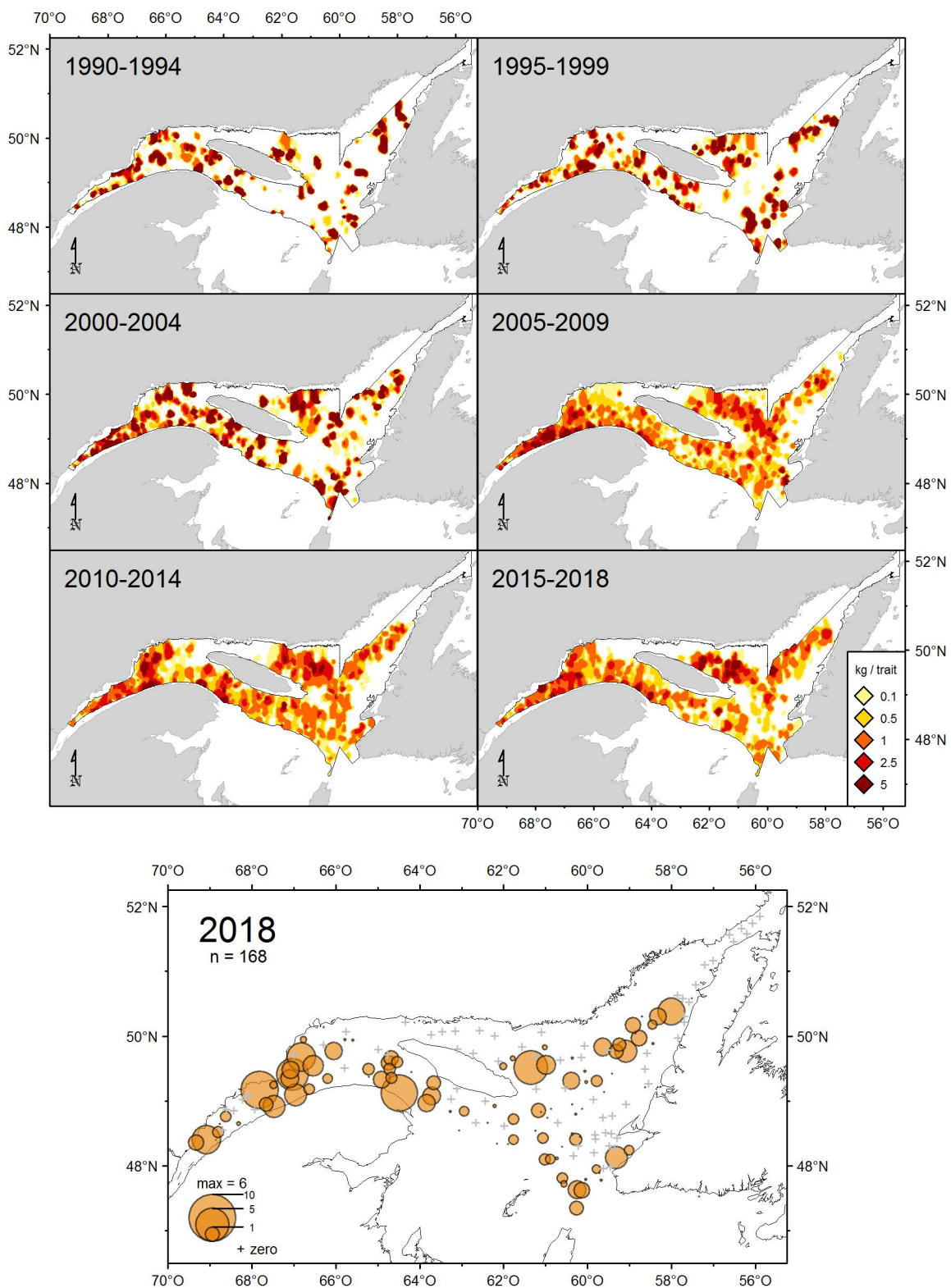


Figure 50. Distribution des taux de capture (kg/trait de 15 minutes) de raie lisse.

Sébaste acadien

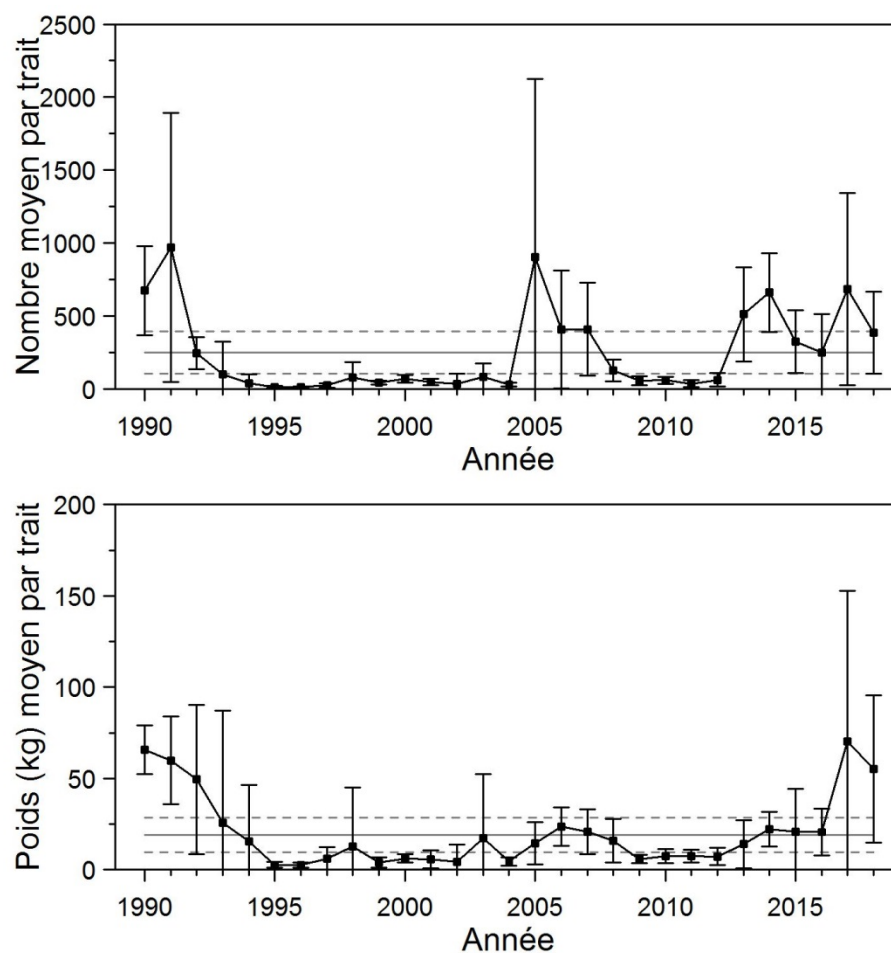


Figure 51. Nombres moyens et poids moyens par trait de 15 minutes observés lors du relevé pour le sébaste acadien dans 4RST. Les barres d'erreur indiquent l'intervalle de confiance à 95 % et les lignes horizontales indiquent la moyenne de la période 1990-2017 (ligne pleine) et les limites de référence (voir texte) supérieure et inférieure (lignes pointillées).

Sébaste acadien

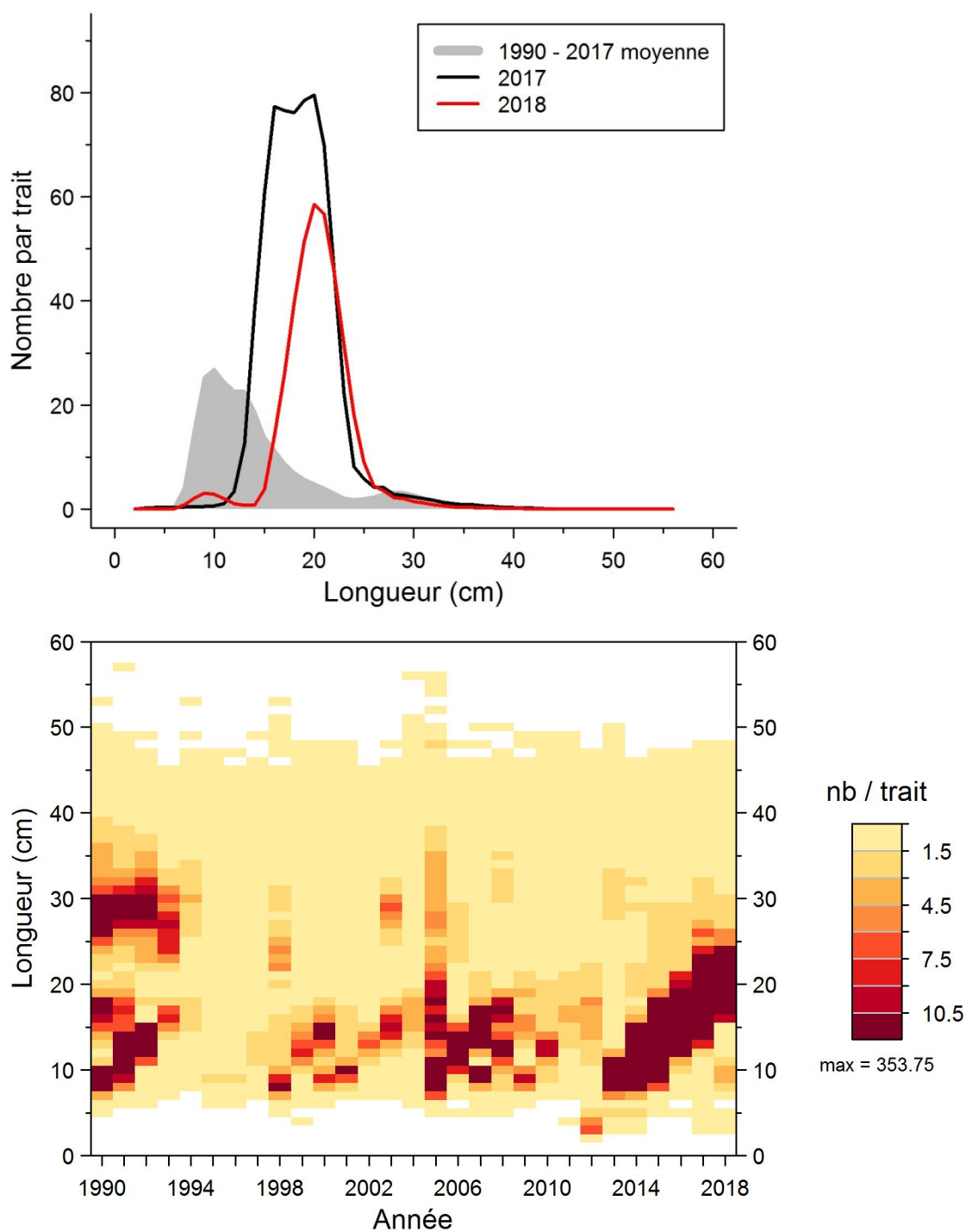


Figure 52. Distributions des fréquences de longueur (nombre moyen par trait de 15 minutes) observées lors du relevé pour le sébaste acadien dans 4RST.

Sébaste acadien

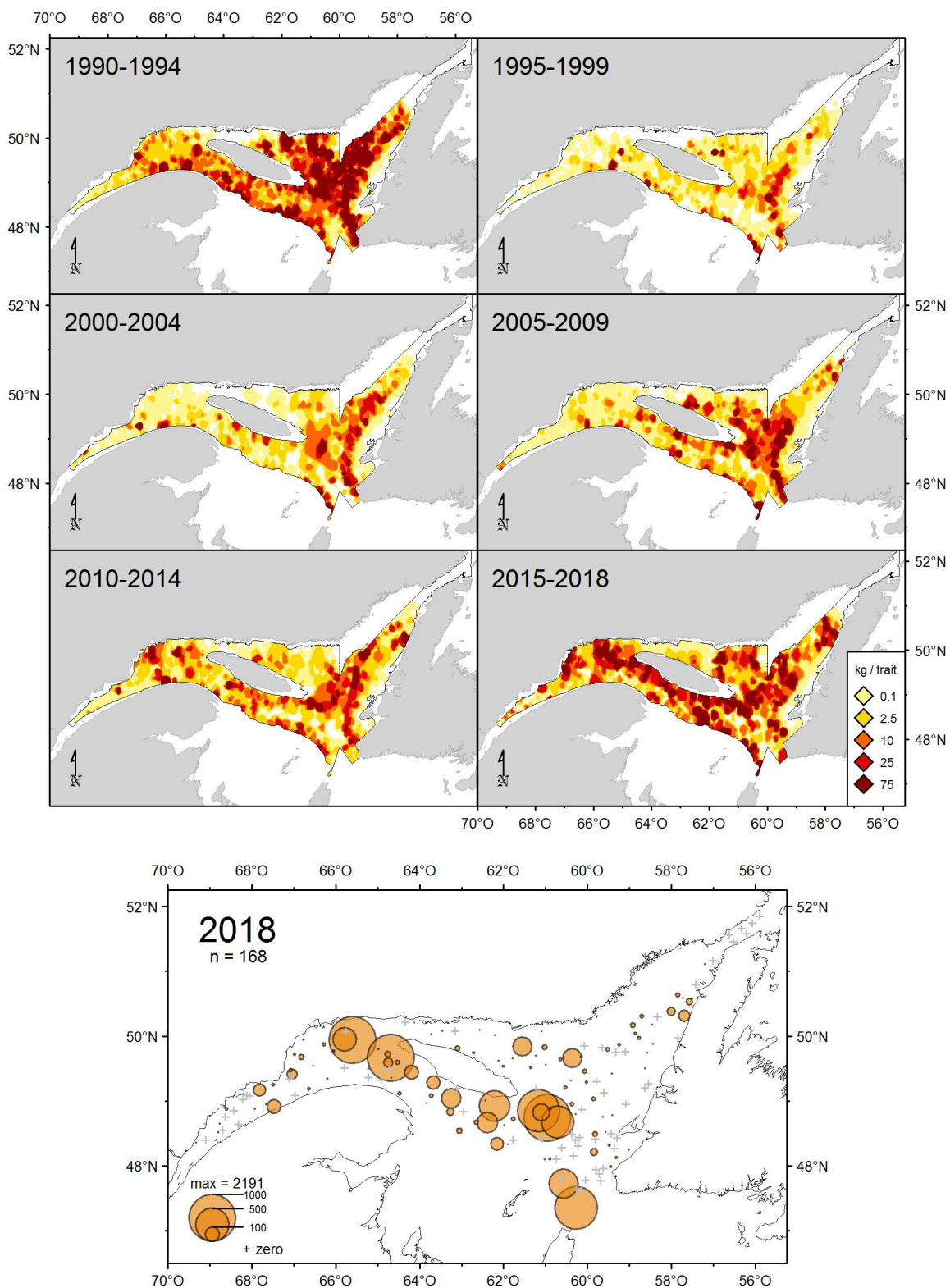


Figure 53. Distribution des taux de capture (kg/trait de 15 minutes) du sébaste acadien.

Sébaste atlantique

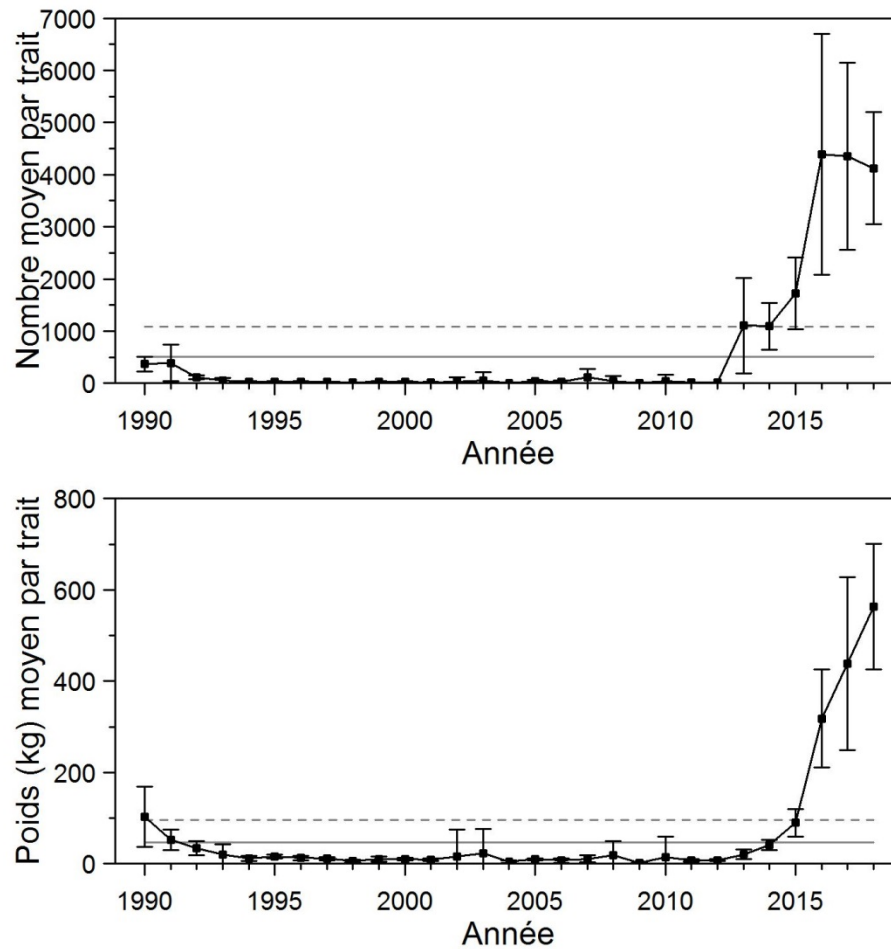


Figure 54. Nombres moyens et poids moyens par trait de 15 minutes observés lors du relevé pour le sébaste atlantique dans 4RST. Les barres d'erreur indiquent l'intervalle de confiance à 95 % et les lignes horizontales indiquent la moyenne de la période 1990-2017 (ligne pleine) et les limites de référence (voir texte) supérieure et inférieure (lignes pointillées).

Sébaste atlantique

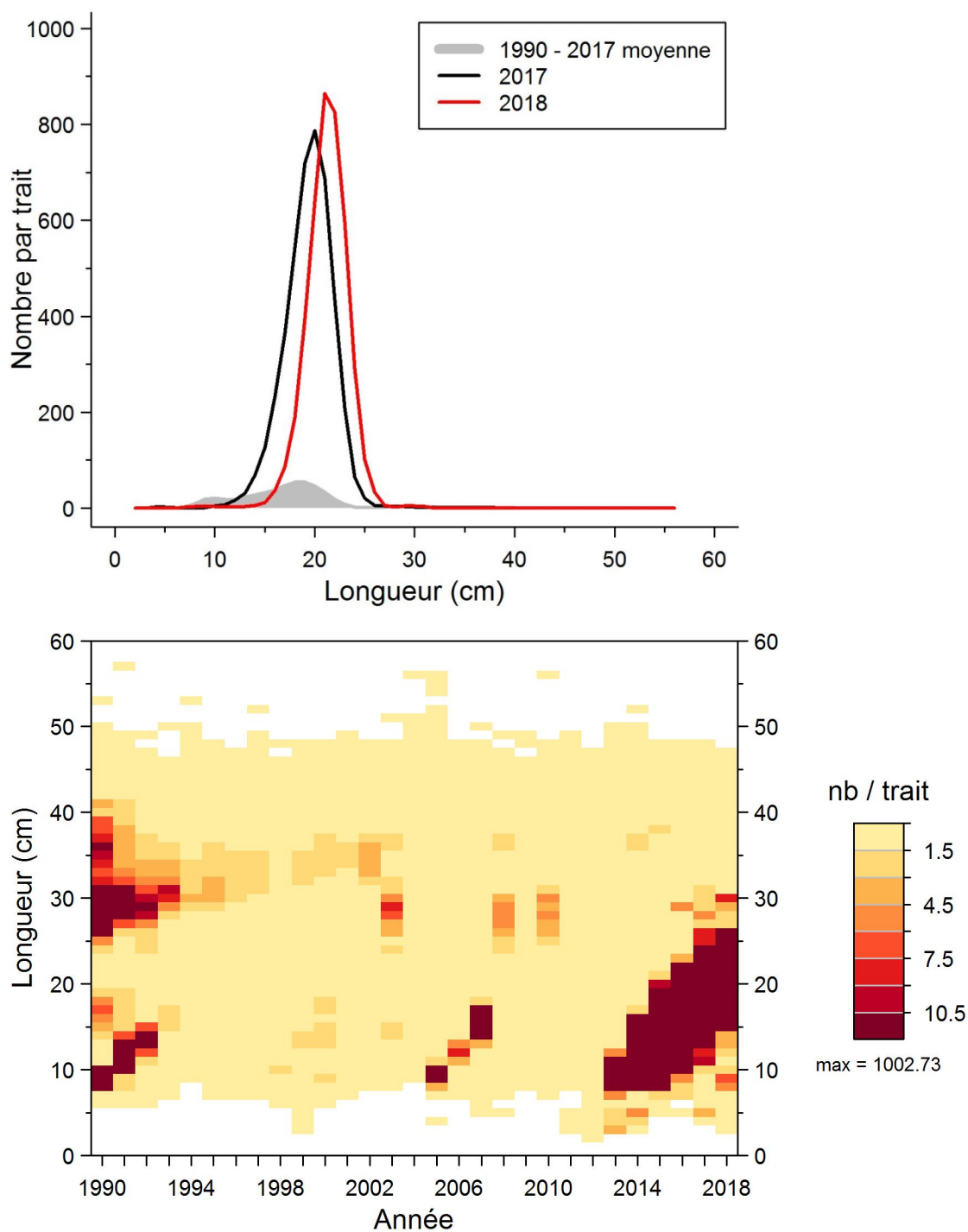


Figure 55. Distributions des fréquences de longueur (nombre moyen par trait de 15 minutes) observées lors du relevé pour le sébaste atlantique dans 4RST.

Sébaste atlantique

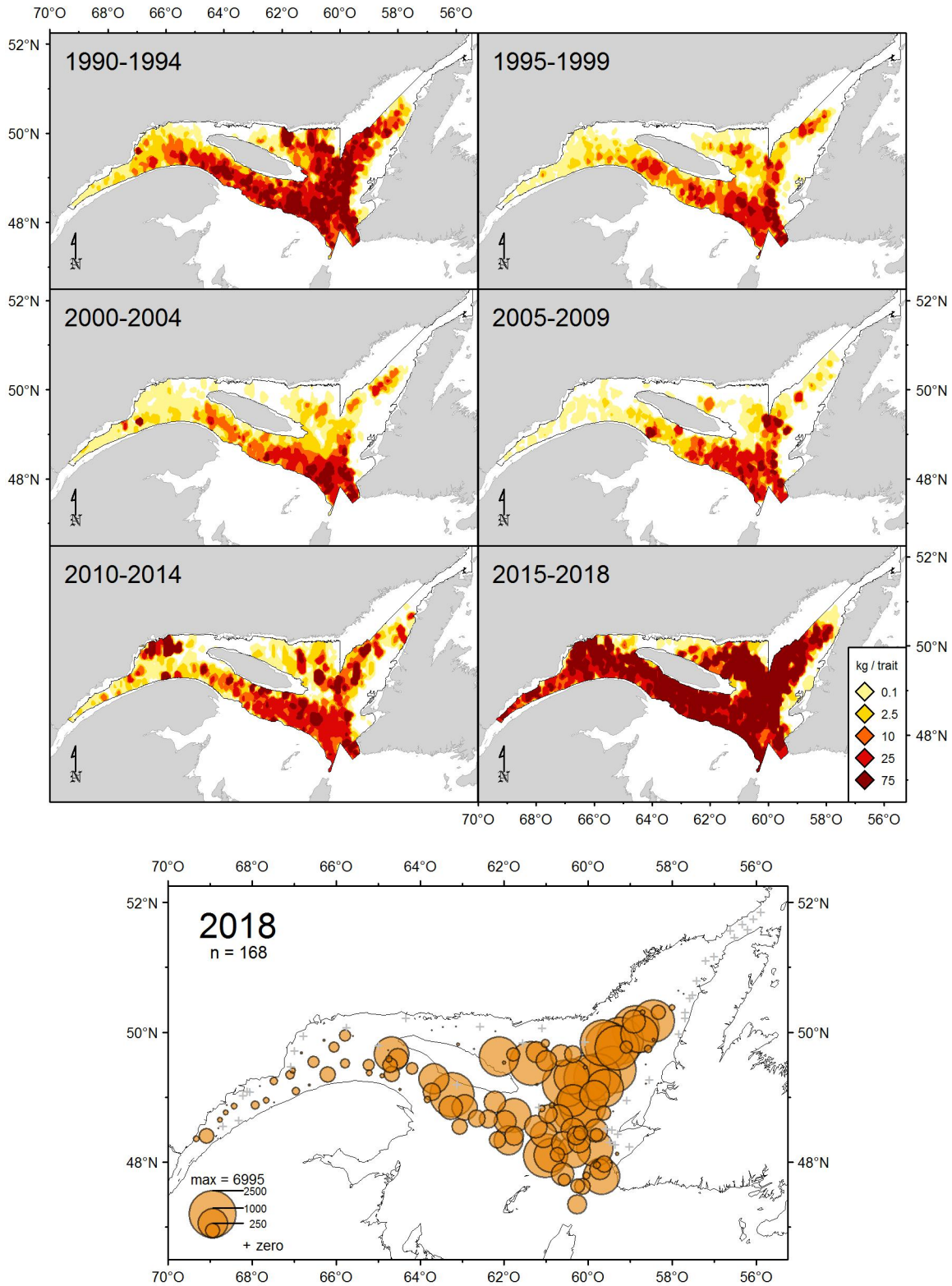


Figure 56. Distribution des taux de capture (kg/trait de 15 minutes) du sébaste atlantique.

Poissons

Argentiniformes, Argentinidae

<i>Argentina silus</i>	0.054	0.007	0.027	0.038	0.010	0.014	0.002	0.002	0.002	0.006	0.005	0.005	0.004	0.000	0.005	0.012	0.004	0.006	0.001	0.004	0.000	0.002	0.089	0.003	0.012	0.013	0.032	0.091	0.015 ± 0.021
------------------------	-------	-------	-------	-------	-------	-------	-------	-------	-------	-------	-------	-------	-------	-------	-------	-------	-------	-------	-------	-------	-------	-------	-------	-------	-------	-------	-------	-------	---------------

Aulopiformes, Paralepididae

<i>Arctozenus risso</i>	0.04	0.09	0.07	0.02	0.12	0.30	0.24	0.29	0.10	0.10	0.12	0.19	0.06	0.09	0.16	0.14	0.10	0.005	0.006	0.27	0.41	0.14	0.16	0.08	0.15	0.14	0.19	0.27	0.08	0.149 ± 0.092
-------------------------	------	------	------	------	------	------	------	------	------	------	------	------	------	------	------	------	------	-------	-------	------	------	------	------	------	------	------	------	------	------	---------------

Gadiformes, Gadidae

<i>Boreogadus saida</i>	0.00	0.00	0.00	0.02	0.01	0.25	0.05	0.02	0.01	0.00	0.00	0.00	0.00	0.00	0.00	0.00	0.00	0.00	0.00	0.00	0.00	0.00	0.00	0.00	0.00	0.00	0.00	0.00	0.00	0.023 ± 0.046
<i>Enchelyopus cimbrius</i>	0.40	0.81	0.34	0.02	0.36	0.01	0.32	0.77	0.28	0.01	0.71	0.10	0.84	0.03	0.03	0.03	0.03	0.03	0.03	0.03	0.03	0.03	0.03	0.03	0.03	0.03	0.03	0.03	0.03	0.379 ± 0.195
<i>Gadus morhua</i>	37.25	65.17	18.18	4.76	12.15	10.13	17.69	21.47	22.69	22.15	16.39	7.87	37.15	18.81	15.65	23.97	14.43	16.32	17.72	19.62	33.66	29.40	45.36	17.12	26.01	21.32	27.03	21.720 ± 12.332		
<i>Gadus ogac</i>	0.00	0.00	0.00	0.00	0.02	10.13	11.60	21.47	0.01	0.01	22.15	0.00	0.01	0.07	0.03	0.07	0.05	0.06	0.07	0.07	0.00	0.00	0.00	0.00	0.00	0.00	0.00	0.00	0.033 ± 0.033	
<i>Melanogrammus aeglefinus</i>	0.08	0.12	0.02	0.00	0.00	0.02	0.01	0.01	0.00	0.00	0.00	0.00	0.01	0.01	0.00	0.00	0.00	0.00	0.00	0.00	0.00	0.00	0.00	0.00	0.00	0.00	0.00	0.00	0.013 ± 0.026	
<i>Pollachius virens</i>	0.10	0.04	0.02	0.24	0.00	0.00	0.02	0.01	0.00	0.00	0.00	0.00	0.01	0.01	0.00	0.00	0.00	0.00	0.00	0.00	0.00	0.00	0.00	0.00	0.00	0.00	0.00	0.00	0.026 ± 0.046	
<i>Phycis chesteri</i>	1.45	1.29	0.68	0.37	0.65	0.04	0.43	0.59	0.63	0.59	0.77	0.53	0.58	0.38	0.38	0.48	0.26	0.30	0.29	0.29	0.15	0.32	0.44	0.44	0.44	0.44	0.44	0.44	0.531 ± 0.292	
<i>Urophycis tenuis</i>	2.59	1.52	0.60	0.88	1.23	0.82	1.53	0.89	1.54	1.73	0.77	0.99	1.18	1.33	1.17	0.57	0.98	1.05	0.82	0.82	1.33	1.52	1.52	2.43	2.28	2.39	1.61	1.551 ± 0.726		

Gadiformes, Macrouridae

<i>Nezumia bairdii</i>	1.83	4.01	1.08	0.70	1.83	0.80	0.37	0.96	0.99	1.02	0.44	0.40	0.86	0.38	0.88	0.50	0.50	0.50	0.50	0.50	0.50	0.50	0.50	0.50	0.50	0.50	0.50	0.50	0.50	0.848 ± 0.741
------------------------	------	------	------	------	------	------	------	------	------	------	------	------	------	------	------	------	------	------	------	------	------	------	------	------	------	------	------	------	------	---------------

Gadiformes, Merlucciidae

<i>Merluccius bilinearis</i>	0.016	0.055	0.010	0.002	0.011	0.000	0.005	0.002	0.003	0.005	0.023	0.007	0.015	0.005	0.004	0.000	0.032	0.269	0.033	0.285	0.128	0.510	0.283	0.185	0.084	0.169	0.243	0.088 ± 0.139
------------------------------	-------	-------	-------	-------	-------	-------	-------	-------	-------	-------	-------	-------	-------	-------	-------	-------	-------	-------	-------	-------	-------	-------	-------	-------	-------	-------	-------	---------------

Lophiiformes, Lophiidae

<i>Lophius americanus</i>	0.15	0.03	0.03	0.00	0.00	0.00	0.00	0.00	0.01	0.04	0.04	0.06	0.11	0.14	0.10	0.13	0.04	0.14	0.23	0.10	0.15	0.18	0.19	0.22	0.13	0.41	0.48	0.116 ± 0.119
---------------------------	------	------	------	------	------	------	------	------	------	------	------	------	------	------	------	------	------	------	------	------	------	------	------	------	------	------	------	---------------

Myxiniformes, Myxinidae

<i>Myxine glutinosa</i>	2.44	2.10	0.68	0.74	0.60	1.86	1.53	0.72	1.94	2.60	1.08	0.81	1.57	0.80	0.76	0.67	0.79	0.68	1.02	2.93	1.31	0.83	1.58	1.08	0.80	0.90	1.05	1.23	1.251 ± 0.638
-------------------------	------	------	------	------	------	------	------	------	------	------	------	------	------	------	------	------	------	------	------	------	------	------	------	------	------	------	------	------	---------------

Perciformes, Anarhichadidae

<i>Anarhichas lupus</i>	0.41	0.29	0.37	0.10	0.52	0.41	0.51	0.72	0.38	0.73	0.80	0.07	0.38	0.53	0.51	0.57	0.40	0.60	0.46	0.34	0.44	0.84	0.53	0.53	0.04	1.20	0.07	0.501 ± 0.238
<i>Anarhichas minor</i>	0.03	0.00	0.00	0.00	0.00	0.01	0.02	0.06	0.10	0.15	0.00	0.06	0.12	0.24	0.27	0.21	0.25	0.17	0.09	0.10	0.10	0.15	0.15	0.23	0.04	0.00	0.07	0.100 ± 0.092

Perciformes, Cryptacanthodidae

<i>Cryptacanthodes maculatus</i>	0.003	0.000	0.010	0.000	0.005	0.007	0.004	0.004	0.020	0.017	0.010	0.019	0.033	0.050	0.034	0.037	0.021	0.020	0.025	0.020	0.037	0.046	0.076	0.030	0.041	0.047	0.068	0.010	0.026 ± 0.022
----------------------------------	-------	-------	-------	-------	-------	-------	-------	-------	-------	-------	-------	-------	-------	-------	-------	-------	-------	-------	-------	-------	-------	-------	-------	-------	-------	-------	-------	-------	---------------

Perciformes, Stichaeidae

<i>Eumesogrammus praecisus</i>	0.004	0.003	0.004	0.000	0.009	0.000	0.004	0.016	0.026	0.017	0.014	0.026	0.180	0.150	0.088	0.099	0.056	0.052	0.022	0.131	0.080	0.098	0.034	0.034	0.057	0.068	0.054	0.088 ± 0.113	
<i>Leptoclinus maculatus</i>	0.001	0.000	0.004	0.000	0.008	0.050	0.017	0.016	0.003	0.003	0.002	0.001	0.004	0.023	0.147	0.092	0.131	0.072	0.062	0.031	0.021	0.022	0.031	0.034	0.057	0.047	0.068	0.019 ± 0.021	
<i>Lumpenus lampraeformis</i>	0.004	0.001	0.006	0.005	0.008	0.000	0.001	0.004	0.002	0.004	0.000	0.001	0.006	0.047	0.092	0.121	0.108	0.072	0.062	0.031	0.021	0.022	0.034	0.034	0.057	0.047	0.068	0.047 ± 0.060	
<i>Stichaeus punctatus</i>	0.000	0.000	0.000	0.000	0.000	0.000	0.000	0.000	0.000	0.000	0.000	0.000	0.000	0.000	0.001	0.000	0.000	0.000	0.001	0.000	0.000	0.000	0.000	0.000	0.000	0.000	0.000	0.000	0.000 ± 0.000

Figure 57. Poids moyens par trait de 15 minutes observés lors du relevé par taxon de poissons. Le code de couleur représente la valeur de l'anomalie qui correspond à la différence entre la PUE d'une année donnée et la moyenne de la PUE de la série chronologique pour chaque taxon, divisée par l'écart-type de cette moyenne.

Invertébrés

CNIDARIA

Anthozoa

Actiniaria,



Actiniaria, Actiniidae



Actiniaria, Actinostolidae



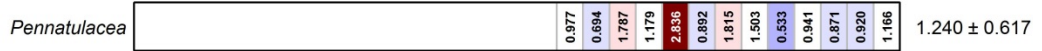
Actiniaria, Hormathiidae



Alcyonacea, Nephtheidae



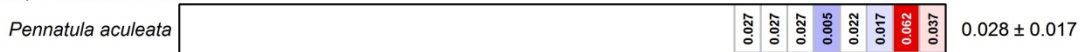
Pennatulacea,



Pennatulacea, Anthoptilidae



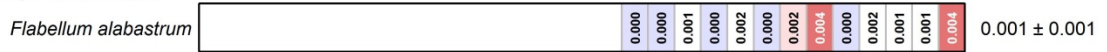
Pennatulacea, Pennatulidae



Pennatulacea, Virgulariidae



Scleractinia, Flabellidae



Hydrozoa

Hydrozoa,



Scyphozoa

Scyphozoa,



Figure 58. Suite.

Invertébrés

ECHINODERMATA

Asteroidea

Forcipulatida, Asteriidae



Paxillosida, Astropectinidae



Paxillosida, Ctenodiscidae



Paxillosida, Pseudarchasteridae



Valvatida, Poraniidae



Valvatida, Solasteridae



Valvatida, Goniasteridae



Velatida, Pterasteridae



Spinulosida, Echinasteridae



Echinoidea

Echinoidea, Camarodontae



Spatangoida, Schizasteridae



Holothuroidea

Dendrochirotida, Cucumariidae



Dendrochirotida, Psolidae



Ophiuroidea

Euryalida, Gorgonocephalidae



Figure 58. Suite.

Invertébrés

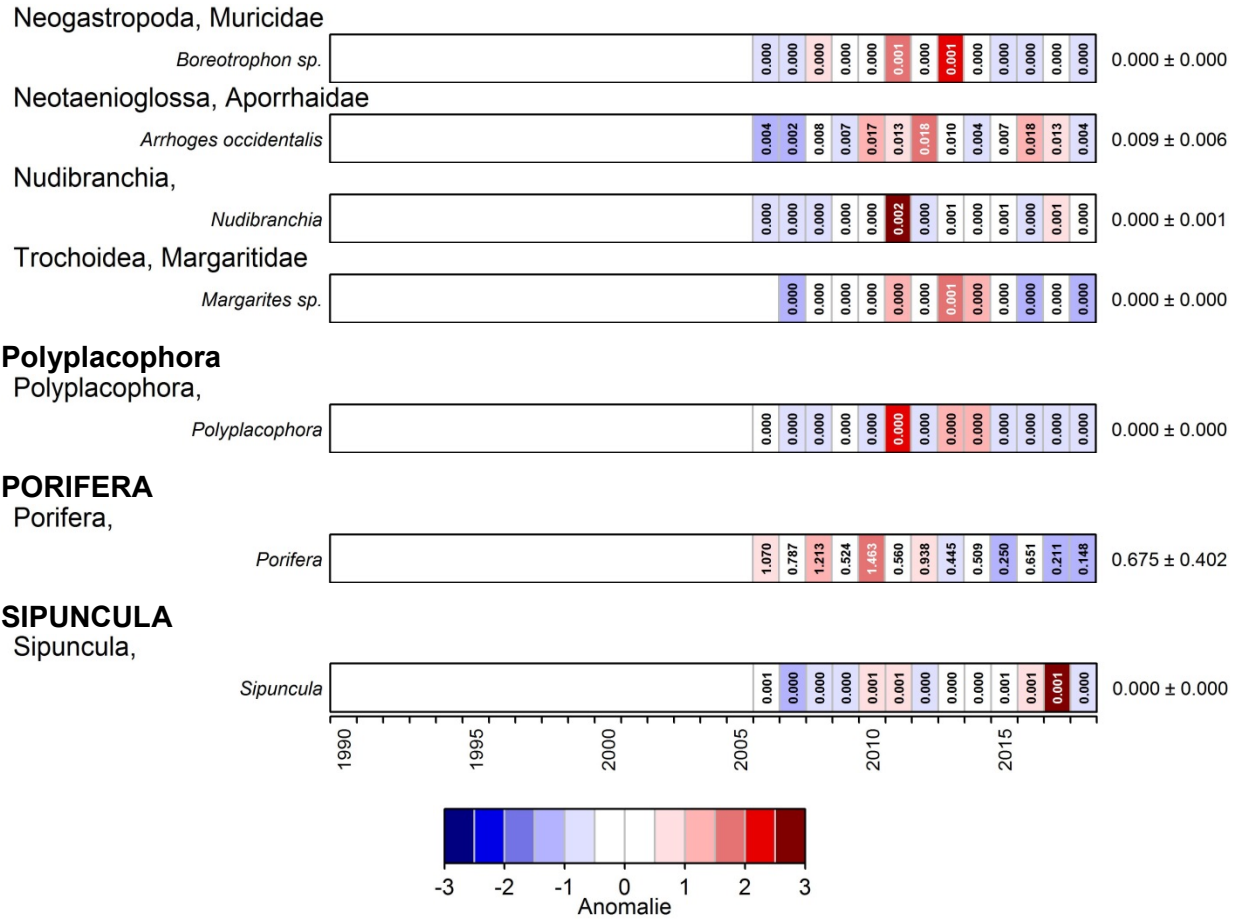


Figure 58. Suite.

Température de l'eau dans le golfe August/août 2018

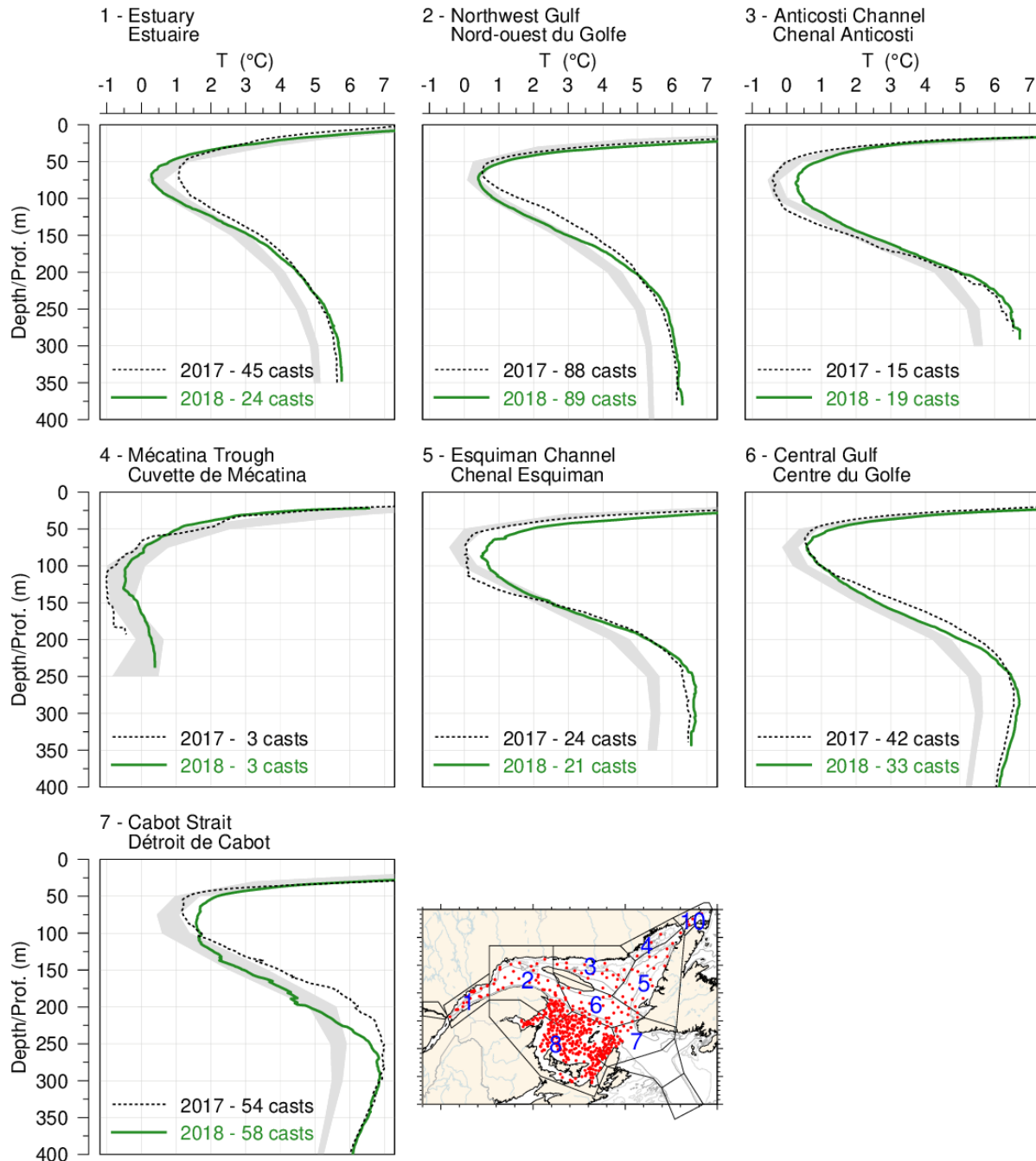


Figure 59. Profils de températures moyennées par région du golfe pour les données du relevé d'août 2018. Les ombragés indiquent la température moyenne climatologique 1981-2010 ± 0.5 écarts-types. Les profils moyens d'août et septembre 2017 ont aussi inclus pour comparaison.

Température de l'eau dans le golfe

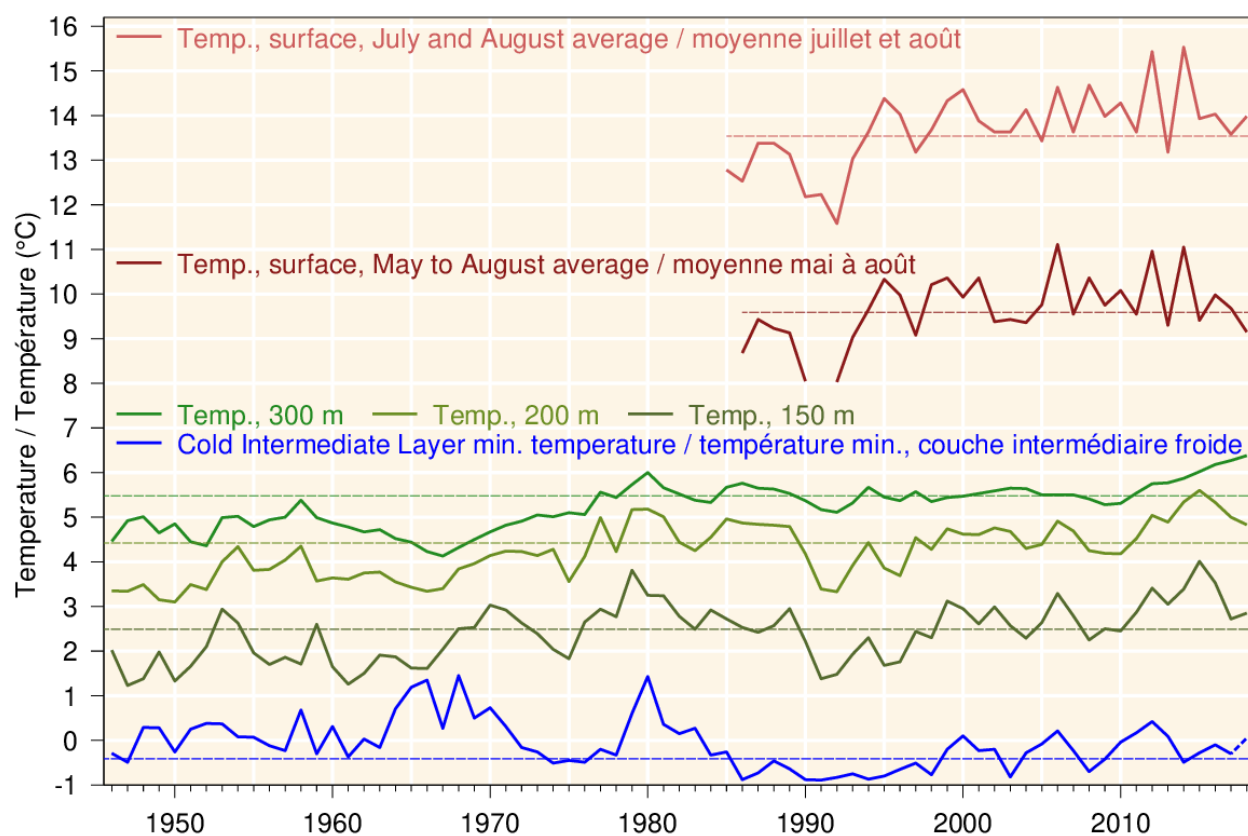


Figure 60. Températures de l'eau dans le golfe. Température de surface moyennée sur l'estuaire et le nord du golfe, juillet et août ainsi que de mai à août (1985–2018) (lignes rouges). Moyenne de température par couche, à 150, 200 et 300 m (lignes vertes). Indice de la température minimum de la couche intermédiaire froide, ajustée au 15 juillet avec la valeur de 2018 estimée à partir des données obtenues lors du relevé du mois d'août (ligne bleue).

ANNEXES

Annexe 1. Nombre de stations de pêche réussies par strate lors des relevés du MPO.

Strate	OPANO	Surface (km ²)	1990	1991	1992	1993	1994	1995	1996	1997	1998	1999	2000	2001	2002	2003	2004	2005	2006	2007	2008	2009	2010	2011	2012	2013	2014	2015	2016	2017	2018	
401	4T	545	3	4	4	4	3	3	3	3	3	3	3	3	3	3	3	6	3	3	3	3	0	3	3	2	2	3	2	2	2	
402	4T	909	3	5	5	3	3	1	3	2	3	5	3	3	3	2	0	3	3	3	3	3	3	3	3	2	3	2	2	2		
403	4T	1190	3	3	3	3	3	3	10	10	3	5	3	3	3	3	6	4	3	3	3	3	3	3	2	2	3	2	2	1		
404	4T	792	3	3	3	3	3	3	3	3	3	3	3	3	3	3	3	6	3	3	3	3	0	3	3	3	2	3	2	2	2	
405	4T	1478	3	3	3	3	3	3	3	2	4	4	4	3	3	2	9	3	3	3	3	3	3	3	3	3	2	3	2	2	2	
406	4T	2579	5	3	3	3	3	3	5	5	3	5	3	4	5	3	5	6	4	4	4	3	3	3	4	3	3	4	4	3		
407	4T	2336	5	3	3	3	3	3	3	3	2	3	3	3	3	5	3	5	3	3	3	3	0	3	3	2	4	4	2	3	4	
408	4T	2734	4	5	5	3	2	3	3	2	5	5	4	3	3	3	2	11	4	4	4	4	3	3	4	3	4	4	2	4	3	
409	4T	909	3	3	3	3	0	3	4	3	3	4	4	4	3	3	3	4	3	3	3	3	3	2	3	2	2	2	2	2		
410	4T	1818	2	3	3	3	4	6	10	6	5	4	4	4	5	3	6	3	3	3	3	3	3	3	3	3	3	3	3	3	2	
411	4T	1859	3	3	3	3	4	7	9	7	6	9	5	9	4	3	5	8	3	3	3	3	3	3	3	3	2	3	3	3	3	
412	4T	1283	3	3	3	3	4	5	3	3	3	4	4	4	3	3	2	5	3	3	3	3	3	3	3	3	2	2	2	2	2	
413	4T	731	3	4	3	3	0	3	3	4	3	4	4	4	3	3	1	5	3	3	3	3	3	3	2	2	2	2	2	2	2	
414	4T	388	3	2	3	3	1	3	3	3	3	4	4	4	3	3	3	6	3	3	2	1	3	3	2	3	2	2	2	0	2	
801	4R	1214	3	3	3	4	3	3	3	3	3	4	5	5	2	3	3	4	3	3	3	3	2	3	3	3	3	3	2	3	3	
802	4R	1369	3	3	3	3	3	3	3	3	3	3	3	3	2	8	3	8	2	3	3	3	0	3	3	3	3	3	2	3	3	
803	4S	6976	14	3	2	4	3	3	3	3	4	5	3	4	6	2	1	14	6	8	8	7	3	6	7	3	10	8	5	8	8	
804	4S	2490	5	4	3	3	4	3	3	3	3	3	3	6	3	2	3	10	3	3	3	3	3	3	3	4	4	4	4	4	3	
805	4S	5762	14	7	4	4	6	4	11	8	4	5	5	5	12	8	4	10	8	7	7	6	4	5	7	5	7	7	9	7	5	
806	4S	2127	4	4	3	3	3	3	3	3	3	3	3	3	3	3	5	4	3	3	2	3	3	3	3	3	3	3	3	3	3	
807	4S	2370	3	12	11	10	5	5	4	4	3	3	4	3	2	1	0	7	3	3	3	3	3	2	3	3	4	4	4	4	3	
808	4S	2428	4	7	6	4	5	4	3	3	2	4	3	3	3	3	0	3	3	3	3	3	2	3	2	4	4	4	4	4	4	
809	4R	1547	3	9	7	6	4	3	3	3	3	3	3	3	3	3	1	5	3	3	3	3	3	3	2	3	3	3	4	3	3	
810	4R	765	3	4	5	4	3	3	3	3	4	4	4	4	6	5	3	8	3	3	4	3	0	3	3	2	3	2	2	2	2	
811	4R	1506	3	4	4	4	5	3	8	6	3	3	3	3	3	3	7	3	3	3	2	2	2	2	3	2	2	2	2	2	2	
812	4R	4648	7	9	8	11	4	3	3	3	3	3	3	3	3	3	4	5	5	4	5	4	5	3	5	3	8	7	6	6	5	
813	4R	3958	6	6	5	9	3	4	6	5	7	4	6	8	2	5	3	9	5	3	5	3	4	4	6	3	6	6	4	3	5	
814	4S	1029	3	4	4	4	3	0	3	3	3	3	3	3	3	3	3	3	3	3	3	3	3	3	3	3	2	2	2	2	2	
815	4S	4407	9	15	11	8	5	4	3	3	8	9	9	2	6	3	3	14	5	5	6	5	5	3	6	4	6	7	6	6	5	
816	4S	5032	9	11	9	9	6	6	17	17	20	21	21	1	6	4	4	11	7	7	7	6	4	4	3	6	6	8	7	7	5	
817	4S	3646	7	18	11	7	9	10	9	5	11	17	13	14	8	5	2	7	5	5	4	5	3	3	4	4	5	4	6	6	5	
818	4S	2774	4	7	5	4	3	3	3	4	4	4	4	5	7	5	1	6	4	4	2	4	3	4	3	3	4	5	4	5	4	
819	4S	1441	3	7	9	5	4	5	3	2	3	3	4	1	1	3	0	8	2	3	3	2	3	3	3	3	2	2	2	2	2	
820	4R	1358	3	3	3	3	3	3	7	5	6	5	5	3	2	3	3	14	3	3	3	3	0	2	3	3	3	3	2	3	3	
821	4R	1272	3	3	3	3	2	3	3	2	3	3	3	3	3	3	3	7	3	3	3	3	2	4	3	3	3	2	2	3	3	
822	4R	3245	6	4	3	2	3	3	6	4	10	8	10	9	3	3	3	8	4	4	4	3	4	2	4	2	5	3	4	2	3	
823	4R	556	3	3	3	3	2	3	2	3	1	3	2	3	2	5	2	10	3	3	3	2	3	3	3	3	3	3	2	2	3	
824	4R	837	3	1	3	1	3	3	3	3	3	3	2	3	2	2	3	6	3	3	3	3	2	3	3	2	2	2	1	2	2	
827	4S	3231	0	1	1	1	3	3	0	2	3	1	3	0	2	2	3	6	4	4	3	3	3	2	3	2	2	3	3	3	4	
828	4S	2435	4	1	2	2	3	3	3	3	3	3	1	0	1	0	3	3	1	3	3	3	3	2	2	2	2	2	2	4	4	
829	4S	2692	3	2	3	3	3	3	3	0	3	3	2	0	2	1	0	8	4	4	3	2	3	2	2	3	2	4	3	2	3	
830	4S	1917	3	3	4	3	3	3	2	2	3	3	3	2	1	1	0	6	3	3	3	3	3	2	3	2	4	4	3	3	3	
831	4S	1204	3	0	2	3	3	3	3	2	3	4	3	3	1	3	3	4	3	3	3	3	3	3	2	2	2	2	2	2	2	
832	4S	3962	4	12	11	7	7	9	8	5	3	3	3	3	2	3	4	8	4	5	5	3	4	3	6	4	4	4	3	5	5	
833	4S	559	3	1	3	3	3	3	3	3	3	3	3	0	3	3	2	6	3	3	3	3	3	3	3	1	2	2	2	2	2	
835	4R	2641	0	6	7	6	3	3	3	3	6	5	6	5	6	3	3	8	5	5	5	4	0	4	5	2	4	3	3	4	4	
836	4R	3149	0	7	8	6	3	3	3	3	3	3	3	3	3	2	4	10	5	3	5	4	3	4	4	3	5	5	2	3	4	
837	4R	2668	0	5	6	3	2	3	4	4	3	3	3	3	5	5	2	4	4	3	5	3	3	2	5	1	4	4	3	3	2	
838	4R	3378	0	9	8	7	5	5	0	0	0	2	0	4	4	0	3	10	6	3	6	0	0	3	5	0	6	4	5	3	5	
839	4S	4390	0	2	5	5	3	2	2	1	2	3	3	0	0	3	2	3	6	5	4	3	3	2	2	3	2	3	2	2	2	
840	4R	765	0	3	3	1	1	0	0	0	0	0	0	2	0	0	0	5	3	0	3	0	0	1	3	0	2	3	2	0	1	
841	4S	816	0	0	1	3	3	3	3	0	2	1	2	3	2	3	3	3	3	3	2	3	3	3	2	3	2	2	2	2	1	
Total		116115	191	250	239	214	175	182	217	185	204	224	209	183	171	163	133	354	192	183	189	164	132	156	178	141	177	182	159	163	160	
851	4T	456																		3	3	3	3	3	3	2	2	2	2	2	2	
852	4T	427																		3	3	3	3	3	2	3	2	2	2	1	2	
854	4T	465																		3	3	3	2	2	2	2	2	2	2	2	2	2
855	4T	928																		3	4	3	2	3	3	2	2	2	2	2	2	2

Annexe 2. Occurrences et prises totales, en poids et en nombre, par taxon lors du relevé de 2018 (168 traits réussis). Les codes taxonomiques (STRAP) suivent Miller et Chabot (2014), avec les mises à jour des noms scientifiques par le registre mondial des espèces marines ([WoRMS 2018](#)).

Vertébrés

Code STRAP	Nom scientifique	Nom français	Nom anglais	Occurrence	Poids (kg)	Nombre
90	<i>Amblyraja radiata</i>	Raie épineuse	Thorny Skate	123	868,8	1604
696	<i>Ammodytes</i> sp.	Lançons	Sand Lances	29	0,1	64
700	<i>Anarhichas lupus</i>	Loup atlantique	Atlantic Wolffish	35	89,4	344
701	<i>Anarhichas minor</i>	Loup tacheté	Spotted Wolffish	11	16,0	14
320	<i>Arctozenus risso</i>	Lussion blanc	White Barracudina	79	10,6	548
193	<i>Argentina silus</i>	Grande argentine	Atlantic Argentine	17	9,6	110
811	<i>Artediellus atlanticus</i>	Hameçon atlantique	Atlantic Hookear Sculpin	36	1,1	1296
810	<i>Artediellus</i> sp.	Hameçons	Hookear Sculpins	5	0,6	104
812	<i>Artediellus uncinatus</i>	Hameçon neigeux	Arctic Hookear Sculpin	9	0,4	89
838	<i>Aspidophoroides monopterygius</i>	Poisson-alligator atlantique	Alligatorfish	51	1,2	325
837	<i>Aspidophoroides olrikii</i>	Poisson-alligator arctique	Arctic Alligatorfish	1	< 0,1	3
102	<i>Bathyraja spinicauda</i>	Raie à queue épineuse	Spinytail Skate	3	21,5	3
290	<i>Benthoosema glaciale</i>	Lanterne glacière	Glacier Lanternfish	1	< 0,1	8
451	<i>Boreogadus saida</i>	Saïda franc	Arctic Cod	50	7,9	619
865	<i>Careproctus reinhardtii</i>	Petite limace de mer	Sea Tadpole	7	0,3	14
27	<i>Centroscyllium fabricii</i>	Aiguillat noir	Black Dogfish	35	1547,2	2097
227	<i>Chauliodus sloani</i>	Chauliode très lumineux	Sloane's Viperfish	1	< 0,1	1
150	<i>Clupea harengus</i>	Hareng atlantique	Atlantic Herring	72	2882,4	11184
829	<i>Cottunculus microps</i>	Cotte polaire	Polar Sculpin	1	< 0,1	1
721	<i>Cryptacanthodes maculatus</i>	Terrassier tacheté	Wrymouth	3	1,3	6
849	<i>Cyclopterus lumpus</i>	Grosse poule de mer	Lumpfish	28	34,1	52
208	<i>Cyclothone microdon</i>	Cyclothone à petites dents	Small-Toothed Bristlemouth	2	< 0,1	2
461	<i>Enchelyopus cimbrius</i>	Motelle à quatre barbillons	Fourbeard Rockling	109	48,2	1418
618	<i>Epigonus pandionis</i>	Cardinal	Big Eye	3	0,1	3
711	<i>Eumesogrammus praecisus</i>	Quatre-lignes atlantique	Fourline Snakeblenny	23	6,8	238
847	<i>Eumicrotremus terraenovae</i>	Petite poule Terre-Neuve	Newfoundland Spiny Lumpsucker	26	10,2	207
436	Gadidae	Gadidés	Codfishes	4	< 0,1	4
438	<i>Gadus morhua</i>	Morue franche	Atlantic Cod	90	3671,5	8013
439	<i>Gadus ogac</i>	Ogac, morue ogac	Greenland Cod	4	3,8	8
437	<i>Gadus</i> sp.	Morue ou ogac	Atlantic or Greenland cod	1	0,2	3
455	<i>Gaidropsarus argentatus</i>	Mustèle argentée	Silver Rockling	8	< 0,1	15
454	<i>Gaidropsarus ensis</i>	Mustèle arctique à trois barbillons	Threebeard Rockling	3	< 0,1	6

Code STRAP	Nom scientifique	Nom français	Nom anglais	Occurrence	Poids (kg)	Nombre
453	<i>Gaidropsarus</i> sp.	Mustèles	Threebeard Rocklings	2	< 0,1	7
426	<i>Gasterosteus aculeatus</i>	Épinoche à trois épines	Threespine Stickleback	2	< 0,1	2
890	<i>Glyptocephalus cynoglossus</i>	Plie grise	Witch Flounder	125	744,5	3682
746	<i>Gymnelus viridis</i>	Unernak caméléon	Fish Doctor	2	< 0,1	3
823	<i>Gymnocanthus tricuspis</i>	Tricorne arctique	Arctic Staghorn Sculpin	25	11,7	180
797	<i>Helicolenus dactylopterus</i>	Chèvre impériale	Blackbelly Rosefish	2	0,1	2
809	<i>Hemitripterus americanus</i>	Hémitriptère atlantique	Sea Sculpin	2	0,7	5
889	<i>Hippoglossoides platessoides</i>	Plie canadienne	American Plaice	136	1409,5	13080
893	<i>Hippoglossus hippoglossus</i>	Flétan atlantique	Atlantic Halibut	58	946,1	143
527	<i>Hoplostethus mediterraneus</i>	Poisson-montre	Rosy Soldierfish	1	< 0,1	1
831	<i>Icelus bicornis</i>	Icèle à deux cornes	Twohorn Sculpin	2	< 0,1	3
832	<i>Icelus spatula</i>	Icèle spatulée	Spatulate Sculpin	11	0,4	23
836	<i>Leptagonus decagonus</i>	Agone atlantique	Atlantic Poacher	22	3,3	174
717	<i>Leptoclinus maculatus</i>	Lompénie tachetée	Daubed Shanny	45	5,3	1091
100	<i>Leucoraja ocellata</i>	Raie tachetée	Winter Skate	1	< 0,1	1
891	<i>Limanda ferruginea</i>	Limande à queue jaune	Yellowtail Flounder	6	1,9	20
868	<i>Liparis bathyarticus</i>	Limace nébuleuse	Nebulous Snailfish	6	1,4	23
857	<i>Liparis</i> sp.	Limaces	Snailfishes	3	< 0,1	4
966	<i>Lophius americanus</i>	Baudroie d'Amérique	Monkfish, Goosefish	13	89,1	16
716	<i>Lumpenus lampretaeformis</i>	Lompénie-serpent	Snakeblenny	26	8,1	309
750	<i>Lycenchelys paxillus</i>	Lycode commune	Common Wolf Eel	1	< 0,1	1
752	<i>Lycenchelys verrillii</i>	Lycode à tête longue	Wolf Eelpout	6	< 0,1	6
727	<i>Lycodes esmarkii</i>	Lycode d'Esmark	Esmark's Eelpout	4	0,9	5
728	<i>Lycodes lavalaei</i>	Lycode du Labrador	Newfoundland Eelpout	16	15,8	108
733	<i>Lycodes polaris</i>	Lycode polaire	Canadian Eelpout	1	0,1	4
726	<i>Lycodes</i> sp.	Lycodes	Eelpouts	3	0,2	8
734	<i>Lycodes terraenovae</i>	Lycode atlantique	Atlantic Eelpout	2	0,7	2
730	<i>Lycodes vahlii</i>	Lycode à carreaux	Vahl's Eelpout	36	25,3	369
91	<i>Malacoraja senta</i>	Raie lisse	Smooth Skate	97	85,7	391
304	<i>Malacosteus niger</i>	Drague sans lampe	Lightless Loosejaw	1	< 0,1	1
187	<i>Mallotus villosus</i>	Capelan	Capelin	78	239,1	22261
214	<i>Maurolicus muelleri</i>	Margerite perlée	Mueller's Pearlside	1	< 0,1	1
441	<i>Melanogrammus aeglefinus</i>	Aiglefin	Haddock	2	7,3	7
745	<i>Melanostigma atlanticum</i>	Molasse atlantique	Atlantic Soft Pout	41	1,2	367
449	<i>Merluccius bilinearis</i>	Merlu argenté	Silver Hake	65	41,3	352
272	Myctophidae	Poissons-lanterne	Lanternfishes	17	0,4	130
819	<i>Myoxocephalus scorpius</i>	Chaboisseau à épines courtes	Shorthorn Sculpin	22	35,9	98
12	<i>Myxine glutinosa</i>	Myxine du nord	Northern Hagfish	96	189,3	3133

Code STRAP	Nom scientifique	Nom français	Nom anglais	Occurrence	Poids (kg)	Nombre
278	<i>Neoscopelus macrolepidotus</i>	Lanterne à grandes écailles	Glowingfish	3	0,2	6
478	<i>Nezumia bairdii</i>	Grenadier du grand Banc	Common Grenadier	89	79,7	2006
275	<i>Notoscopelus kroyeri</i>	Lanterne-voilière nordique	Kroyer's Lanternfish	3	0,1	4
874	<i>Paraliparis calidus</i>	Limace ardente	Lowfin Snailfish	8	0,1	11
856	<i>Paraliparis copei</i>	Limace à museau noir	Blacksnout Seasnail	9	0,2	26
444	<i>Phycis chesteri</i>	Merluche à longues nageoires	Longfin Hake	33	152,7	1170
887	Pleuronectidae	Flétans, limandes et plies	Flounders, Halibuts and Plaices	1	< 0,1	
443	<i>Pollachius virens</i>	Goberge	Pollock	3	5,6	3
222	<i>Polyipnus clarus</i>	Hache	Slope Hachetfish	1	< 0,1	1
895	<i>Pseudopleuronectes americanus</i>	Plie rouge	Winter Flounder	1	0,1	1
94	<i>Rajella fyllae</i>	Raie ronde	Round Skate	4	0,9	5
892	<i>Reinhardtius hippoglossoides</i>	Flétan du Groenland, turbot	Greenland Halibut, Turbot	119	2538,7	10929
572	<i>Scomber scombrus</i>	Maquereau bleu	Atlantic Mackerel	20	3,3	126
796	<i>Sebastes fasciatus</i>	Sébaste acadien	Acadian Redfish	107	9854,5	71241
794	<i>Sebastes mentella</i>	Sébaste atlantique	Deepwater Redfish	129	86041,0	627937
793	<i>Sebastes norvegicus</i>	Sébaste orangé	Golden Redfish	1	18,0	30
24	<i>Squalus acanthias</i>	Aiguillat commun	Spiny Dogfish	1	6,8	3
220	Sternoptychidae	Haches	Hatchetfishes	1	< 0,1	1
710	<i>Stichaeus punctatus</i>	Stichée arctique	Arctic Shanny	1	< 0,1	1
814	<i>Triglops murrayi</i>	Faux-trigle armé	Moustache Sculpin	49	20,3	1988
815	<i>Triglops nybelini</i>	Faux-trigle à grands yeux	Bigeye Sculpin	1	< 0,1	1
447	<i>Urophycis tenuis</i>	Merluche blanche	White Hake	81	265,4	436
725	Zoarcidae	Lycodes, Loquettes, Molasses	Eelpouts, Pouts, Wolf Eels	1	< 0,1	2
Total		Vertébrés	Vertebrates		112 087	790 361

Invertébrés

Code STRAP	Nom scientifique	Nom français	Nom anglais	Occurrence	Poids (kg)	Nombre
2182	<i>Actinauge cristata</i>	Anémone de mer	Anemone	41	40,4	3910
2165	Actiniaria	Actinies et Anémones	Sea Anemones	22	0,7	53
2162	<i>Actinostola callosa</i>	Anémones de mer	Anemone	57	531,9	7661
6771	<i>Aega psora</i>	Isopode	Isopod	16	< 0,1	18
2677	<i>Alcyonidium pachydermatum</i>	Bryzoaire	Bryozoan	1	< 0,1	1
2675	<i>Alcyonidium</i> sp.	Bryzoaire	Bryozoan	2	< 0,1	3
6930	Amphipoda	Amphipodes	Amphipods	1	< 0,1	1
5675	<i>Amphitrite cirrata</i>	Polychète	Terebellid worm	1	< 0,1	1

Code STRAP	Nom scientifique	Nom français	Nom anglais	Occurrence	Poids (kg)	Nombre
8593	<i>Amphiura</i> sp.	Ophiures	Brittle star	5	< 0,1	7
4219	<i>Anomia</i> sp.	Anomies	Jingle shells	2	< 0,1	25
7389	<i>Anonyx</i> sp.	Gammarides	Gammarids	9	< 0,1	28
2218	<i>Anthoptilum grandiflorum</i>	Plume de mer	Sea pen	51	53,6	4367
5002	<i>Aphroditella hastata</i>	Souris de mer	Sea Mouse	16	0,7	21
6594	<i>Arcoscalpellum michelottianum</i>	Balane	Barnacle	7	0,3	24
8138	<i>Argis dentata</i>	Crevette verte	Arctic Argid	36	5,8	1870
3418	<i>Arrhoges occidentalis</i>	Pied-de-pélican	American Pelicanfoot	17	0,5	65
1128	<i>Artemisina arcigera</i>	Éponge	Sponge	15	0,5	89
8742	<i>Ascidia</i> sp.	Ascidie	Sea squirts	71	6,1	1174
8680	Ascidiacea	Ascidies, tuniqués sessiles	Ascidians, Sessile Tunicates	6	< 0,1	15
1120	<i>Asconema foliatum</i>	Éponge	Sponge	5	4,0	
4230	<i>Astarte montagui</i>	Astarte	Narrow Hinge Astarte	2	< 0,1	2
4227	<i>Astarte</i> sp.	Astartes	Astartes	24	0,1	68
8396	<i>Asterias rubens</i>	Astérie boréale commune	Purple Seastar	4	< 0,1	5
8113	<i>Atlantopandalus propinquus</i>	Crevette	Shrimp	18	0,7	148
2097	<i>Atolla wyvillei</i>	Méduse	Jellyfish	4	0,6	6
3583	<i>Aulacofusus brevicauda</i>	Buccin	Whelk	1	< 0,1	2
2085	<i>Aurelia aurita</i>	Méduse de lune	Moon Jelly	2	< 0,1	4
5009	<i>Austrolaenilla mollis</i>	Polychètes	Fifteen scales worm	1	< 0,1	1
6595	Balanidae	Balanes	Barnacles	6	0,1	72
4904	<i>Bathypolypus bairdii</i>	Poulpe	North Atlantic Octopus	57	3,2	111
3519	<i>Beringius turtoni</i>	Buccin	Whelk	2	0,1	4
3995	Bivalvia	Bivalves	Bivalves	4	< 0,1	4
2158	<i>Bolocera tuediae</i>	Anémone de mer	Anemone	64	49,8	883
8793	<i>Boltenia echinata</i>	Cactus de mer	Cactus Sea Squirt	4	< 0,1	15
8792	<i>Boltenia ovifera</i>	Patate de mer	Sea Potato	13	11,5	106
3488	<i>Boreotrophon</i> sp.	Murex	Murex	2	< 0,1	2
8798	<i>Botrylloides</i> sp.	Ascidie	Tunicate	4	0,1	
5755	<i>Brada inhabilis</i>	Polychète	Flabelligerid worm	6	< 0,1	7
8378	<i>Brisaster fragilis</i>	Oursin coeur	Heart Urchin	59	323,7	32928
2670	Bryozoa	Bryozoaires	Bryozoans	20	0,1	73
3520	<i>Buccinum cyaneum</i>	Buccin bleu	Bluish Whelk	16	3,1	225
3523	<i>Buccinum scalariforme</i>	Buccin	Ladder Whelk	3	0,1	6
3516	<i>Buccinum</i> sp.	Buccins	Whelk	25	1,1	75
3517	<i>Buccinum undatum</i>	Buccin commun	Waved Whelk	8	0,3	21
8173	<i>Calocaris templemani</i>	Crevette fousseuse	Lobster Shrimp	1	< 0,1	1
8206	<i>Cancer irroratus</i>	Crabe commun	Common Rock Crab	2	0,2	2

Code STRAP	Nom scientifique	Nom français	Nom anglais	Occurrence	Poids (kg)	Nombre
8037	<i>Caridea</i>	Crevettes	Caridean Shrimps	1	< 0,1	
8429	<i>Ceramaster granularis</i>	Étoile de mer	Sea Star	27	1,3	81
8213	<i>Chionoecetes opilio</i>	Crabe des neiges	Snow Crab	90	114,2	801
6593	<i>Chirona hameri</i>	Balane turbané	Turban Barnacle	3	0,5	32
4167	<i>Chlamys islandica</i>	Pétoncle d' Islande	Iceland Scallop	24	4,1	204
4351	<i>Ciliatocardium ciliatum</i>	Coque d'Islande	Iceland Cockle	8	1,1	56
8757	<i>Cnemidocarpa finmarkiensis</i>	Ascidie	Tunicate	1	< 0,1	1
3908	<i>Colga villosa</i>	Nudibranche	Nudibranch	7	< 0,1	10
3577	<i>Colus pubescens</i>	Buccin	Hairy Whelk	4	0,1	7
3575	<i>Colus</i> sp.	Buccins	Whelks	1	< 0,1	3
3576	<i>Colus stimpsoni</i>	Buccin	Whelk	6	0,2	7
1130	<i>Craniella polyura</i>	Éponge	Sponge	7	0,1	
8447	<i>Crossaster papposus</i>	Soleil de mer épineux	Spiny Sun Star	29	3,5	191
3422	<i>Cryptonatica affinis</i>	Lunaties	Arctic moonshell	9	< 0,1	10
8407	<i>Ctenodiscus crispatus</i>	Étoile de mer	Mud Star	99	189,8	53505
8312	<i>Cucumaria frondosa</i>	Concombre de mer	Orange Footed Sea Cucumber	6	1,4	6
4526	<i>Cuspidaria glacialis</i>	Mye	Gacial Dipperclam	17	< 0,1	36
2080	<i>Cyanea capillata</i>	Crinière de lion	Lion's Mane	137	241,6	539
3894	<i>Dendronotus frondosus</i>	Nudibranche	Nudibranch	6	< 0,1	10
3895	<i>Dendronotus niveus</i>	Nudibranche orangé	Orange Nudibranch	6	< 0,1	11
3893	<i>Dendronotus</i> sp.	Nudibranche	Nudibranch	2	< 0,1	2
8760	<i>Didemnum</i> sp.	Ascidie	Tunicate	1	< 0,1	1
3965	<i>Doridoxa ingolfiana</i>	Nudibranche	Nudibranch	6	< 0,1	7
2191	<i>Drifa glomerata</i>	Corail mou	Soft coral	17	0,4	84
2183	<i>Duva florida</i>	Corail mou	Sea Cauliflower	11	0,1	21
8373	<i>Echinarachnius parma</i>	Dollar de sable	Common Sand Dollar	3	0,2	11
7383	<i>Epimeria loricata</i>	Gammaride	Gammarid	10	< 0,1	38
2156	<i>Epizoanthus erdmanni</i>	Zoanthide	Zoanthid	2	< 0,1	5
2157	<i>Epizoanthus</i> sp.	Anémone de mer	Sea Anemone	12	< 0,1	115
8075	<i>Eualus fabricii</i>	Bouc Arctique	Arctic Eualid	21	0,5	792
8080	<i>Eualus gaimardii</i>	Bouc	Circumpolar Eualid	7	< 0,1	24
8077	<i>Eualus macilentus</i>	Bouc du Groenland	Greenland Shrimp	15	3,0	3620
8074	<i>Eualus</i> sp.	Bouc	Eualid	2	< 0,1	32
8778	<i>Eudistoma vitreum</i>	Ascidie	Tunicate	16	0,2	103
5479	<i>Eunice pennata</i>	Polychète	Seaworm	3	< 0,1	3
5461	<i>Euphrosine borealis</i>	Polychète	Seaworm	1	< 0,1	1
8033	<i>Eusergestes arcticus</i>	Crevette	Shrimp	12	0,1	87
7195	<i>Eusirus cuspidatus</i>	Gammaride	Gammarid	6	< 0,1	20

Code STRAP	Nom scientifique	Nom français	Nom anglais	Occurrence	Poids (kg)	Nombre
3437	<i>Euspira pallida</i>	Lunatie du Groenland	Pale Moonsnail	14	0,2	43
2295	Fecampiidae	Vers plats	Flatworms	1	< 0,1	1
5746	Flabelligeridae	Polychète sédentaire	Flabelligerid Worm	1	< 0,1	1
2224	<i>Flabellum alabastrum</i>	Madrépore	Cup coral	10	0,9	124
3175	Gastropoda	Gastéropodes	Gastropods	3	< 0,1	4
2184	<i>Gersemia rubiformis</i>	Corail mou	Sea Strawberry	25	0,3	155
5902	<i>Golfingia margaritacea</i>	Sipunculide	Sipunculid	4	< 0,1	7
5089	<i>Goniada norvegica</i>	Polychète	Seaworm	4	< 0,1	6
8540	<i>Gorgonocephalus</i> sp.	Gorgonocéphales	Basket Stars	31	94,6	533
2217	<i>Halipteris finmarchica</i>	Plume de mer	Sea pen	20	2,9	149
5934	<i>Hamingia arctica</i>	Échiure	Echiurid	2	< 0,1	2
5046	<i>Harmothoe</i> sp.	Polychètes errantes	Fifteen-Scaled Worms	1	< 0,1	1
8263	<i>Heliometra glacialis</i>	Lis de mer	Feather star	3	< 0,1	31
1131	<i>Hemigellius arcofer</i>	Éponge	Sponge	11	6,0	
3090	<i>Hemithiris psittacea</i>	Brachiopode	Lamp Shell	7	0,1	66
8483	<i>Henricia</i> sp.	Étoiles de mer	Sea Stars	64	0,9	255
4437	<i>Hiatella arctica</i>	Saxicave arctique	Arctic Saxicave	4	< 0,1	6
8431	<i>Hippasteria phrygiana</i>	Étoile de mer	Sea Star	40	14,0	58
8290	Holothuroidea	Cocombres de mer	Sea Cucumbers	3	< 0,1	3
2150	<i>Hormathia digitata</i>	Anémone	Anemone	25	0,5	145
2167	<i>Hormathia nodosa</i>	Anémone noduleuse	Rugose Anemone	7	0,2	11
8217	<i>Hyas araneus</i>	Crabe lyre	Atlantic Lyre Crab	19	1,7	137
8218	<i>Hyas coarctatus</i>	Crabe lyre	Arctic Lyre Crab	56	4,5	893
1341	Hydrozoa	Hydrozoaires	Hydrozoans	45	0,2	
8028	<i>Hymenopenaeus debilis</i>	Crevette	Shrimp	1	< 0,1	1
6977	<i>Hyperia galba</i>	Hypéride	Hyperiid	1	< 0,1	1
4753	<i>Illex illecebrosus</i>	Encornet rouge nordique	Northern Shortfin Squid	100	181,2	1251
1132	<i>Iophon piceum</i>	Éponge	Sponge	5	1,6	
5003	<i>Laetmonice filicornis</i>	Polychète	Seaworm	48	0,2	175
8092	<i>Lebbeus groenlandicus</i>	Bouc	Spiny Lebbeid	10	1,3	303
8095	<i>Lebbeus microceros</i>	Bouc	Shrimp	2	< 0,1	6
8093	<i>Lebbeus polaris</i>	Bouc	Polar Lebbeid	51	1,0	703
8511	<i>Leptasterias polaris</i>	Étoile de mer polaire	Polar Sea Star	12	2,2	30
8510	<i>Leptasterias</i> sp.	Étoiles de mer	Sea Stars	23	0,1	72
8521	<i>Leptychaster arcticus</i>	Stelléridé	Sea Star	10	< 0,1	15
3459	<i>Limneria undata</i>	Veloutée rayée	Wavy Lamellaria	1	< 0,1	1
2207	<i>Liponema multicornis</i>	Anémone	Sea anemone	11	2,1	90
8196	<i>Lithodes maja</i>	Crabe épineux du Nord	Norway King Crab	59	47,5	119

Code STRAP	Nom scientifique	Nom français	Nom anglais	Occurrence	Poids (kg)	Nombre
4395	<i>Macoma calcarea</i>	Bivalve	Chalky Macoma	12	0,1	218
5309	<i>Maldane sarsi</i>	Polychètes	Bamboo worm	1	< 0,1	2
5277	Maldanidae	Polychète sédentaire	Bamboo Worm	7	< 0,1	14
3219	<i>Margarites costalis</i>	Margarite rosé du Nord	Boreal Rosy Margarite	6	< 0,1	6
3216	<i>Margarites groenlandicus</i>	Troque	Greenland marguerite	3	< 0,1	4
7994	<i>Meganyctiphanes norvegica</i>	Euphauside	Horned Krill	2	0,1	185
4025	<i>Megayoldia thraciaeformis</i>	Bivalve	Broad Yoldia	34	3,8	1062
5646	<i>Melinna cristata</i>	Polychète	Seaworm	4	< 0,1	13
8322	<i>Molpadia oolitica</i>	Holothurie	Sea Cucumber	2	0,1	7
8164	<i>Munidopsis curvirostra</i>	Munidopsis curvirostra	Squat Lobster	16	0,1	93
4127	<i>Musculus niger</i>	Moule noire	Black Mussel	1	< 0,1	1
1117	<i>Mycale lingua</i>	Éponge	Sponge	34	8,5	
1118	<i>Mycale loveni</i>	Éponge	Sponge	2	0,1	5
4121	<i>Mytilus</i> sp.	Moules	Mussels	14	0,7	79
3000	Nemertea	Némerte	Ribbon Worm	4	< 0,1	4
7483	<i>Neohela monstrosa</i>	Gammaride	Gammarid	5	< 0,1	5
5053	<i>Neoleanira tetragona</i>	Polychète	Scaled worm	19	< 0,1	65
2219	Nephtheidae	Coraux mous	Soft corals	9	< 0,1	15
5113	<i>Nephtys</i> sp.	Polychète errante	Red-Lined Worm	7	< 0,1	10
3566	<i>Neptunea decemcostata</i>	Neptunée à dix côtes	Wrinkle Whelk	5	0,1	8
3567	<i>Neptunea despecta</i>	Neptunée commune du nord	Lader Whelk	2	0,2	6
3565	<i>Neptunea</i> sp.	Buccins	Whelks	1	< 0,1	1
5225	Nereididae	Polychète errante	Clam Worm	1	< 0,1	1
5236	<i>Nereis pelagica</i>	Polychète	Clam worm	1	< 0,1	1
8448	<i>Novodinia americana</i>	Étoile de mer	Sea star	1	0,1	1
4019	<i>Nuculana</i> sp.	Bivalves	Nutclams	3	< 0,1	6
3850	Nudibranchia	Nudibranches	Nudibranchs	2	< 0,1	3
5964	<i>Nymphon hirtipes</i>	Araignée de mer	Sea spider	4	< 0,1	35
5961	<i>Nymphon</i> sp.	Araignées de mer	Sea Spiders	39	0,1	266
8575	<i>Ophiacantha bidentata</i>	Ophiure épineuse	Brittle Star	35	0,3	535
8583	<i>Ophiopholis aculeata</i>	Ophiure paquerette	Daisy Brittle Star	57	0,7	565
8585	<i>Ophioscolex glacialis</i>	Ophiure	Brittle star	17	< 0,1	32
8552	<i>Ophiura robusta</i>	Ophiure	Brittle Star	6	< 0,1	21
8553	<i>Ophiura sarsii</i>	Ophiure	Brittle Star	66	89,5	59078
8551	<i>Ophiura</i> sp.	Ophiures	Brittle Stars	1	< 0,1	1
8530	Ophiuroidea	Ophiures	Brittle Stars	1	< 0,1	1
8178	<i>Pagurus</i> sp.	Bernard hermite droitier	Hermit Crab	21	0,1	34
8111	<i>Pandalus borealis</i>	Crevette nordique	Northern Shrimp	131	1797,3	336495

Code STRAP	Nom scientifique	Nom français	Nom anglais	Occurrence	Poids (kg)	Nombre
8112	<i>Pandalus montagui</i>	Crevette ésope	Striped Pink Shrimp	75	182,9	75275
8110	<i>Pandalus</i> sp.	Crevette	Boreal Red Shrimp	1	0,1	
4438	<i>Panomya norvegica</i>	Saxicave	Arctic Roughmya	2	< 0,1	2
7586	<i>Paramphithoe hystrix</i>	Gammaride	Gammarid	7	< 0,1	12
8057	<i>Pasiphaea multidentata</i>	Sivade rose, Crevette blanche	Pink Glass Shrimp	72	52,8	15757
2203	<i>Pennatula aculeata</i>	Plume de mer	Sea Pen	83	5,1	1677
2210	<i>Pennatula grandis</i>	Plume de mer	Sea Pen	31	118,0	3650
2201	Pennatulacea	Plumes de mer	Sea Pens	1	< 0,1	1
2096	<i>Periphylla periphylla</i>	Méduse à coronne	Crown jellyfish	47	73,4	71
1136	<i>Phakellia bowerbanki</i>	Éponge	Sponge	7	2,7	
5907	<i>Phascolion strombus</i>	Sipunculide	Hermit Sipunculid	2	< 0,1	3
4955	<i>Phyllodoce groenlandica</i>	Polychète	Paddle Worm	1	< 0,1	1
2255	<i>Pleurobrachia pileus</i>	Groseille de mer ronde	Sea Gooseberry	31	0,3	205
3578	<i>Plicifusus kroeyeri</i>	Colus	Arctic Whelk	4	< 0,1	6
8783	<i>Polycarpa fibrosa</i>	Ascidie	Tunicate	7	1,3	921
4950	Polychaeta	Polychètes	Polychaetes	40	0,1	88
1122	<i>Polymastia andrica</i>	Éponge	Sponge	2	0,1	
1123	<i>Polymastia grimaldii</i>	Éponge	Sponge	5	0,2	11
1109	<i>Polymastia</i> sp.	Éponge	Sponge	42	116,2	16665
5007	Polynoidae	Polychète errante	Fifteen-Scaled Worm	37	0,1	71
5264	<i>Polyphysia crassa</i>	Polychète	Sea worm	3	< 0,1	3
8135	<i>Pontophilus norvegicus</i>	Crevette	Norwegian Shrimp	83	3,9	2269
8435	<i>Poraniomorpha</i> sp.	Étoile de mer	Sea star	11	0,2	13
1101	Porifera	Éponges	Sponges	84	24,9	
2573	<i>Priapulus caudatus</i>	Priapulide	Priapulid	1	< 0,1	1
8433	<i>Pseudarchaster parelii</i>	Étoile de mer	Sea Star	22	0,7	72
8520	<i>Psilaster andromeda</i>	Étoile de mer	Sea Star	24	1,0	223
8295	<i>Psolus fabricii</i>	Psolus écarlate	Scarlet Psolus	1	< 0,1	1
8294	<i>Psolus phantapus</i>	Holothurie	Sea Cucumber	5	< 0,1	6
8410	<i>Pteraster militaris</i>	Étoile de mer	Sea Star	15	0,2	45
8411	<i>Pteraster pulvillus</i>	Étoile de mer	Sea Star	10	0,2	30
8409	<i>Pteraster</i> sp.	Étoiles de mer	Sea stars	1	< 0,1	3
1353	<i>Ptychogena lactea</i>	Méduse	Jellyfish	31	0,4	84
1107	<i>Radiella hemisphaerica</i>	Éponge	Sponge	16	0,9	177
7211	<i>Rhachotropis aculeata</i>	Gammaride	Gammarid	8	< 0,1	69
4557	<i>Rossia</i> sp.	Sépioles	Bobtails	44	0,7	66
8129	<i>Sabinea sarsii</i>	Crevette	Sars Shrimp	16	0,4	218
8128	<i>Sabinea septemcarinata</i>	Crevette	Sevenline Shrimp	28	1,2	604

Code STRAP	Nom scientifique	Nom français	Nom anglais	Occurrence	Poids (kg)	Nombre
3491	<i>Scabrotrophon fabricii</i>	Murex	Murex	13	< 0,1	17
3715	<i>Scaphander punctostriatus</i>	Céphalaspide	Giant Canoe Bubble	39	0,7	292
8119	<i>Sclerocrangon boreas</i>	Crevette de roche	Scultured Shrimp	17	14,1	1610
2040	Scyphozoa	Scyphozoaires	Scyphozoans	2	< 0,1	2
2679	<i>Securiflustra securifrons</i>	Bryozoaires marins	Marine bryozoans	10	< 0,1	10
4352	<i>Serripes groenlandicus</i>	Coque du Groenland	Greenland Smoothcockle	2	0,1	2
3227	<i>Solariella varicosa</i>	Gastéropode	Varicose Solarelle	1	< 0,1	1
8445	<i>Solaster endeca</i>	Soleil de mer pourpre	Purple Sunstar	4	< 0,1	4
8087	<i>Spirontocaris liljeborgii</i>	Bouc épineux	Friendly Blade Shrimp	42	0,4	260
8086	<i>Spirontocaris phippisii</i>	Bouc	Punctate Blade Shrimp	2	< 0,1	3
8084	<i>Spirontocaris</i> sp.	Bouc	Blade Shrimp	7	< 0,1	
8085	<i>Spirontocaris spinus</i>	Bouc perroquet	Parrot Shrimp	26	0,6	337
1352	<i>Staurostoma mertensii</i>	Méduse à croix blanche	Whitecross Jellyfish	1	< 0,1	1
7750	<i>Stegocephalus inflatus</i>	Gammaride	Gammarid	7	< 0,1	9
8515	<i>Stephanasterias albula</i>	Étoile de mer	Sea star	6	< 0,1	12
2159	<i>Stephanauge nexilis</i>	Anémone de mer	Sea anemone	12	0,7	50
2173	<i>Stomphia coccinea</i>	Anémone marbrée	Anemone	16	0,2	41
8363	<i>Strongylocentrotus</i> sp.	Oursins	Sea Urchins	52	41,9	2810
1112	<i>Stylocordyla borealis</i>	Éponge	Sponge	16	< 0,1	102
1115	<i>Suberites ficus</i>	Éponge	Fig sponge	19	4,5	73
1113	<i>Sycon</i> sp.	Éponge	Sponge	2	< 0,1	2
8776	<i>Synoicum pulmonaria</i>	Ascidie	Tunicate	1	0,7	7
6791	<i>Syscenus infelix</i>	Isopode	Isopod	54	0,4	220
1108	<i>Tentorium semisuberites</i>	Éponge	Sponge	12	0,1	85
5673	Terebellidae	Polychète sédentaire	Terebellid Worm	1	< 0,1	1
3101	<i>Terebratulina septentrionalis</i>	Térébratule du Nord	Northern Lamp Shell	15	< 0,1	51
6972	<i>Themisto libellula</i>	Hypéride	Hyperiid	27	0,1	464
1114	<i>Thenea muricata</i>	Éponge	Sponge	13	0,9	30
1357	<i>Thuiaria thuja</i>	Hydrozoaire	Bottlebrush Hydroid	15	< 0,1	41
2176	<i>Urticina felina</i>	Anémone de mer	Sea Anemone	2	< 0,1	2
1127	<i>Weberella bursa</i>	Éponge	Sponge	12	4,7	66
4451	<i>Xylophaga atlantica</i>	Bivalve	Atlantic Woodeater	3	< 0,1	4
Total		Invertébrés	Invertebrates		4 526	643 767

Autres

Code STRAP	Nom scientifique	Nom français	Nom anglais	Occurrence	Poids (kg)	Nombre
9970		Capsule de raies	Skates Eggs	84	5,4	1164

Annexe 3. Nombre de spécimens mesurés et pesés et statistiques descriptives de la longueur en 2018. Les codes taxonomiques (STRAP) suivent Miller et Chabot (2014), avec les mises à jour des noms scientifiques par le registre mondial des espèces marines ([WoRMS 2018](#)).

Vertébrés

Code STRAP	Nom scientifique	Nombre mesuré		Longueur (cm)				
		Longueur	Poids	Min	P1*	Médiane	P99*	Max
90	<i>Amblyraja radiata</i>	1318	1001	8,7	11,4	32,2	65,0	75,1
696	<i>Ammodytes</i> sp.	63	61	5,5	5,5	7,9	11,5	11,5
700	<i>Anarhichas lupus</i>	304	163	7,0	7,7	24,5	60,9	68,0
701	<i>Anarhichas minor</i>	14	14	8,5	8,5	14,8	96,0	96,0
320	<i>Arctozenus risso</i>	483	263	17,5	19,2	23,9	28,3	28,8
193	<i>Argentina silus</i>	109	56	10,2	10,5	22,2	33,2	35,0
811	<i>Artediellus atlanticus</i>	208	133	2,1	3,2	6,7	10,0	11,2
810	<i>Artediellus</i> sp.	74	18	5,6	5,6	6,7	8,8	8,8
812	<i>Artediellus uncinatus</i>	78	38	4,4	4,4	7,2	9,6	9,6
838	<i>Aspidophoroides monopterygius</i>	273	162	4,0	5,8	12,5	15,8	16,9
837	<i>Aspidophoroides olrikii</i>	3	3	4,8	4,8	6,5	8,2	8,2
102	<i>Bathyraja spinicauda</i>	3	3	28,0	28,0	107,0	131,0	131,0
290	<i>Benthoosema glaciale</i>	1	1	6,7	6,7	6,7	6,7	6,7
451	<i>Boreogadus saida</i>	418	202	5,0	7,1	12,0	18,8	21,1
865	<i>Careproctus reinhardtii</i>	14	14	6,6	6,6	10,8	13,2	13,2
27	<i>Centroscyllium fabricii</i>	642	223	13,3	14,5	40,9	66,1	73,0
227	<i>Chauliodus sloani</i>	1	1	20,5	20,5	20,5	20,5	20,5
150	<i>Clupea harengus</i>	1123	677	13,6	17,3	28,9	37,4	39,2
829	<i>Cottunculus microps</i>	1	1	11,2	11,2	11,2	11,2	11,2
721	<i>Cryptacanthodes maculatus</i>	6	6	15,5	15,5	35,3	72,0	72,0
849	<i>Cyclopterus lumpus</i>	52	52	7,7	7,7	13,8	45,5	45,5
208	<i>Cyclothone microdon</i>	1	1	6,6	6,6	6,6	6,6	6,6
461	<i>Enchelyopus cimbrius</i>	1192	420	4,9	6,7	19,1	27,6	29,9
618	<i>Epigonus pandionis</i>	1	1	12,5	12,5	12,5	12,5	12,5
711	<i>Eumesogrammus praecisus</i>	219	126	7,4	8,6	14,8	21,1	21,9
847	<i>Eumicrotremus terraenovae</i>	207	121	2,3	3,0	6,9	14,8	38,5
436	Gadidae	4	4	4,0	4,0	5,5	5,5	5,5
438	<i>Gadus morhua</i>	4068	1862	3,5	5,2	32,8	65,3	90,2
439	<i>Gadus ogac</i>	8	8	17,6	17,6	32,8	40,0	40,0
437	<i>Gadus</i> sp.	3	3	19,1	19,1	20,2	21,7	21,7
455	<i>Gaidropsarus argentatus</i>	15	15	5,2	5,2	6,1	6,5	6,5
454	<i>Gaidropsarus ensis</i>	6	6	5,7	5,7	6,3	6,6	6,6
453	<i>Gaidropsarus</i> sp.	7	6	5,3	5,3	5,9	6,2	6,2
426	<i>Gasterosteus aculeatus</i>	2	2	5,1	5,1	5,9	6,6	6,6
890	<i>Glyptocephalus cynoglossus</i>	2522	1581	7,0	9,6	30,5	43,5	49,8
746	<i>Gymnelus viridis</i>	3	3	8,2	8,2	12,9	14,5	14,5
823	<i>Gymnocanthus tricuspis</i>	161	78	7,7	8,4	16,4	23,3	23,5
797	<i>Helicolenus dactylopterus</i>	2	2	14,5	14,5	16,1	17,6	17,6
809	<i>Hemitripterus americanus</i>	5	5	9,1	9,1	12,3	26,2	26,2
889	<i>Hippoglossoides platessoides</i>	5345	2393	2,6	9,0	21,7	42,1	55,1
893	<i>Hippoglossus hippoglossus</i>	142	141	34,0	34,6	66,4	146,0	150,0
527	<i>Hoplostethus mediterraneus</i>	1	1	14,7	14,7	14,7	14,7	14,7
831	<i>Icelus bicornis</i>	3	3	5,3	5,3	6,0	7,3	7,3
832	<i>Icelus spatula</i>	23	22	4,8	4,8	8,3	13,9	13,9
836	<i>Leptagonus decagonus</i>	173	73	4,0	4,0	19,1	21,6	21,7
717	<i>Leptoclinus maculatus</i>	486	200	7,8	8,5	11,9	18,4	20,0
100	<i>Leucoraja ocellata</i>	1	1	14,7	14,7	14,7	14,7	14,7
891	<i>Limanda ferruginea</i>	20	19	14,1	14,1	19,2	40,8	40,8
868	<i>Liparis bathyartcticus</i>	22	16	6,4	6,4	13,1	26,4	26,4
857	<i>Liparis</i> sp.	4	4	3,0	3,0	3,6	3,9	3,9
966	<i>Lophius americanus</i>	16	15	33,8	33,8	52,5	99,5	99,5
716	<i>Lumpenus lampretæformis</i>	194	110	13,4	13,5	29,2	42,1	44,0
750	<i>Lycenchelys paxillus</i>	1	1	11,9	11,9	11,9	11,9	11,9

Code STRAP	Nom scientifique	Nombre mesuré		Longueur (cm)				
		Longueur	Poids	Min	P1*	Médiane	P99*	Max
752	<i>Lycenchelys verrillii</i>	6	6	11,5	11,5	12,6	14,2	14,2
727	<i>Lycodes esmarkii</i>	5	5	22,2	22,2	35,3	41,8	41,8
728	<i>Lycodes lavalaei</i>	108	62	9,6	10,1	19,2	56,9	63,5
733	<i>Lycodes polaris</i>	4	4	13,9	13,9	16,0	19,7	19,7
726	<i>Lycodes sp.</i>	8	5	6,8	6,8	10,7	36,2	36,2
734	<i>Lycodes terraenovae</i>	2	2	40,4	40,4	42,8	45,1	45,1
730	<i>Lycodes vahlii</i>	221	108	7,6	10,5	26,7	40,0	44,1
91	<i>Malacoraja senta</i>	391	379	8,1	8,6	19,2	58,5	73,0
304	<i>Malacosteus niger</i>	1	1	12,0	12,0	12,0	12,0	12,0
187	<i>Mallotus villosus</i>	1376	473	7,7	10,1	14,2	17,3	18,5
441	<i>Melanogrammus aeglefinus</i>	7	7	41,5	41,5	49,8	56,5	56,5
745	<i>Melanostigma atlanticum</i>	354	143	5,5	6,2	10,8	13,6	15,4
449	<i>Merluccius bilinearis</i>	217	184	11,3	13,0	29,8	42,0	44,9
272	Myctophidae	3	3	8,7	8,7	9,0	15,0	15,0
819	<i>Myoxocephalus scorpius</i>	98	97	9,8	9,8	27,7	40,3	40,3
12	<i>Myxine glutinosa</i>	1922	508	13,3	23,6	36,3	49,1	56,6
278	<i>Neoscopelus macrolepidotus</i>	6	6	9,7	9,7	12,7	18,2	18,2
478	<i>Nezumia bairdii</i>	1628	456	7,2	9,0	22,7	31,5	35,3
275	<i>Notoscopelus kroyeri</i>	3	3	9,6	9,6	13,1	14,3	14,3
874	<i>Paraliparis calidus</i>	11	11	6,5	6,5	8,6	10,2	10,2
856	<i>Paraliparis copei</i>	26	25	4,2	4,2	9,4	13,0	13,0
444	<i>Phycis chesteri</i>	788	545	14,1	17,0	25,5	36,7	39,0
443	<i>Pollachius virens</i>	3	3	33,8	33,8	56,1	64,8	64,8
895	<i>Pseudopleuronectes americanus</i>	1	1	17,2	17,2	17,2	17,2	17,2
94	<i>Rajella fyllae</i>	5	5	17,7	17,7	30,6	44,2	44,2
892	<i>Reinhardtius hippoglossoides</i>	5236	2472	3,5	13,1	30,4	53,7	77,5
572	<i>Scomber scombrus</i>	125	57	4,2	4,5	14,0	31,3	32,1
796	<i>Sebastes fasciatus</i>	7938	3888	0,0	6,9	19,1	39,5	48,3
794	<i>Sebastes mentella</i>	15477	6689	0,0	7,0	21,2	40,9	48,2
793	<i>Sebastes norvegicus</i>	30	30	17,4	17,4	25,1	47,3	47,3
24	<i>Squalus acanthias</i>	3	3	77,0	77,0	77,5	87,0	87,0
710	<i>Stichaeus punctatus</i>	1	1	11,6	11,6	11,6	11,6	11,6
814	<i>Triglops murrayi</i>	811	285	6,8	7,2	11,4	15,5	17,9
815	<i>Triglops nybelini</i>	1	1	8,1	8,1	8,1	8,1	8,1
447	<i>Urophycis tenuis</i>	436	436	18,8	24,3	37,3	63,5	67,1
725	Zoarcidae	2	2	11,4	11,4	13,5	15,5	15,5
728	<i>Lycodes lavalaei</i>	108	62	9,6	10,1	19,2	56,9	63,5

Invertébrés

Code STRAP	Nom scientifique	Nombre mesuré		Longueur (cm)				
		Longueur	Poids	Min	P1*	Médiane	P99*	Max
2218	<i>Anthoptilum grandiflorum</i>	491	292	4,7	14,9	44,8	67,3	67,3
8138	<i>Argis dentata</i>	556	0	0,7	0,8	1,6	2,2	2,5
8113	<i>Atlantopandalus propinquus</i>	96	0	1,2	1,2	1,7	2,5	2,5
8206	<i>Cancer irroratus</i>	2	1	7,8	7,8	9,1	10,4	10,4
8213	<i>Chionoecetes opilio</i>	705	349	0,7	0,8	3,4	12,2	13,3
8075	<i>Eualus fabricii</i>	169	0	0,4	0,5	0,8	1,1	1,2
8080	<i>Eualus gaimardii</i>	19	0	0,6	0,6	0,9	1,0	1,0
8077	<i>Eualus macilentus</i>	291	0	0,6	0,7	0,9	1,3	1,4
8074	<i>Eualus sp.</i>	11	0	0,7	0,7	0,9	1,1	1,1
8033	<i>Eusergestes arcticus</i>	48	0	1,3	1,3	1,6	2,1	2,1
2217	<i>Halipteris finmarchica</i>	53	29	8,8	8,8	70,0	141,5	141,5
8217	<i>Hyas araneus</i>	128	72	0,6	0,6	1,4	7,4	7,7
8218	<i>Hyas coarctatus</i>	437	211	0,5	0,6	1,6	5,9	7,5
8028	<i>Hymenopenaeus debilis</i>	1	0	1,7	1,7	1,7	1,7	1,7
4753	<i>Illex illecebrosus</i>	928	688	5,5	13,0	19,6	23,6	24,4
8092	<i>Lebbeus groenlandicus</i>	93	0	0,7	0,7	1,4	1,9	1,9
8095	<i>Lebbeus microceros</i>	2	0	1,0	1,0	1,1	1,2	1,2

Code STRAP	Nom scientifique	Nombre mesuré		Longueur (cm)				
		Longueur	Poids	Min	P1*	Médiane	P99*	Max
8093	<i>Lebbeus polaris</i>	279	0	0,6	0,7	1,0	1,4	1,4
8196	<i>Lithodes maja</i>	117	100	1,3	1,4	8,6	11,8	12,0
8111	<i>Pandalus borealis</i>	13156	713	0,8	1,1	2,1	2,7	3,0
8112	<i>Pandalus montagui</i>	2333	0	0,7	0,8	1,4	2,1	2,4
8057	<i>Pasiphaea multidentata</i>	2190	0	1,1	1,5	2,5	3,0	3,3
2203	<i>Pennatula aculeata</i>	675	503	0,1	3,6	10,9	26,0	30,3
2210	<i>Pennatula grandis</i>	244	184	10,9	14,2	33,3	58,1	67,1
8135	<i>Pontophilus norvegicus</i>	1081	0	0,7	0,8	1,3	1,6	1,7
8129	<i>Sabinea sarsii</i>	132	0	0,7	0,8	1,2	1,5	1,6
8128	<i>Sabinea septemcarinata</i>	300	0	0,5	0,7	1,3	1,6	1,7
8119	<i>Sclerocrangon boreas</i>	542	0	0,8	1,0	1,7	3,2	3,5
8087	<i>Spirontocaris liljeborgii</i>	111	0	0,5	0,5	1,1	1,4	1,4
8086	<i>Spirontocaris phippisii</i>	2	0	0,6	0,6	0,6	0,6	0,6
8084	<i>Spirontocaris</i> sp.	4	0	0,6	0,6	0,7	0,8	0,8
8085	<i>Spirontocaris spinus</i>	126	0	0,5	0,6	1,0	1,6	1,7

* P1 : 1^{er} centile P99 : 99^e centile